



Corso Luigi Einaudi, 55/B - Torino

Appunti universitari

Tesi di laurea

Cartoleria e cancelleria

Stampa file e fotocopie

Print on demand

Rilegature

NUMERO: 2134A-

ANNO: 2017

APPUNTI

STUDENTE: Uffreduzzi Francesco

MATERIA: Macchine e Propulsione - Prof. Casalino e Pastrone

Il presente lavoro nasce dall'impegno dell'autore ed è distribuito in accordo con il Centro Appunti. Tutti i diritti sono riservati. È vietata qualsiasi riproduzione, copia totale o parziale, dei contenuti inseriti nel presente volume, ivi inclusa la memorizzazione, rielaborazione, diffusione o distribuzione dei contenuti stessi mediante qualunque supporto magnetico o cartaceo, piattaforma tecnologica o rete telematica, senza previa autorizzazione scritta dell'autore.

ATTENZIONE: QUESTI APPUNTI SONO FATTI DA STUDENTI E NON SONO STATI VISIONATI DAL DOCENTE.
IL NOME DEL PROFESSORE, SERVE SOLO PER IDENTIFICARE IL CORSO.

Considerando l'unità di misura:

$$Q_e + L_e = \Delta E \rightarrow \text{grandezze mistiche}$$

L'energia E (per unità di massa) è la capacità di compiere lavoro

$$E = U + E_c + E_g + E_{cf} \rightarrow$$

↓
 en. interne
 legate al moto di
 agitazione termica
 di atomi e molecole

en. cinetica
 legate al moto
 medio del sistema
 a cui si sovrappone il
 moto caotico delle particelle

en. gravitazionale
 legate alle forze centrifughe

Analizziamo i vari termini:

$$E_c = \frac{1}{2} e^2 \rightarrow \text{velocità fluido}$$

$$\Delta E_g = g (z_f - z_i)$$

$$\Delta E_{cf} = - \int_{r_i}^{r_f} \omega^2 r \cdot dr = \frac{\omega^2}{2} (r_i^2 - r_f^2)$$

svolviamo se ne:

$$\omega \quad r \quad \Rightarrow \quad \Delta E_{cf} = \frac{u_i^2 - u_f^2}{2} \quad \left. \begin{array}{l} \text{somiglianza tra le} \\ \text{due forme} \end{array} \right\}$$

$$\Delta E_c = \frac{e_f^2 - e_i^2}{2}$$

Consideriamo, per ipotesi, una trasformazione ISOBRA, $dh = 0$ più cui siamo sulle tutte le forme di energia ad eccezione di quelle interne. Allora:

$$dU = dQ_e$$

$$\text{Definiamo calore specifico a } v = \text{cost:} \quad C_v = \frac{dQ_e}{dT} \Rightarrow dU = C_v dT$$

Analizziamo il lavoro di SPOSTAMENTO, che rappresenta il lavoro fatto dal fluido per spingere altro fluido nel volume V :

$$\text{d}L_s = \underbrace{p_1 dV_1 - p_2 dV_2}_{p_1 A_1 dx_1} = p_1 N_1 dm_1 - p_2 N_2 dm_2 = p_1 N_1 \dot{m} dt - p_2 N_2 \dot{m} dt$$

volume specifico

Per quanto riguarda l'energia:

$$\mathcal{E}_i = \mathcal{E}_{V_i} + \mathcal{E}_1 dm_1 \quad \text{eu. per unità di massa x massa che entra}$$

$$\mathcal{E}_f = \mathcal{E}_{V_f} + \mathcal{E}_2 dm_2 \quad \text{eu. per unità di massa x massa che esce}$$

Ossiamo risolvere:

$$\mathcal{E}_i = \mathcal{E}_{V_i} + E_1 \dot{m} dt$$

$$\mathcal{E}_f = \mathcal{E}_{V_f} + E_2 \dot{m} dt$$

ATTENZIONE!
È stata fatta l'ipotesi di
MOTO STAZIONARIO!

Se $p = \text{cost} \Rightarrow$ la massa che entra è uguale a quella che esce

$$\Rightarrow dm_1 = dm_2 = \dot{m} dt$$

Sostituendo nel 1° principio scritto prima, otteniamo:

$$\dot{Q}_e dt + p_i dt + p_1 N_1 \dot{m} dt - p_2 N_2 \dot{m} dt = -\mathcal{E}_{V_i} - E_1 \dot{m} dt + \mathcal{E}_{V_f} + E_2 \dot{m} dt$$

$\downarrow \quad \downarrow$

$$\mathcal{E}_{V_i} \dot{m} dt \quad \mathcal{E}_{V_f} \dot{m} dt$$

Allora:

$$\dot{Q}_e + p_i = \dot{m} (\mathcal{E}_{V_f} - \mathcal{E}_{V_i}) + \dot{m} (p_2 N_2 - p_1 N_1) + \dot{m} (E_2 - E_1)$$

$$\dot{Q}_e + p_i = \dot{m} \Delta (u + E_{c,g,cf}) + \dot{m} \Delta (p v) \quad \begin{array}{l} \text{lavoro di spostamento} \\ \text{reperito del lavoro intorno} \\ \text{perché il lavoro fatto del fluido} \\ \text{nell'altro fluido non ci interessa} \end{array}$$

Al questo punto, definiamo

ENTALPIA la quantità $i = u + p v$,
ovvero:

$$\dot{Q}_e + p_i = \dot{m} (\Delta i + \Delta E_{c,g,cf})$$

forma
euleriana

interno del sistema (L_w) ed è causa di irreversibilità. 6

Perché?

$$dS \geq \frac{dQ_e}{T} \rightarrow \boxed{TdS \geq dQ_e}$$

FORMULE MISTE

Le formule miste associano il 1° e il 2° principio e si ottengono attraverso vari passaggi:

1) SCRIVIAMO IL 2° PRINCIPIO COME UGUALANZA

$$\boxed{TdS = dQ_e + dL_w}$$

Da cui deriva che:

- Se il lavoro dissipato per attrito fluidodinamico è nullo, il prodotto delle temperature per l'aumento di entropia è pari al calore ricevuto dall'esterno \rightarrow TRASFORMAZIONE REVERSIBILE
- Se la trasformazione è ADIABATICA
 - \hookrightarrow REVERSIBILE $\Rightarrow dS = 0$, trasformazione ISENTROPICA
 - \hookrightarrow IRREVERSIBILE $\Rightarrow dS > 0$, perdite per attrito fluidodinamico
- L'ENTROPIA può rimanere costante o diminuire per una trasf. IRREVERSIBILE solo se è presente sottrazione di calore dall'esterno. ($dQ < 0$)

Si prendono così il 1° principio nelle due forme:

$$\exists) dQ_e + dL_e = dU + dE_{gcf}$$

$$\exists) dQ_e + dL_i = di + dE_{gcf}$$

$$\textcircled{2} \quad p v^m = p_1 v_1^m$$

$$v = v_1 \left(\frac{p_1}{p} \right)^{1/m}$$

$$\Rightarrow \int_1^2 v dp = v_1 p_1^{1/m} \int_1^2 \frac{dp}{p^{1/m}} = v_1 p_1^{1/m} \left[\frac{p^{-1/m+1}}{1 - \frac{1}{m}} \right]_1^2 = \frac{m}{m-1} v_1 p_1^{1/m} \left(p \frac{m-1}{m} \right)_1^2 =$$

$$= \frac{m}{m-1} v_1 p_1^{1/m} \left(p_2^{\frac{m-1}{m}} - p_1^{\frac{m-1}{m}} \right) = \frac{m}{m-1} \textcircled{v_1 p_1} \left[\left(\frac{p_2}{p_1} \right)^{\frac{m-1}{m}} - 1 \right] =$$

$$= \frac{m}{m-1} R T_1 \left[\left(\frac{p_2}{p_1} \right)^{\frac{m-1}{m}} - 1 \right]$$

TRASFORMAZIONI ISENTROPICHE ($s = \text{cost}$)

dal secondo principio, per un gas ideale:

$$TdS = dQ_e + d\Delta W$$

$$dQ_e = TdS - d\Delta W = dU + pdV - d\Delta W = di - vdp - d\Delta W$$

ma

$$\left. \begin{array}{l} d\Delta W = 0 \rightarrow \text{REVERSIBILE} \\ dQ_e = 0 \rightarrow \text{ADIABATICA} \end{array} \right\} \rightarrow di - vdp = 0 \rightarrow \boxed{c_p dT - vdp = 0}$$

dell'equazione dei gas perfetti:

$$p v = R^* T \rightarrow v = R^* \frac{T}{p}$$

sostituendo nella relazione precedente:

$$c_p dT - R^* T \frac{dp}{p} = 0 \rightarrow \frac{dT}{T} - \frac{R^*}{c_p} \frac{dp}{p} = 0$$

allora:

$$\ln \frac{T_2}{T_1} - \frac{R^*}{c_p} \frac{p_2}{p_1} = 0 \rightarrow \frac{T_2}{T_1} = \left(\frac{p_2}{p_1} \right)^{R^*/c_p} = \left(\frac{p_2}{p_1} \right)^{\gamma-1} \text{ poiché} \left\{ \begin{array}{l} \gamma = \frac{c_p}{c_v} \\ R = c_p - c_v \end{array} \right.$$

perciò:

$$\boxed{\frac{T_2}{T_1} = \left(\frac{p_2}{p_1} \right)^{\gamma-1}}$$

$$\boxed{p_1 v_1^\gamma = p_2 v_2^\gamma}$$

$$\boxed{\frac{T_2}{T_1} = \left(\frac{v_1}{v_2} \right)^{\gamma-1}}$$

1° MODO

$$\bullet L_{c,IS} = c_p (T_{2,IS} - T_1)$$

$$\bullet \frac{T_{2,IS}}{T_1} = \left(\frac{p_2}{p_1} \right)^{\frac{\gamma-1}{\gamma}}$$

Definiamo:

$$\bullet \text{RAPPORTO DI COMPRESSIONE } \beta_c = \frac{p_2}{p_1}$$

$$\bullet \text{RENDRIMENTO ISENTROPICO } \eta_c = \frac{L_{c,IS}}{L_c}$$

allora:

$$L_c = \frac{1}{\eta_c} L_{c,IS} = \frac{1}{\eta_c} c_p T_1 \left[\beta_c^{\frac{\gamma-1}{\gamma}} - 1 \right]$$

$$T_2 = T_1 + \frac{L_c}{c_p}$$

2° MODO

Assumiamo che la trasformazione sia POLITROPICA: $p v^m = \text{cost}$

Allora:

$$\frac{T_2}{T_1} = \left(\frac{p_2}{p_1} \right)^{\frac{m-1}{m}}, \text{ con } m \text{ opportuno valore della politropica } (m > \gamma)$$

Quindi:

$$L_c = c_p (T_2 - T_1) = c_p T_1 \left(\beta_c^{\frac{m-1}{m}} - 1 \right)$$

3° MODO

Definiamo RENDRIMENTO POLITROPICO O IDRAULICO: $\eta_{ye} = \frac{L_c - L_w}{L_c}$
 coincide con il rendimento isentropico se il fluido è incompressibile. Poiché $L_c - L_w > L_{IS} \Rightarrow \eta_{ye} > \eta_c$

Il lavoro di controrecupero evidenzia che, nel caso reale, il lavoro speso per comprimere il fluido delle condizioni 1 alle condizioni 2, è maggiore rispetto alle riserve tra lavoro ideale e lavoro perso per attrito. La quota di lavoro che occorre fornire serve a compensare il fatto che, mentre si comprime, il fluido si riscalda di più rispetto al caso ideale, diletandosi.

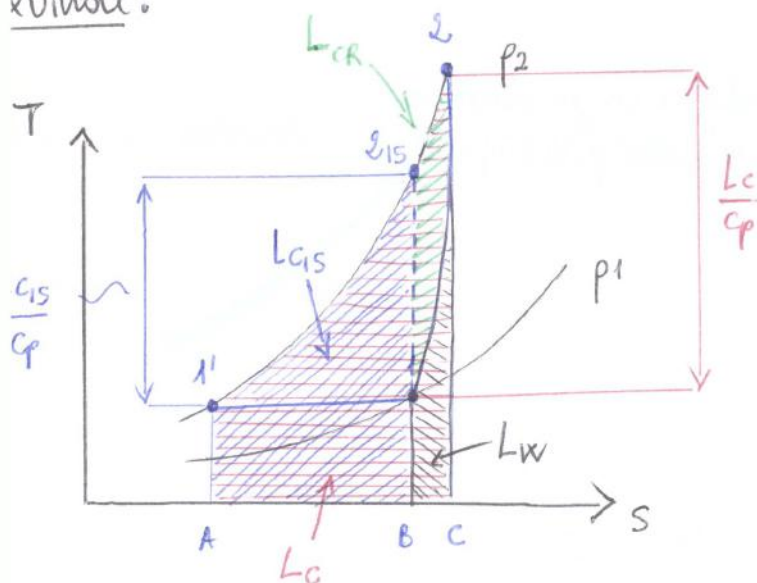
Come otteniamo ΔQ :

$$L_{C,15} = c_p (T_{2,15} - T_1)$$

Poiché in generale $c_p \Delta T = \Delta Q_{p=const}$

$$\text{con } \Delta Q = \int T dS \quad (\text{e } L_w = 0)$$

il lavoro $L_{C,15}$ è uguale al calore che dovrà fornire a un fluido a variazione costante, che per le temp. T_1 e quelle $T_{2,15}$ risulta:



$$L_{C,15} = c_p (T_{2,15} - T_1) = A_{A1'2,15B}$$

$$L_c = c_p (T_2 - T_1) = A_{A1'2c}$$

Dal secondo principio:

$$\int dS = \cancel{dQ} + dQ_w \rightarrow L_w = \int_1^2 T dS = A_{B1'2c}$$

Illova:

$$L_t = \eta_t L_{t,IS} = \eta_t c_p T_3 \left(1 - \frac{1}{\beta_t^{\frac{m-1}{m}}} \right)$$

$$T_4 = T_3 - \frac{L_t}{c_p}$$

1° MODOSupponiamo che la trasformazione sia POLITROPICA: $p v^m = \text{cost}$

$$\frac{T_4}{T_3} = \left(\frac{p_4}{p_3} \right)^{\frac{m-1}{m}}$$

Quindi:

$$L_t = c_p (T_3 - T_4) = c_p T_3 \left(1 - \frac{1}{\beta_t^{\frac{m-1}{m}}} \right)$$

2° MODODefiniamo il RENDIMENTO POLITROPICO: $\eta_{yt} = \frac{L_t}{L_t + L_w}$ Dalle forme miste euleriane:

$$L_t = -L_i = - \int v dp - L_w$$

$$L_t + L_w = - \int_3^4 v dp = \int_4^3 v dp = \frac{m}{m-1} R T_3 \left(1 - \frac{1}{\beta_t^{\frac{m-1}{m}}} \right)$$

$$L_t = c_p (T_3 - T_4) = \frac{1}{\gamma-1} R T_3 \left(1 - \frac{1}{\beta_t^{\frac{m-1}{m}}} \right)$$

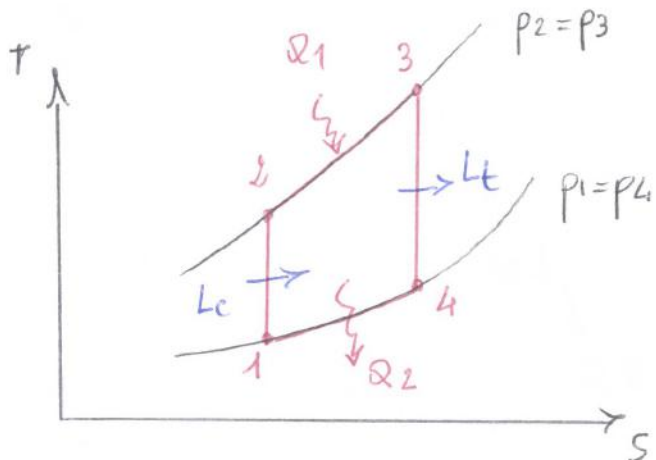
Illova:

$$\eta_{yt} = \frac{\frac{1}{\gamma-1} R T_3 \left(1 - \frac{1}{\beta_t^{\frac{m-1}{m}}} \right)}{\frac{m}{m-1} R T_3 \left(1 - \frac{1}{\beta_t^{\frac{m-1}{m}}} \right)} = \frac{\frac{1}{\gamma-1}}{\frac{m}{m-1}} \Rightarrow \frac{m-1}{m} = \frac{\gamma-1}{\gamma} \eta_{yt}$$

CICLO JOULE-BRAYTON IDEALE

16

- 2 ISENTROPICHE $L_i \neq 0, Q_e = L_w = 0$
- 2 ISOBARE $L_i = 0, L_w = 0, Q_e \neq 0$



Applichiamo il 1° principio in forma euleriana a ogni pezzo del velo:

$$Q_e + L_i = \Delta i = c_p \Delta T \quad (\Delta E_{cycf} = 0)$$

, 1 \rightarrow 2

$$L_c = c_p (T_2 - T_1)$$

, 2 \rightarrow 3

$$Q_1 = c_p (T_3 - T_2)$$

, 3 \rightarrow 4

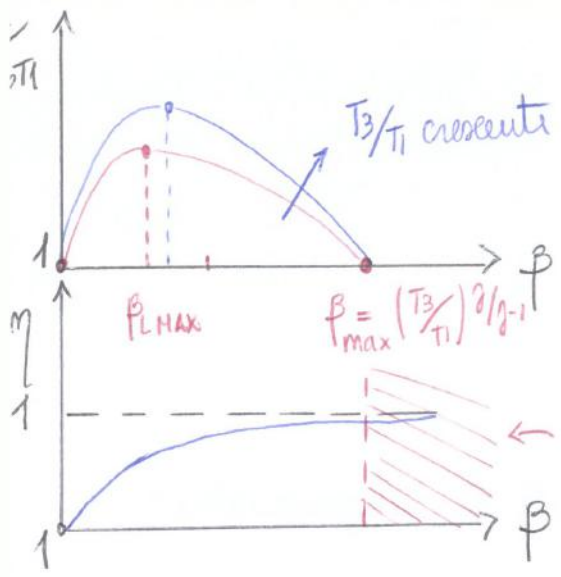
$$L_t = c_p (T_3 - T_4)$$

, 4 \rightarrow 1

$$Q_2 = c_p (T_1 - T_4)$$

Applichiamo il 1° principio all'intero velo:

$$Q_1 - Q_2 + L_c - L_t = 0 \Rightarrow Q_1 - Q_2 = L_c - L_t$$



Il crescere di T_3/T_1 , il massimo del grafico si sposta verso destra.

Scioliamo il rendimento:

$$\eta = \frac{L}{Q_1} = \frac{Q_1 - Q_2}{Q_1} = 1 - \frac{Q_2}{Q_1} = 1 - \frac{T_4 - T_1}{T_3 - T_2} =$$

$$= 1 - \frac{T_1}{T_2} \left(\frac{\frac{T_4}{T_1} - 1}{\frac{T_3}{T_2} - 1} \right)$$

1

Quindi:

$$\eta = 1 - \frac{T_1}{T_2} = 1 - \frac{1}{\beta^{\frac{1}{\gamma-1}}}$$

- Per $\beta = 1 \rightarrow \frac{L}{c_p T_1} = 0$ 18
 - Per $\beta = \left(\frac{T_3}{T_1}\right)^{\frac{1}{\gamma-1}} \rightarrow \frac{L}{c_p T_1} = 0$
 - Il massimo di β si ottiene risolvendo $\frac{d\eta}{d\beta} = 0$
- Il valore di β per cui si ottiene il valore di lavoro massimo è generalmente spostato verso rapporti di cui premio relativamente bassi.

le parentesi vale 1 perché:

$$\begin{cases} S_1 = S_2 \\ S_3 = S_4 \end{cases} \rightarrow \begin{cases} S_3 - S_2 = ? \\ S_4 - S_1 = ? \end{cases}$$

$$TdS = c_p dT - v dp \rightarrow \Delta S = \int_0 \frac{c_p dT}{T} = c_p \ln \frac{T_4}{T_1}$$

Allora:

$$\begin{aligned} S_3 - S_2 &= c_p \ln \frac{T_3}{T_2} \\ S_4 - S_1 &= c_p \ln \frac{T_4}{T_1} \end{aligned} \Rightarrow \Rightarrow \frac{T_3}{T_2} = \frac{T_4}{T_1}$$

CICLO JOULE - BRAYTON REALE

- 2 ADIABATICHE $L_i \neq 0, L_w \neq 0, Q_e = 0$
- 2 ISOBARE $Q_e \neq 0, L_i = 0, (L_w = 0)$

In questo caso, a differenza del caso ideale, non è possibile visualizzare lavori come aree.

Allora:

$$\frac{L}{c_p T_1} = \eta_t \frac{T_3}{T_1} \left(1 - \frac{1}{\beta^{\frac{2}{\gamma}-1}}\right) - \frac{1}{\eta_e} \left(\beta^{\frac{2}{\gamma}-1} - 1\right)$$

l'unica differenza con il caso ideale è la presenza di η_t e η_e

o anche $\eta = \frac{L}{Q_1}$, scriviamo Q_1 in forma polimorfonale:

$$\frac{Q_1}{c_p T_1} = \frac{T_3 - T_2}{T_1}$$

come nel caso precedente:

$$L_e = \frac{1}{\eta_e} L_{c,1s} = \frac{1}{\eta_e} c_p (T_{2,1s} - T_1) = \frac{1}{\eta_e} c_p T_1 \left(\beta^{\frac{2}{\gamma}-1} - 1\right)$$

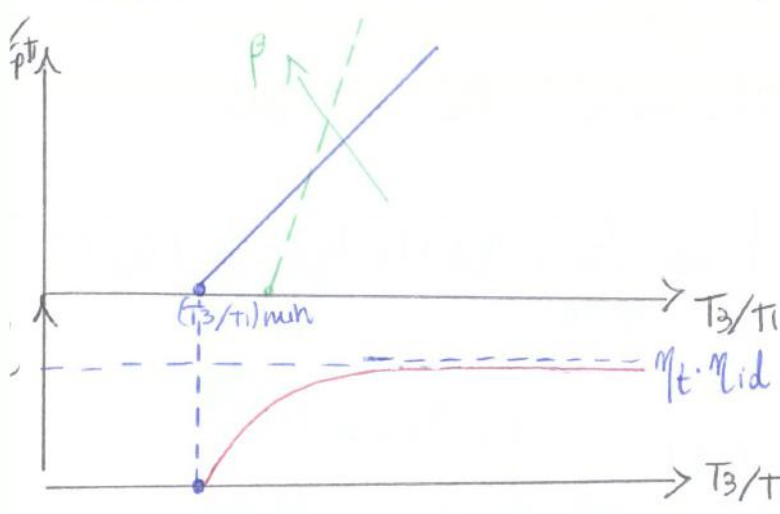
$$T_2 = T_1 + \frac{L_e}{c_p} = T_1 + \frac{1}{\eta_e} T_1 \left(\beta^{\frac{2}{\gamma}-1} - 1\right) = T_1 \left[1 + \frac{1}{\eta_e} \left(\beta^{\frac{2}{\gamma}-1} - 1\right)\right]$$

Allora:

$$\frac{Q_1}{c_p T_1} = \frac{T_3 - T_1 \left[1 + \frac{1}{\eta_e} \left(\beta^{\frac{2}{\gamma}-1} - 1\right)\right]}{T_1} = \frac{T_3}{T_1} - \left[1 + \frac{1}{\eta_e} \left(\beta^{\frac{2}{\gamma}-1} - 1\right)\right]$$

Per esempio:

$$\eta = \frac{L}{Q_1} = \frac{\eta_t \frac{T_3}{T_1} \left(1 - \frac{1}{\beta^{\frac{2}{\gamma}-1}}\right) - \frac{1}{\eta_e} \left(\beta^{\frac{2}{\gamma}-1} - 1\right)}{\frac{T_3}{T_1} - \left[1 + \frac{1}{\eta_e} \left(\beta^{\frac{2}{\gamma}-1} - 1\right)\right]}$$



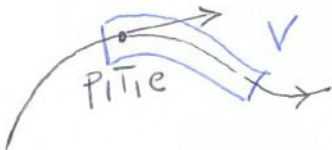
$\frac{L}{c_p T_1} = 0 \rightarrow \left(\frac{T_3}{T_1}\right)_{\min} = \frac{1}{\eta_e \eta_t} \beta^{\frac{2}{\gamma}-1}$
 valore di $(T_3/T_1)_{\min}$ maggiore rispetto al caso ideale
 al crescere di β , cresce $(T_3/T_1)_{\min}$ e il coefficiente.

- se $T_3/T_1 = (T_3/T_1)_{\min} \Rightarrow L = 0 \Rightarrow \eta = 0 (\alpha \neq 0!)$
- se $T_3/T_1 \rightarrow \infty \Rightarrow \eta \rightarrow \eta_{\text{ideale}}$

GRANDEZZE TOTALI (di arresto)

Immaginiamo di prendere in esame una corrente fluida adottando i punti di vista euleriano, definendo quindi un volume di controllo:

Dal 1° principio si forse euleriano:



$$Q_e + L_i = \Delta i + \Delta E_c$$

Supponiamo che:

$$\left. \begin{array}{l} \text{• FLUSSO ADIABATICO} \rightarrow Q_e = 0 \\ \text{• NO ORGANI MOBILI} \rightarrow L_i = 0 \end{array} \right\} \rightarrow \Delta \left(i + \frac{c^2}{2} \right) = 0$$

Definiamo $i^o = i + \frac{c^2}{2}$ ENTALPIA TOTALE.
 entalpia totale

Supponiamo, mantenendo le ipotesi precedenti, che un fluido passi dello stato ① i_1, c_1 allo stato ② $i_2, c_2 = 0$.

$$\text{Poiché } \Delta i^o = 0 \Rightarrow i_1 + \frac{c_1^2}{2} = i^o = i_2$$

Possiamo allora definire ENTALPIA TOTALE quella che il fluido raggiungerebbe se fosse portato ISENTROPICAMENTE ($Q_e = 0$), con $L_i = 0$.

In realtà in questo caso, non occorre necessariamente una trasf. ISENTROPICA, basta ricordando che, per un gas ideale ($c_p = \text{cost}$),

$$i = c_p T$$

Possiamo in maniera analoga far corrispondere a un'entalpia totale una TEMPERATURA TOTALE T^o .

$$i^o = c_p T^o$$

Supponendo $Q_e = L_i = 0 \Rightarrow \Delta i^o = 0$ e quindi $\Delta T^o = 0$

Riprendendo l'esempio precedente:

$$\begin{aligned} i^o &= i_1 + \frac{c_1^2}{2} = c_p T + \frac{c_1^2}{2} \\ \text{e} & \Rightarrow T^o = T + \frac{c_1^2}{2 c_p} \end{aligned}$$

LAVORO CON VARIAZIONE DI ENERGIA CINETICA

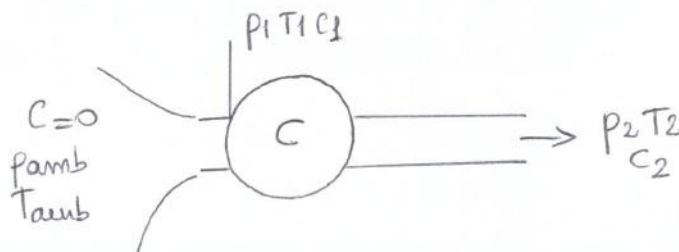
Consideriamo:

- FLUSSO STAZIONARIO
- ADIABATICO REVERSIBILE (isentrópico)
- GAS PERFETTO (trascuriamo ΔE_g)
- RIFERIMENTO FISSO $\rightarrow \Delta E_{ref} = 0$

Il 1° principio mi fornisce allora che sarà:

$$L_i = \Delta i + \Delta E_c = \Delta i^0 = c_p \Delta T^0$$

Consideriamo allora un compressore:



① Generalmente un compressore aspira aria da un ambiente in cui:

$$\begin{cases} C = 0 \\ P = P_{amb} \\ T = T_{amb} \end{cases}$$

Poiché il condotto può considerarsi poliabiotico e $L_i = 0$, $L_w = 0$

$$\Rightarrow \Delta i + \Delta E_c = \Delta i^0 = 0 \rightarrow \begin{cases} i_{amb} = i_1 + \frac{1}{2} c_1^2 = i_1^0 \\ T_{amb} = \textcircled{T}_1^0 = T_1 + \frac{c_1^2}{2 c_p} = T_1 \left(1 + \frac{c_1^2}{2} M^2 \right) \\ P_{amb} = \textcircled{P}_1^0 = p_1 \left(1 + \frac{c_1^2}{2} M^2 \right)^{\frac{1}{\gamma-1}} \end{cases}$$

Possiamo notare che all'ingresso del compressore, le grandezze totali T_1^0 , p_1^0 sono uguali alle grandezze statiche dell'ambiente da cui il flusso viene preso.

Un ingresso non necessita conoscere le grandezze statiche, è più facile conoscere quelle totali

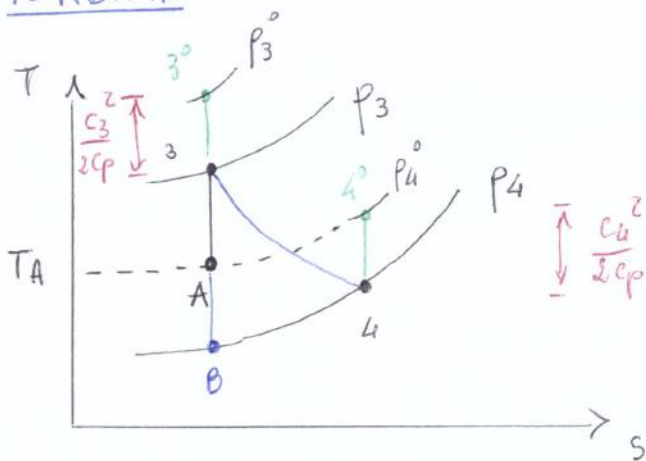
Definiamo infine η_{te} tale per cui:

$$\frac{T_2^o}{T_1^o} = \left(\frac{p_2^o}{p_1^o} \right)^{\frac{1}{\gamma - 1}} = \beta_e^{\frac{1}{\gamma - 1} \eta_{te}}$$

Quindi:

$$L_t = c_p (T_2^o - T_1^o) = c_p T_1^o \left(\beta_e^{\frac{1}{\gamma - 1} \eta_{te}} - 1 \right)$$

TURBINA



$$L_t = -L_i = c_p (T_3^o - T_4^o) \quad \left(= c_p (T_3 - T_4) + \frac{c_3^2 - c_4^2}{2} \right)$$

A differenza del compressore, in questo caso poniamo avere 2 appross:

- 1) TOTAL TO TOTAL \rightarrow se le turbine è collegate ad altro
- 2) TOTAL TO STATIC \rightarrow se turbine a scorrere libero

I) TOTAL TO TOTAL

Definiamo lavoro di turbina IDEALE, quello che si ottiene espendendo dal punto 3° alla pressione p_3^o al punto A, alla pressione p_4^o

$$L_{t,1s} = c_p (T_3^o - T_A) \quad \eta_t = \frac{L_t}{L_{t,1s}}$$

$$\beta_t = \frac{p_3^o}{p_4^o}$$

$$\eta_{t,1s} \text{ tale che: } \left(\frac{T_4^o}{T_3^o} \right) = \left(\frac{p_4^o}{p_3^o} \right)^{\frac{1}{\gamma - 1} \eta_t}$$

PORTATA IN MASSA

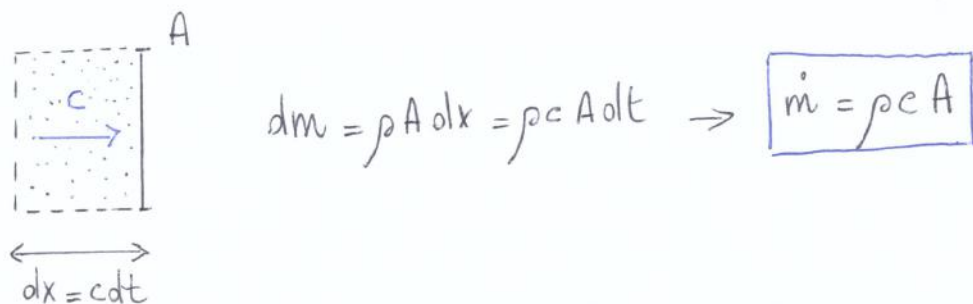
La portata è la quantità di massa che attraversa una data sezione nell'unità di tempo.

$$\dot{m} = \frac{dm}{dt}$$

Nel nostro studio considereremo:

- MOTO UNIDIMENSIONALE \rightarrow grandezze uniformi su A
- $c \perp A$

come sappiamo, un'espressione comune delle portata è:



$$dm = \rho A dx = \rho c A dt \rightarrow \dot{m} = \rho c A$$

cerchiamo un'espressione che ci permette di scrivere le portate in funzione di parametri più facilmente conoscibili.

Sfruttiamo le grandezze totali, riscrivendo in un altro modo densità ρ e velocità c .

1^o FORMULA: portata in funzione delle pressioni

Densità

Per definizione di ρ^* , vale la legge dell'isentropie:

$$\frac{p}{p^*} = \frac{\rho^*}{\rho} \rightarrow \rho^* = \rho^* \left(\frac{p}{p^*} \right)^{\frac{1}{\gamma}} \rightarrow \frac{1}{\rho^*} = \frac{1}{\rho^*} \left(\frac{p}{p^*} \right)^{\frac{1}{\gamma}}$$

Velocità

Sfruttiamo il 1^o principio in forma mista e la definizione di pressione totale p^* :

$$p, c \rightarrow p^*, e=0, \text{ con } L_i = Q_e = L_w = 0 \text{ per definizione}$$

2^a FORMULA → portata in funzione del numero di Mach

Le formule vale per GAS PERFETTI e IDEALI

$$\dot{m} = \rho c A$$

densità

Della legge dei gas perfetti:

$$\frac{P}{P^*} = R^* T \rightarrow \rho = \frac{P}{R^* T}, \text{ con} \quad \begin{cases} P = \frac{P^*}{(1 + \frac{\gamma-1}{2} M^2)^{\gamma/(\gamma-1)}} \\ T = \frac{T^*}{(1 + \frac{\gamma-1}{2} M^2)} \end{cases}$$

Perciò:

$$\boxed{\rho = \frac{P^*}{R^* (1 + \frac{\gamma-1}{2} M^2)^{\gamma/(\gamma-1)}} \cdot \frac{(1 + \frac{\gamma-1}{2} M^2)}{T^*} =}$$

$$= \frac{P^*}{R^* T^*} \cdot \frac{1}{(1 + \frac{\gamma-1}{2} M^2)^{\gamma-1}}$$

Velocità

$$M = \frac{c}{c_s} \rightarrow c = M c_s = M \sqrt{\gamma R^* T^*} = M \sqrt{\gamma R^* \frac{T_0}{(1 + \frac{\gamma-1}{2} M^2)}}$$

Perciò:

$$\boxed{c = M \sqrt{\gamma R^* \frac{T_0}{(1 + \frac{\gamma-1}{2} M^2)}}}$$

oss: vi propulsione, dal 1° principio:

$$\dot{m} e + \dot{E}_i = \dot{m} i^* \rightarrow c_p T^* = c_p T + \frac{c^2}{2}$$

$$\rightarrow c = \sqrt{2 c_p T^* \left(1 - \frac{1}{T}\right)}$$

Sostituendo nelle formule delle portate:

$$\dot{m} = \rho c A$$

$$\dot{m} = \frac{A P^*}{R^* T^*} \cdot \frac{M}{(1 + \frac{\gamma-1}{2} M^2)^{\gamma/(\gamma-1)}} \cdot \sqrt{\frac{R^* T_0}{(1 + \frac{\gamma-1}{2} M^2)}} = \frac{A P^*}{\sqrt{R^* T^*}} \cdot \frac{\sqrt{\gamma} M}{(1 + \frac{\gamma-1}{2} M^2)^{\frac{\gamma+1}{2(\gamma-1)}}}$$

Quindi:

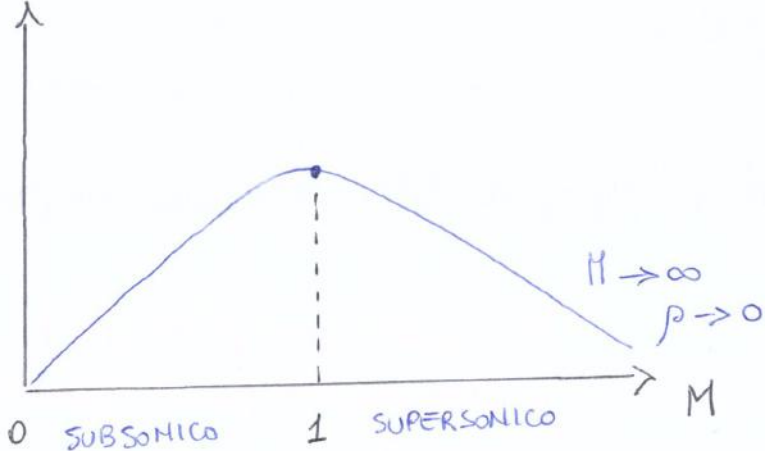
$$\boxed{\dot{m} = \frac{P^* A}{\sqrt{R^* T^*}} \cdot \frac{\sqrt{\gamma} M}{(1 + \frac{\gamma-1}{2} M^2)^{\frac{\gamma+1}{2(\gamma-1)}}}}$$

se si conservano le grandezze totali, la portata di una sezione dipende solo dal numero di Mach.

Poiché $P = \frac{P}{(1 + \frac{J-1}{2} M^2)^{\frac{J}{J-1}}}$ e $(\frac{P}{P_0})_{cr}$ si ha per $M=1$, tale valore sarà:

$$\left(\frac{P}{P_0}\right)_{cr} = \frac{1}{(1 + \frac{J-1}{2} \cdot 1^2)^{\frac{J}{J-1}}} = \left(\frac{2}{J+1}\right)^{\frac{J}{J-1}}$$

$$\frac{\dot{m} \sqrt{R^* T^0}}{P^0 A}$$



$$\frac{\dot{m} \sqrt{R^* T^0}}{P^0 A} = \frac{\sqrt{J^*} M}{(1 + \frac{J-1}{2} M^2)^{\frac{J+1}{2}(J-1)}}$$

- Per $M=0$, $c=0 \rightarrow$ portata nulla
- Per $M=1 \rightarrow$ portata massima
- Per $M \rightarrow \infty$, $c \rightarrow \infty \Rightarrow \frac{P}{P_0} \rightarrow 0$ e $P \rightarrow 0 \rightarrow$ la portata tende a 0

CONSIDERAZIONI

① Supponiamo che le grandezze totali si conservino lungo tutte le sezioni di un condotto:

$$\dot{m}_c = \frac{\dot{m} \sqrt{R^* T^0}}{A P^0} = \frac{\rho c \sqrt{R^* T^0}}{P^0} \propto \rho c \rightarrow \frac{\dot{m} \sqrt{R^* T^0}}{A P^0} \propto \rho c$$

Distinguiamo il caso subsonico da quello supersonico:

- CASO SUBSONICO

Decido di muovermi sul grafico $\dot{m}_c = f(P/P_0)$ da destra verso sinistra, per Mach che passa da 0 a 1.

Ricapitolando:

	<u>CONDOTTO CONVERGENTE</u>	<u>CONDOTTO DIVERGENTE</u>
	$dA < 0$	$dA > 0$
$M < 1$	$c \uparrow p \downarrow$	$c \downarrow p \uparrow$
$M > 1$	$c \downarrow p \uparrow$	$c \uparrow p \downarrow$

Stringendo un condotto, perciò, è possibile accelerare un flusso fino a $M=1$.

PORTATA NEI CONDOTTI

Definiamo condotto un tubo delimitato da pareti fisse o sezione variabile.

IPOTESI: $\left\{ \begin{array}{l} \text{- FLUSSO UNIDIMENSIONALE} \\ \text{- FLUSSO ADIABATICO } (Q_e = 0) \\ \text{- } L_w = 0 \end{array} \right.$

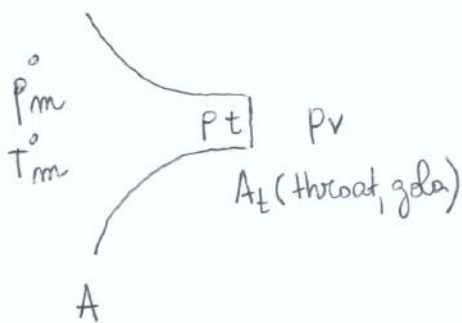
Sistinguiamo due tipi di condotti:

- UGELLI O EFFUSORI: condotto tale per cui $p \uparrow$ e $c \uparrow$
- DIFFUSORI: condotto nel quale $p \uparrow$ $c \downarrow$

Concentriamoci sugli ugelli.

UGELLO SEMPLICEMENTE CONVERGENTE

Presenta un'area che varia da infinito fino a raggiungere un valore minimo



- Consideriamo Note p_m^o, T_m^o
- Sia p_v la pressione di velle, nell'ambiente di servizio

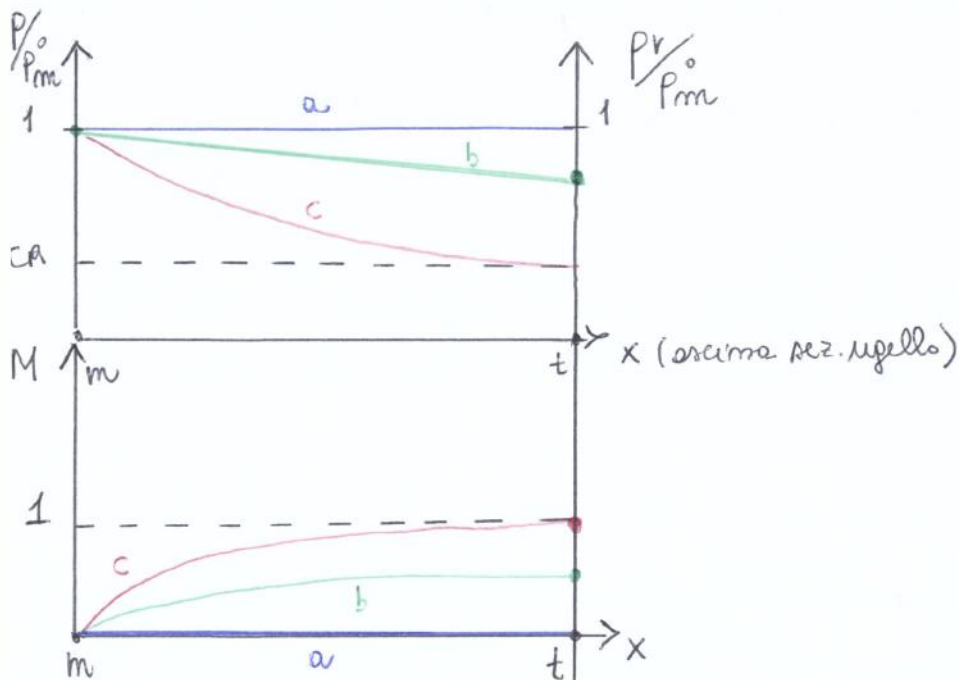
Calcoliamo le portate in che scorre nell'ugello.

③ Questa prima condizione è la più critica.

Im condizioni subsoniche, non possono esserci discontinuità di pressione, mentre tale ipotesi non vale più in campo supersonico.

Allora $P_t = P_v \rightarrow \text{SOLO IN CAMPO SUBSONICO}$

Per copiare allora se l'andamento delle portate è quello già studiato nelle pagine precedenti, procediamo attraverso valutazioni qualitative:



① Fissiamo come primo valore $P_v = P_m$. In questo caso, non c'è differenza di pressione ai copi dell'ugello, quindi:

$$m = 0, e = 0, M = 0.$$

② Supponiamo di ridurre le P_v in modo che $P_v < P_m$.

Le particelle fluido parte in $x=t$, sente davanti a sé una depressione e alle sue spalle una sovrappressione. Essa viene accelerata verso destra e il segnale di accelerazione, poiché essa gira dietro a sé un vuoto, risale verso monte con velocità sonica. Nota che le particelle si muovono con velocità $<$ di c_s , il segnale riesce a giungere a monte, determinando una variazione di portata per cui diventa $P_t = P_v$. A questo punto la portata si stabilizza.

③ Supponiamo di diminuire P_v finché $P_v = P_{cr}$. In questo caso, la corrente raggiunge $M = 1$, $P_t = P_v = P_{cr}$.

No questo caso non ci sono discontinuità di pressione.

(a) $P_t = P_V = P_{CR}$

$M_t = 1$

$$\dot{m} = \frac{\dot{P}_m^* A_t}{\sqrt{R^* T_m^*}} \cdot \frac{\sqrt{\gamma}}{(1 + \frac{\gamma-1}{2})^{\frac{\gamma+1}{2(\gamma-1)}}$$

(b) $P_t = P_V$

$\dot{P}_t^* = \dot{P}_m^*$

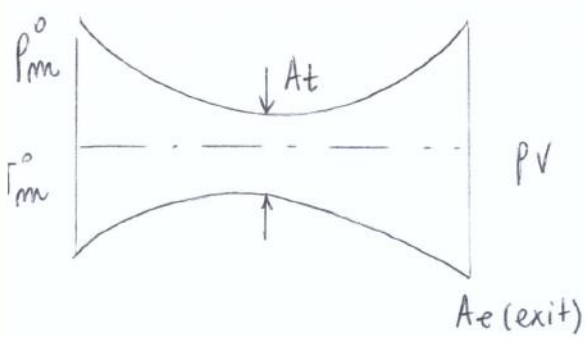
$$\dot{m} = \frac{\dot{P}_m^* A_t}{\sqrt{R^* T_m^*}} \sqrt{\frac{2\gamma}{\gamma-1} \left[\left(\frac{P_V}{P_m^*} \right)^{\frac{2}{\gamma}} - \left(\frac{P_V}{P_m^*} \right)^{\frac{\gamma+1}{\gamma}} \right]}$$

oppure:

$$\frac{P_V}{\dot{P}_t^*} = \frac{P_V}{\dot{P}_m^*} = \frac{1}{(1 + \frac{\gamma-1}{2} M_t^2)^{\frac{1}{2(\gamma-1)}}} \rightarrow \text{Ricaviamo } M_t$$

$$\dot{m} = \frac{\dot{P}_m^* A_t}{\sqrt{R^* T_m^*}} \frac{\sqrt{\gamma} M_t}{(1 + \frac{\gamma-1}{2} M_t^2)^{\frac{\gamma+1}{2(\gamma-1)}}}$$

UGELLO CONVERGENTE - DIVERGENTE



Anche in questo caso, riusciamo a ricavare le relazioni per determinare l'andamento di \dot{m} .

Consideriamo le portate corrette \dot{m}_c che, come nel caso del convergente, serviscono di funzione delle grandezze totali in ingresso (mot), ma queste volte sostituiamo A_e al posto di A_t .

$$\dot{m}_c = \frac{\dot{m} \sqrt{R^* T_m^*}}{\dot{P}_m^* A_e}$$

c) Diminuiamo le pr fino a un valore più basso, che chiamiamo P_{LIMIT}.
 Se P_{LIMIT} è il valore di pr tale per cui il Mach più grande vale 1.
 Osserviamo che nel caso di flusso sonico più grande, esso può poi espandersi e comprimersi in base alle condizioni al contorno, rappresentate dal valore delle pressioni di valle.

- Se $p_r = P_{LIMIT}$ → il flusso è sonico più grande, nel convergente si espanderà fino a $p_c = 0$ e $M = 1$, mentre nel divergente si comprimerà, quindi $p \uparrow, M \downarrow$.
- Se $p_r = P_{ADATTAMENTO}$ → il flusso si espanderà nel divergente, quindi $p \downarrow, e \uparrow, M > 1$ e alle sezioni di uscita è supersonico.

d) Sia $P_{LIM} < p_r < P_{AD}$.

In questo caso, il flusso nel convergente non viene alterato poiché, essendo sonico più grande, il segnale non riesce a risalire verso monte. Nel divergente il flusso si è espanso ed è diventato supersonico ma, poiché $p_r < P_{AD}$, dovrà ricomprimersi all'avverso un URTO RETTO che lo riporterà nelle condizioni subsoniche.

Mise volte subsonico, essendo il flusso più nel divergente, si comprimerà e raffletterà.

|| gli urti sono fenomeni dissipativi che creano discontinuità di pressioni ed entropie.

Il caso limite (e) avverrà quando l'urto sarà più prossimo alla sezione di uscita. (in grassetto)

• Cosa accade per $p_e < p_r < P_{AD}$?

In teoria la ricompressione dovrebbe avvenire fuori dall'ugello tramite URTI OBliqui.

Molte volte non è detto che ciò accada: se nel tratto $p_e \rightarrow P_{AD}$ la pressione di valle è almeno 2 volte P_{AD} , possono accadere urti obliqui DENTRO L'UGELLO i quali, essendo assimmetrici, generano dei vortici e la separazione del flusso dalle pareti → È una situazione molto pericolosa che genera SPINTE ASIMMETRICHE ⇒ p_r mai tra p_e e P_{AD} !

Nel tratto compreso tra le pressioni iniziale e le pressioni corrispondenti al punto E c'è discrepanza tra curva ideale e curva reale delle portate corrette poiché non vale una delle tre ipotesi:

$$T_e = T_m$$

$$p_e = p_v$$

ma $p_e < p_m$ (URTO RETTO)

Nel tratto compreso tra le pressioni corrispondenti al punto E e le pressioni di risoltamento:

$p_e = p_m$ (NON CI SONO URTI DENTRO L'UGELLO)

$$p_e \neq p_v$$

$$T_e = T_m$$

Non sono state verificate le tre ipotesi, anche in questo tratto c'è discrepanza tra le curva reale.

Come calcoliamo le portate?

$$\frac{p_v}{p_m} > \left(\frac{f}{p}\right)_{UM} \rightarrow p_e = p_v, p_e = p_m, T_e = T_m$$

Allora:

$$\dot{m} = \dot{m}_e = \frac{p_m A_e}{\sqrt{RT_m}} \cdot \sqrt{\frac{2\gamma}{\gamma-1} \left[\left(\frac{p_e}{p_m}\right)^{\frac{2\gamma}{\gamma-1}} - \left(\frac{p_e}{p_m}\right)^{\frac{2\gamma}{\gamma+1}} \right]}$$

$$\frac{p_v}{p_m} < \left(\frac{f}{p}\right)_{UM} \rightarrow \dot{m} = \dot{m}_{CR} = \frac{p_m A_e f (M=1)}{\sqrt{RT_m}}$$

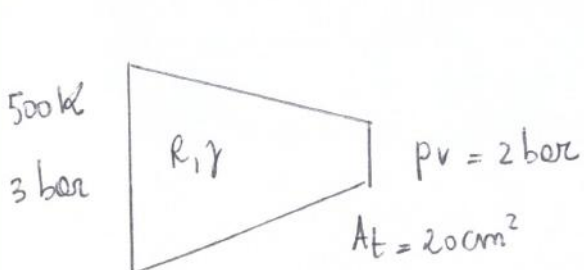
Osserviamo che i punti UM e CR sono gli unici due punti in cui:

$$\begin{cases} T_e = T_m \\ p_e = p_v \quad \text{e contemporaneamente} \\ p_e = p_m \end{cases}$$

ESECU TATIONE 1UGELLI E DIFFUSORI

- ① Un ugello semplicemente convergente con una sezione di gola pari a 20 cm^2 , espande isentropicamente aria ($R = 287 \text{ J/kg/K}$, $\gamma = 1.4$) da condizioni totali $T_m^o = 500 \text{ K}$ e $p_m^o = 3 \text{ bar}$. Determinare:
- portata, pressione, temperatura e velocità nelle sezione di gola, nei casi in cui la pressione nell'ambiente di riferimento sia $p_r = 2 \text{ bar}$ e $p_r = 1 \text{ bar}$.

CASO 1 : $p_r = 2 \text{ bar}$



$$\begin{cases} - \text{FLUSSO ADIABATICO} \Rightarrow T_t^o = T_m^o \\ - \text{FLUSSO REVERSIBILE} \Rightarrow p_t^o = p_m^o \end{cases}$$

Calcoliamo la $(\frac{p}{p^o})_{cr}$:

esse si raggiunge quando $M_t = 1$

$$p^o = p \left(1 + \frac{\gamma-1}{2} M^2\right)^{\frac{1}{\gamma-1}} \rightarrow \left(\frac{p}{p^o}\right)_{M=1} = \left(\frac{1}{1 + \frac{\gamma-1}{2}}\right)^{\frac{1}{\gamma-1}} = \left(\frac{2}{1+\gamma}\right)^{\frac{1}{\gamma-1}} = 0.528$$

Ma che condizioni è l'ugello?

• Se $p_r < p_{cr}$ $\rightarrow M_t = 1$ e $p_r \neq p_t$

• Se $p_r > p_{cr}$ $\rightarrow M_t < 1$ e $p_r = p_t$

$$\left(\frac{p_r}{p_m^o}\right) = \frac{2}{3} = 0.667 > \left(\frac{p_r}{p_{cr}}\right)_{cr} \Rightarrow M_t < 1 \text{ e } p_t = p_r$$

Quindi:

$$\dot{m} = \frac{p_t^o A_t}{\sqrt{R T_m^o}} \sqrt{2 \frac{1}{\gamma-1} \left[\left(\frac{p_r}{p_{cr}}\right)^{\frac{2}{\gamma}} - \left(\frac{p_r}{p_{cr}}\right)^{\frac{\gamma+1}{\gamma}} \right]} = 1,0336 \text{ kg/s}$$

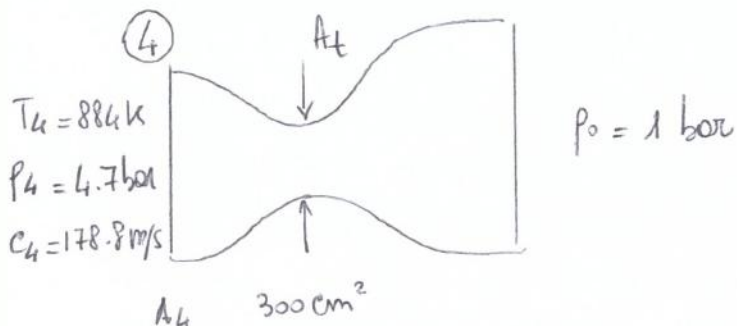
$$p_t = p_{\infty} = p_m^* \cdot 0,528 = 1,584 \text{ bar}$$

$$T_t = \frac{T_m^*}{(1 + \frac{\gamma-1}{2})} = 416,667 \text{ K}$$

$$C_t = M_t \sqrt{\gamma R T_t} = 403,165 \text{ m/s}$$

② Un ugello convergente-divergente polidibetico espande reversibilmente una corrente d'aria che presenta $T_4 = 884 \text{ K}$, $p_4 = 4,7 \text{ bar}$, $C_4 = 178,8 \text{ m/s}$. Nell'ambiente di scarico la pressione è $p_0 = 1 \text{ bar}$.

- Calcolare la portata massima e l'area di uscita A_4 , sapendo che $A_t = 300 \text{ cm}^2$
- Calcolare A_e per avere l'ugello sdoppiato, ed i corrispondenti valori di numero di Mach e velocità di uscita c_e .
- Mach e velocità e pressione di uscita M_e , c_e , p_e se $A_e' = 350 \text{ cm}^2$.



$$\left. \begin{array}{l} \text{• ADIABATICO} \rightarrow T_m^* = T_e^* = T_t \\ \quad T_e^* = T_4^* = T_t^* \\ \text{• REVERSIBILE} \rightarrow p_e^* = p_0 \end{array} \right\}$$

Calcolo grandezze totali:

$$c_p = \frac{\gamma R}{\gamma-1} = 1004,5 \text{ J/kgK}$$

$$T_4^* = T_4 + \frac{C_4^2}{2c_p} = 899,913 \text{ K}$$

$$p_4^* = p_4 \left(\frac{T_4^*}{T_4} \right)^{\frac{1}{\gamma-1}} = 5 \text{ bar}$$

$$\left(\frac{p_0}{p_4^*} \right) = \frac{1}{5} = 0,2 < 0,5283 \rightarrow \text{ugello critico} \quad M_t = 1, \dot{m} = \dot{m}_{cr}$$

$$f(M=1,709) = \frac{\sqrt{\gamma} M_e}{\left(1 + \frac{\gamma-1}{2} M_e^2\right)^{\frac{\gamma+1}{2(\gamma-1)}}} = 0,5086$$

$$f(M=1) = 0,6847$$

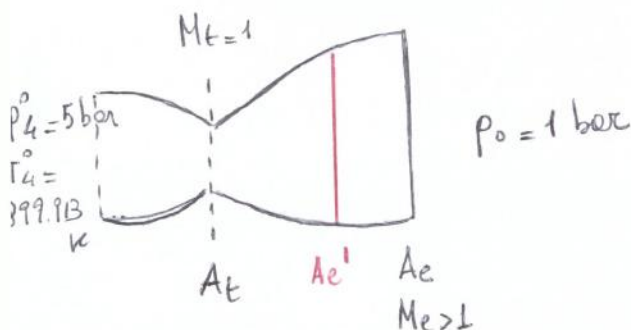
Quindi:

$$A_e = 403,89 \text{ cm}^2$$

$$c_e = M_e \sqrt{\gamma R T_e} = 816,49 \text{ m/s}$$

$$T_e = \frac{T_e^{\circ} = 4}{1 + \frac{\gamma-1}{2} M_e^2} = 568,078 \text{ K}$$

• Supponiamo $A_e' = 350 \text{ cm}^2$. Quanto valgono M_e' , c_e' , p_e' ?



In questo caso, poiché si conservano le grandezze totali:

$$A_e' f(M_e') = A_t f(M=1)$$

$$\frac{A_t}{A_e'} = \frac{f(M_e')}{f(M=1)} = 0,857 \rightarrow \text{dalle tabelle si trova} \quad M_e' \approx 1,48$$

$$c_e' = M_e' \sqrt{\gamma R^* T_e'} = 718,787 \text{ m/s}$$

$$p_e' = \frac{p_e^{\circ} = p_m^{\circ}}{\left(1 + \frac{\gamma-1}{2} M_e'^2\right)^{\frac{\gamma}{\gamma-1}}} = 1,121 \text{ bar}$$

$$\left(\frac{p_e^{\circ}}{p_e'}\right) = \left(\frac{T_e^{\circ}}{T_e'}\right)^{\frac{\gamma}{\gamma-1}} \rightarrow T_e' = T_e^{\circ} \left(\frac{p_e'}{p_e^{\circ}}\right)^{\frac{\gamma-1}{\gamma}} = 587,04 \text{ K}$$

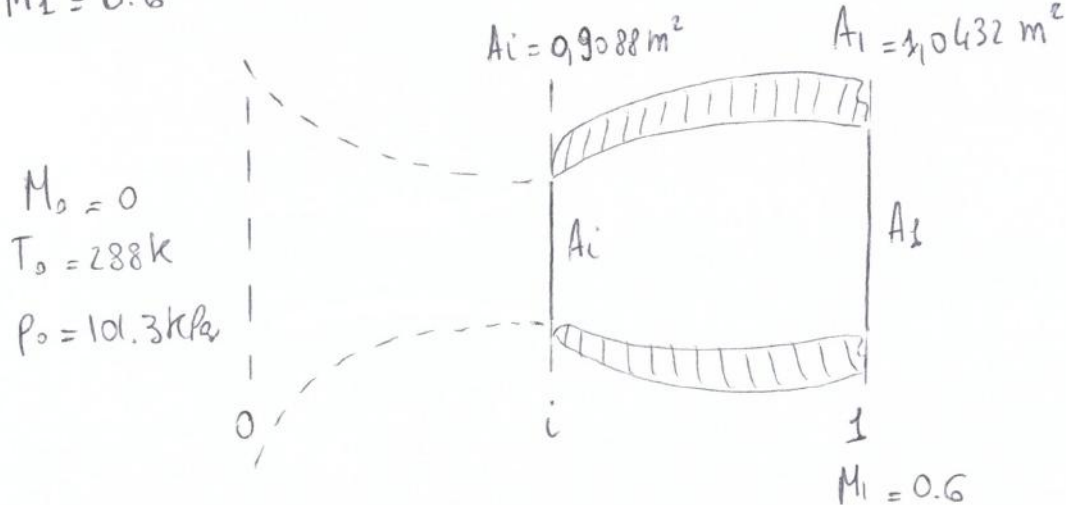
$$\dot{m}_1 = \dot{m} = \frac{p_i^0 A_1}{\sqrt{RT_i^0}} f(M_1) \quad \text{con} \quad f(M_1) = \frac{\sqrt{f} M_1}{\left(1 + \frac{f-1}{2} M_1^2\right)^{\frac{f+1}{2(f-1)}}} = 0.545$$

$$A_1 = \frac{\dot{m} \sqrt{RT_i^0}}{p_i^0 f(M_1)} = 1,0432 \text{ m}^2$$

$$T_i^0 = T_0$$

$$p_i^0 = p_0$$

Si determini inoltre il valore di \dot{m} e M_1 al livello e quota 0, $M_0 = 0$, $T_0 = 288 \text{ K}$, $p_0 = 101.3 \text{ kPa}$, sapendo che in queste condizioni si ha $M_1 = 0.6$



$$T_0^0 = T_0 \left(1 + \frac{f-1}{2} M_0^2\right) = T_0$$

$$p_0^0 = p_0 \left(1 + \frac{f-1}{2} M_0^2\right)^{1/(f-1)} = p_0$$

Calcolo portate:

$$\dot{m} = \frac{p_0 A_1}{\sqrt{RT_0}} f(M_1) \quad \text{con} \quad f(M_1) = 0,576$$

$$\dot{m} = 211,73 \text{ kg/s}$$

$$\text{Calcolo } M_1: \quad A_i f(M_i) = A_1 f(M_1)$$

UGELLI e DIFFUSORI

Un ugello semplicemente convergente con una sezione di gola pari a 20 cm^2 espande isentropicamente aria ($R = 287 \text{ J/kg/K}$, $\gamma = 1.4$) da condizioni totali $T_m^o = 500 \text{ K}$ e $p_m^o = 3 \text{ bar}$. Determinare portata e pressione, temperatura e velocità nella sezione di gola nei casi di pressione nell'ambiente di scarico pari a $p_v = 2 \text{ bar}$ e $p_v = 1 \text{ bar}$.

Un ugello convergente-divergente adiabatico espande reversibilmente una corrente d'aria che presenta temperatura $T_4 = 884 \text{ K}$, pressione $p_4 = 4.7 \text{ bar}$ e velocità $c_4 = 178.8 \text{ m/s}$. Nell'ambiente di scarico la pressione è $p_0 = 1 \text{ bar}$. Calcolare la portata smaltita e l'area di ingresso A_4 sapendo che l'area di gola è $A_t = 300 \text{ cm}^2$.

Calcolare inoltre

l'area di uscita A_e per avere l'ugello adattato ed i corrispondenti valori di numero di Mach e velocità di uscita M_e e c_e

il Mach la velocità e la pressione di uscita M'_e , c'_e e p'_e se l'area di uscita è ridotta a $A'_e = 350 \text{ cm}^2$

Dimensionare la presa d'aria per un turbofan in volo nelle seguenti condizioni: numero di mach $M_0 = 0.85$, quota $z = 30000 \text{ ft}$ ($T_0 = 226.6 \text{ K}$, $p_0 = 30.05 \text{ kPa}$), portata $\dot{m} = 100 \text{ kg/s}$, numero di Mach all'ingresso della presa $M_i = 0.7$, numero di Mach all'uscita della presa/ingresso compressore $M_1 = 0.55$ (si supponga il flusso adiabatico e reversibile).

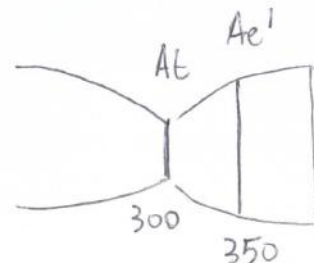
Si determinino inoltre i valori di \dot{m} e M_i al decollo a quota 0 ($M_0 = 0$, $T_0 = 288 \text{ K}$, $p_0 = 101.3 \text{ kPa}$), sapendo che in queste condizioni si ha $M_1 = 0.6$.

$$\frac{A^*}{A} = \frac{A_{\text{gole}}}{A}$$

FLUSSO COMPRESSIBILE ADIABATICO

($\gamma = 7/5$)

M_1	P_1 / P_{t1}	$\frac{A^*}{A} \rightarrow \frac{A_t}{A_1} = \frac{f(M_1)}{f(1)}$	M_2	P_2 / P_1	P_2 / P_{t1}
.00	1.00000	.0000	1.000	1.000	1.0000
.05	.99825	.0863	.953	1.120	.9999
.10	.99303	.1718	.912	1.245	.9989
.15	.98441	.2557	.875	1.376	.9967
.20	.97250	.3374	.842	1.513	.9928
.25	.95745	.4162	.813	1.656	.9871
.30	.93947	.4914	.786	1.805	.9794
.35	.91877	.5624	.762	1.960	.9697
.40	.89561	.6289	.740	2.120	.9582
.45	.87027	.6903	.720	2.286	.9448
.50	.84302	.7464	.696	2.458	.9298
.55	.81417	.7968	.674	2.636	.9132
.60	.78400	.8416	.654	2.820	.8952
.65	.75283	.8806	.634	3.010	.8760
.70	.72093	.9138	.617	3.205	.8557
.75	.68857	.9412	.606	3.406	.8346
.80	.65602	.9632	.596	3.613	.8127
.85	.62351	.9798	.586	3.826	.7902
.90	.59126	.9912	.577	4.045	.7674
.95	.55946	.9979	.569	4.270	.7442
1.00	.52828	1.0000	.561	4.500	.7209
1.05	.49787	.9980	.554	4.736	.6975
1.10	.46835	.9921	.547	4.978	.6742
1.15	.43983	.9828	.541	5.226	.6511
1.20	.41238	.9705	.534	5.480	.6281
1.25	.38606	.9553	.529	5.740	.6055
1.30	.36091	.9378	.523	6.005	.5833
1.35	.33697	.9182	.518	6.276	.5615
1.40	.31424	.8969	.513	6.553	.5401
1.45	.29272	.8742	.508	6.836	.5193
1.50	.27240	.8502	.504	7.125	.4990
1.55	.25326	.8254	.500	7.420	.4793
1.60	.23527	.7998	.496	7.720	.4601
1.65	.21839	.7739	.492	8.026	.4416
1.70	.20259	.7476	.488	8.338	.4236
1.75	.18782	.7212	.485	8.656	.4062
1.80	.17404	.6949	.481	8.980	.3895
1.85	.16120	.6688	.478	9.310	.3733
1.90	.14924	.6430	.475	9.645	.3577
1.95	.13813	.6175	.472	10.333	.3428
2.00	.12780	.5926	.470		.3283
2.05	.11823	.5682			
2.10	.10935	.5444			
2.15	.10113	.5212			
2.20	.09352	.4988			
2.25	.08648	.4770			
2.30	.07997	.4560			
2.35	.07396	.4357			
2.40	.06840	.4161			
2.45	.06327	.3973			
2.50	.05853	.3793			
2.55	.05415	.3619			
2.60	.05012	.3453			
2.65	.04639	.3294			
2.70	.04295	.3142			
2.75	.03978	.2996			
2.80	.03685	.2857			
2.85	.03415	.2724			
2.90	.03165	.2598			
2.95	.02935	.2477			
3.00	.02722	.2362			



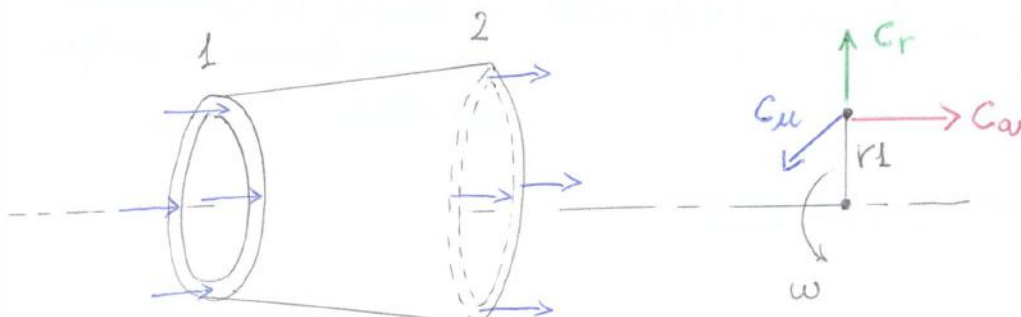
Nello studio delle turbine supponiamo, almeno inizialmente, che l'altezza delle pale sia trascurabile rispetto al raggio del rotore.

In questo modo, il fluido in ingresso si trova nelle stesse condizioni in ogni punto e lo stesso vale per il fluido in uscita.

Per determinare il lavoro svolto dal fluido e turbomacchina, occorre calcolare la coppia che le pale esercitano sul fluido.

Per fare ciò, ci serviamo del TEOREMA DEL MOMENTO ANGOLARE, che afferma che la variazione di momento angolare è pari alla somma delle coppie applicate dall'esterno.

Per applicare il teorema, sceltiamo un punto di vista euleriano, considerando come volume di controllo quello delimitato dal flusso per passare da 1 a 2.



Le velocità del fluido all'interno del volume di controllo può essere scomposta in tre componenti:

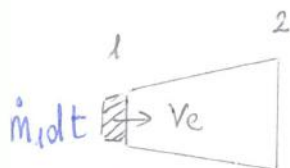
$$\bar{C} = \underbrace{C_a \bar{u}_a}_{\text{aziale}} + \underbrace{C_r \bar{u}_r}_{\text{radiale}} + \underbrace{C_w \bar{u}_w}_{\text{tangenziale}}$$

Applichiamo il teorema:

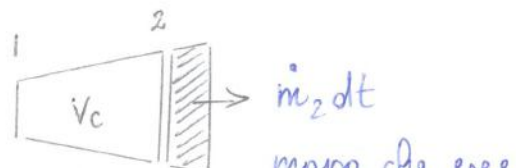
$$M = \frac{dK}{dT}$$

INIZIO t

→ FINE t+dt



non che
entra



massa che esce

Imolicando con $U = \omega r$ la VELOCITÀ DI PALA, otteriamo:

$$L_i = U_2 C_{u2} - U_1 C_{u1}$$

osserviamo che c'è lavoro perché c'è variazione di velocità

Osserviamo che:

- TURBOMACCHINE ASSIALI $\Rightarrow \begin{cases} C_r = 0 \\ r_2 = r_1 \Rightarrow \\ U_2 = U_1 \end{cases} \boxed{L_i = U (C_{u2} - C_{u1})}$

In un COMPRESSORE ASSIALE, affinché $L_i > 0$, deve essere $C_{u2} > C_{u1}$ e quindi le pale spinge il flusso nella stessa direzione in cui sta ruotando

In una TURBINA ASSIALE, affinché $L_i < 0$, deve essere $C_{u2} < C_{u1}$ e allora le pale esercitano una forza diretta in senso opposto al verso di rotazione

• TURBOMACCHINE RADIALI

$$L_i = U_2 C_{u2} - U_1 C_{u1}$$

\rightarrow CENTRIPETE, $r_1 > r_2 \Rightarrow$ un compressore non può essere centripeto, perché $U_1 > U_2$

\rightarrow CENTRIFUGHE, $r_2 > r_1$

\hookrightarrow una turbina in genere non è centrifuga esistono alcune eccezioni per problemi di smaltimento di potere.

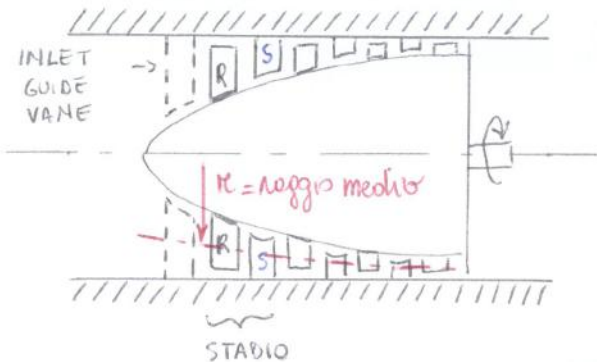
In genere:

- PICCOLE PORTATE \rightarrow si preferiscono macchine RADIALI
- GRANDI PORTATE \rightarrow si preferiscono macchine ASSIALI

In campo aeromotore:

- Si utilizzano SOLO TURBINE ASSIALI
- Per i compresori: \rightarrow MACCHINE ASSIALI se $m > 5 \text{ kg/s}$
 \hookrightarrow MACCHINE RADIALI se $m < 5 \text{ kg/s}$

COMPRESSORE ASSIALE



La caratteristica principale di un compressore axiale è quella che il raggio medio si mantiene con buona approssimazione costante da monte a valle. Possiamo perciò trascurare la piccola componente radiale di velocità esistente.

La sezione trasversale di attraversamento del fluido è progressivamente decrescente, per garantire che C_a rimanga costante.

Infatti, data la condizione di MOTO STAZIONARIO, $\dot{m} = \rho C_a A = \text{costante}$

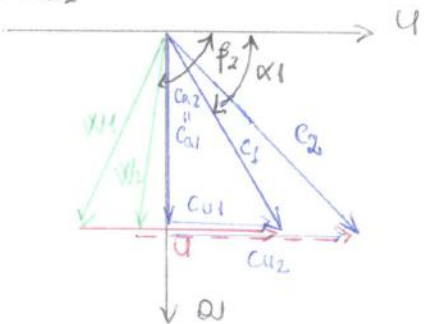
$\Rightarrow C_a = \frac{\dot{m}}{\rho A}$ poiché nel compressore ρ aumenta, affinché C_a rimanga costante occorre diminuire A .

Generalmente, tale macchina è MULTISTADIO e a volte, davanti al primo stadio, è posto una palettatura fine detta INLET GUIDE VANE, che prepara il flusso ad entrare nel motore.

TRIANGolo DI VELOCITÀ

Portiamo con il disegno il triangolo di velocità, in base alle seguenti considerazioni:

- C_{u1}, C_{u2} sono le velocità dirette nel verso di U
- $C_{a1} \approx C_{a2}$, perché macchina axiale
- $\bar{C} = \bar{U} + \bar{W}$
- $C_{u2} > C_{u1}$



α_1, β_1 sono angoli costitutivi, ab' vuol dire che le direzioni di \bar{U} e \bar{W} non dipendono dalle condizioni di funzionamento del compressore, ma solo da come è costruita la macchina.

de come è costruita le palette. Però soprattutto dell'ergodinamica che una palette funzionerà bene fintanto che l'angolo di incidenza è piccolo, altrimenti si verifica lo stallo.

E quindi buone norme, fare in modo che il bordo di attacco non formi un angolo eccessivamente grande con la \bar{w}_1 , ma né più o meno allineato con esse.

Divinoli, il bordo di fuga è allineato, SEMPRE, con la \bar{w}_2 .

Il bordo d'attacco deve essere allineato il più possibile con la \bar{w}_1 .

In seguito a questo modo, basta ricordare le due direzioni per avere il vettore delle palette

③ Lo stator, per quanto detto sopra, dovrà avere il bordo d'attacco più o meno allineato con la \bar{c}_2 e quello di uscita con la \bar{c}_3 (perché lo stesso vede le velocità assolute).

Generalmente, nei compressori multistadi, si fa in modo che ogni stadio sia uguale, perciò poniamo $\bar{c}_3 = \bar{c}_1$.

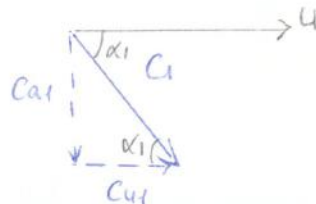
Al questo punto, del triangolo di velocità, vediamo come impostare il lavoro:

$$L_c = u (c_{u2} - c_{u1})$$

$$\begin{cases} c_{u1} = c_1 \cos \alpha_1 \\ c_{u1} = c_1 \sin \alpha_1 \end{cases}$$



$$c_{u1} = c_{a1} \cot \alpha_1$$



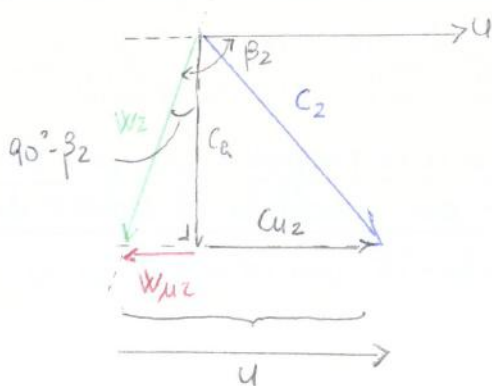
$$c_{u2} = w_{u2} + u$$

$$w_{u2} = w_2 \cos \beta_2 = c_{a2} \cot \beta_2$$

$$w_{a2} = c_{a2} = w_2 \sin \beta_2$$



$$c_{u2} = u + c_{a2} \cot \beta_2$$



Lo traeendo dalla prima equazione la seconda, troviamo:

$$L_c = \frac{c_2^2 - c_1^2}{2} - \frac{w_2^2 - w_1^2}{2} + \frac{u_2^2 - u_1^2}{2}$$

Fino ad ora abbiamo capito come devono essere costituite le palette dell'compressore a partire dal triangolo di velocità e abbiamo trovato un'espressione del lavoro (o del coefficiente di pressione) in funzione delle c (o del coefficiente di portata).

La nostra attenzione si è rivolta all'effetto utile che vogliamo ottenere, ovvero il RAPPORTO DI COMPRESSIONE $\beta_c = \frac{p_3^o}{p_1^o}$

osserviamo che, poiché abbiamo posto $c_3 = c_1$ e in uso stadio il rapporto di compressione è piccolo, quindi avremo piccole variazioni di temperatura tra 1 e 3, possiamo affermare che $M_1 \approx M_3$.

$$\text{Poiché } p = \frac{p^o}{(1 + \frac{1}{2} M^2)^{\frac{1}{\gamma-1}}} \text{ e } M_1 \approx M_3 \Rightarrow \frac{p_3^o}{p_1^o} = \frac{p_3}{p_1} \frac{(1 + \frac{1}{2} M_3^2)^{\frac{1}{\gamma-1}}}{(1 + \frac{1}{2} M_1^2)^{\frac{1}{\gamma-1}}} \approx \frac{p_3}{p_1}$$

ovvero:

$$\frac{c_1}{\sqrt{RT_1}} \approx \frac{c_3}{\sqrt{RT_3}} \quad M_1 \approx M_3$$

$$\beta_c = \frac{p_3^o}{p_1^o} \approx \frac{p_3}{p_1}$$

il rapporto tra le pressioni totali coincide con il rapporto tra le pressioni statiche

riche siamo al grafico di Collobore L_c , quell'che dobbiamo fare è metterlo in relazione con il β_c .

ricordiamo che:

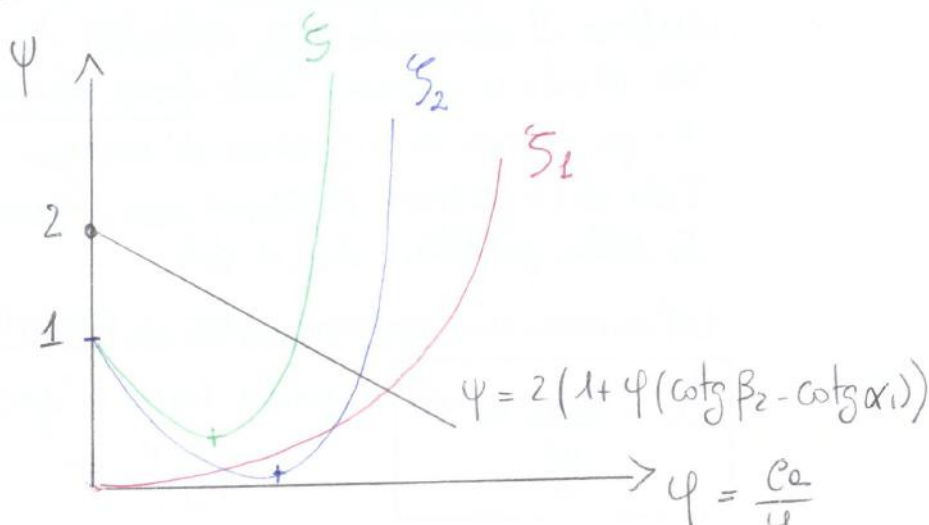
$$L_c = \frac{1}{M_c} \frac{c_p T_1^o}{(f_c^{\frac{1}{\gamma-1}} - 1)} \rightarrow \beta_c = \left(1 + \frac{M_c L_c}{c_p T_1^o} \right)^{\frac{1}{\gamma-1}}$$

è non forse presente il rendimento M_c , sarebbe facile mettere in relazione β_c con L_c . La presenza di quest'ultimo è legata alle perdite che si verificano nel compressore. Per capire come legare β_c ad L_c , dobbiamo capire come variano le perdite.

Il coefficiente di perdità complessivo non è:

$$\xi = \xi_1 + \xi_2$$

Rappresentiamo l'aumento dei coeff. di perdità sul grafico $\psi - \varphi$:



Σ avrà un minimo dove ξ_1, ξ_2 sono entrambi piccoli, poi comincerà a crescere.

Perché ξ_2 parte da 1?

Quando $\varphi = 0$, non abbiamo percorso di aria nelle macchine ($L_c = 0$). La macchina gira ($u \neq 0$) e fa girare sempre le stesse arie.

Se $\varphi = 0$ il lavoro vale:

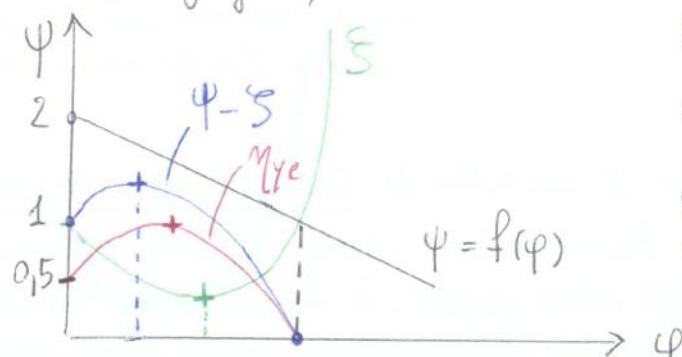
$$\frac{L_c}{\frac{u^2}{2}} = 0 \rightarrow L_c = u^2$$

Facendo girare aria ferme dentro il compressore, queste gireranno con velocità u , perciò abbiamo fornito un'energia pari a $\frac{u^2}{2}$. Tale energia viene completamente persa $\Rightarrow L_w = \frac{u^2}{2}$ e $\xi_2 = \frac{L_w}{L_c} = 1$

Rappresentiamo ora in più grafico,

$\psi - \xi_1$, ψ e Σ :

$\psi - \xi$ rappresenta il lavoro L_c meno perdità L_w .



Il massimo di $\psi - \xi$ si ha dove le derivate delle funzioni Σ e ψ sono uguali. Quindi più a sx del minimo di Σ

Poiché il rendimento isentropico differisce da quello isentropico perché tiene conto del lavoro di compressione, ma dato il piccolo rapporto di compressione questo tende a essere trascurabile, i due rendimenti tendono a coincidere.

Follows:

$$\beta_c = \left(1 + \frac{\gamma_c L_c}{C_p T_1^0} \right)^{\frac{1}{\gamma-1}} = \left(1 + \frac{\gamma_c \Psi u^2/2}{C_p T_1^0} \right)^{\frac{1}{\gamma-1}}$$

Definiamo COEFFICIENTE TERMODINAMICO:

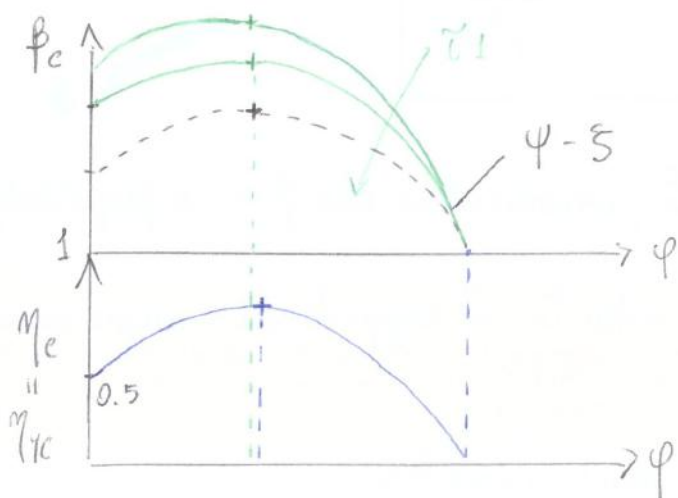
$$\boxed{\tau_1 = \frac{C_p T_1^0}{\frac{u^2}{2}}} \Rightarrow \beta_c = \left(1 + \frac{\Psi}{\tau_1} \gamma_c \right)^{\frac{1}{\gamma-1}} = \left(1 + \frac{\Psi - \xi}{\tau_1} \right)^{\frac{1}{\gamma-1}}$$

\downarrow

$$\gamma_c \approx \gamma_{\text{re}} = \frac{\Psi - \xi}{\Psi}$$

Dividendo:

$$\boxed{\beta_c = \left(1 + \frac{\Psi - \xi}{\tau_1} \right)^{\frac{1}{\gamma-1}}}$$



Fixato τ_1 , l'aumento di β_c si calca l'aumento di $\Psi - \xi$.

Perciò β_c segue la curva $\Psi - \xi$, e non un massimo dove $\Psi - \xi$ ha un massimo.

Se τ_1 è piccolo, β_c è grande e viceversa.

Il massimo del rendimento è sempre a destra del massimo di β_c .

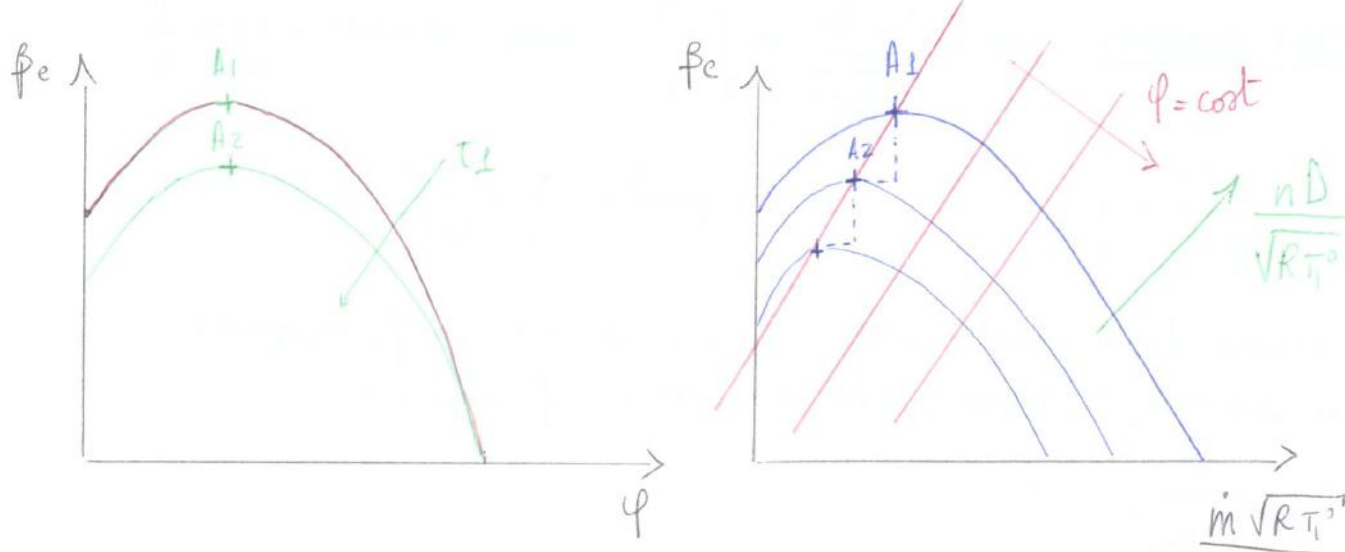
nel punto di vite pratico, misurare le prestazioni di un compressore in termini di φ è praticamente impossibile, perché non si riesce a misurare φ .

A sua volta, anche M_1 è funzione di φ e giri corretti, infatti:

$$M_1 = \frac{c_1}{\sqrt{f R T_1}} = \frac{c_{a1}}{\sin \alpha_1 \cdot u} \cdot \frac{u}{\sqrt{f R T_1}} = \varphi \cdot \frac{u}{\sin \alpha_1 \sqrt{f R T_1}} \propto \varphi \cdot \frac{n D}{\sqrt{R T_1}} \rightarrow \propto \sqrt{R T_1}$$

$c_{a1} = c_1 \sin \alpha_1$

Quindi questo nuovo set di grandezze è del tutto equivalente alle altre due.



Intuiamo che \bar{T}_1 più basso (curva più bassa), quindi giri corretti più alti.

Le curve se giri corretti costanti avranno lo stesso andamento di quelle in corrente, poiché c'è proporzionalità tra φ e $\frac{m \sqrt{R T_1}}{\pi^2 D^2}$.

Assumiamo che, a parità di φ , ponendo da A_1 a A_2 il F_c scende.

piuttosto poniamo che numero di giri alto e numero di giri basso, scende anche la portata corretta, che è proporzionale sol escluso (φ).

In questo modo A_2 si troverà più in basso e più a sinistra del punto A_1 .

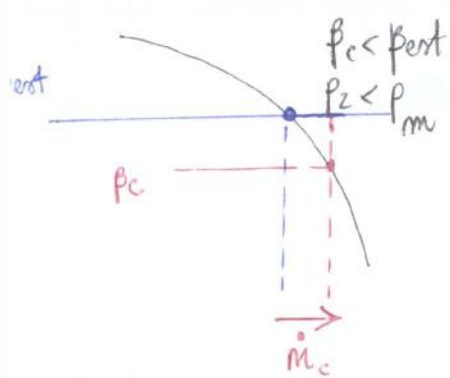
Potremo osservare che i punti in similitudine cioè con stesso φ , si trovano su rette come quelle disegnate sul grafico.

e non ci saranno altri effetti, le curve stesse se $\varphi = \text{cost}$ avrebbero punti con stesso riconoscimento. In realtà non è così perché intervergono delle perdite legate agli effetti del numero di F_c e del numero di M .

Perché il punto a destra è stabile e quello a sinistra è instabile?

PUNTO STABILE

Supponiamo di intervenire un disturbo che aumenti le portate.



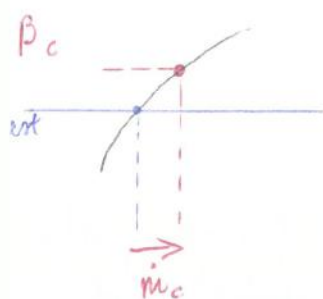
A un aumento di portata, corrisponde un $p_c < p_{est}$, cioè una pressione fornita dal compressore più bassa e quelle richiesta dal circuito.

Questo comporta una diminuzione di portata che permette di tornare al punto di equilibrio. (perché il fluido decelera)

Analogamente avviene nel caso le portate diminuisce per effetto di un disturbo esterno.

PUNTO INSTABILE

Se si introduce un disturbo che aumenta le portate:



In questo caso $p_c > p_{est} \Rightarrow p_z > p_m$, perciò le portate aumenteranno fino a raggiungere il punto di equilibrio instabile.

e lo stesso però avviene al di sotto di quelle corrispondenti al punto di equilibrio instabile, queste cominceranno a diminuire fino a giungere al punto di equilibrio instabile a portate negative (il fluido torna indietro). Si avrà così una situazione in cui si verificherà una continua oscillazione tra due punti di instabilità, uno a portata positiva, l'altro a portata negativa.

Per questo motivo, si definisce una LINEA DI PONPAGGIO, che unisce tutti i punti a $p_c = p_{max}$ eoincidenza delle quali non bisogna far funzionare il compressore.

LIMITAZIONI PROGETTUALI

$$\textcircled{1} \quad M_{1\text{REL}} = \frac{W_1}{\sqrt{RT_1}} < M_{\text{MAX}} (0,8)$$

Tale limitazione è derivata dal fatto che non vogliamo flussi supersonici, poiché ciò comporterebbe degli urti, il che vuol dire dissipativi, che aumenterebbero la probabilità dello sfollo delle palette.

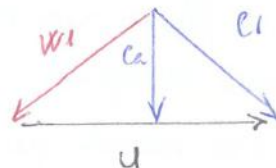
Cosa comporta tale limitazione?

$$M_{1\text{REL}} = \frac{W_1}{\sqrt{RT_1}} < M_{\text{MAX}} \rightarrow W_1 < c_s M_{\text{MAX}}$$

La limitazione sul $M_{1\text{REL}}$ si traduce in una limitazione sulla W_1 .

Osserviamo che:

$$W_1 = \sqrt{W_{\alpha}^2 + W_{\mu 1}^2} = \sqrt{c_a^2 + (u - c_{u1})^2}$$

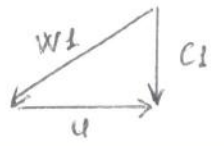


che le c_a e $(u - c_{u1})$ subiscono delle limitazioni.

Però:

- c_a non può scendere troppo, perché altrimenti la portata $m = \rho c_a A$ se c_a diminuisce, affinché si mantenga $m = \text{costante}$, occorrebbe aumentare A e questo produrrebbe un aumento delle dimensioni delle macchine
- Come possiamo regolare $u - c_{u1}$?
Attraverso l'IGV, invece di avere un flusso puramente oriale, conforemo alle c_1 una componente tangenziale c_{u1} che permette di diminuire le $W_{\mu 1}$ e quindi W_1 . (e portare di u)
Se invece fissiamo W_1 , l'IGV, partendo da c_1 , permette di avere una u maggiore, quindi un $L_c = u (c_{u2} - c_{u1})$ maggiore.

SENZA
IGV



CON
IGV
(a rotta di W1)



Abbiamo visto che:

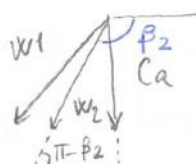
$$\frac{p_2 - p_1}{p} = \frac{w_1^2 - w_2^2}{2} \rightarrow p_2 - p_1 = \frac{p}{2} (w_1^2 - w_2^2)$$

Quindi $C_{pR} = \frac{p_2 - p_1}{\frac{p}{2} w_1^2} = 1 - \frac{w_2^2}{w_1^2} \leq 0,5 \Rightarrow \boxed{w_2^2 \geq 0,5 w_1^2}$

Se $C_p = 0,5 \Rightarrow w_2 = \frac{w_1}{\sqrt{2}} \approx 0,7 w_1$ la w_2 non deve essere troppo inferiore a w_1 .

Inoltre:

$$C_{av} = w_2 \sin \beta_2 = w_1 \sin \beta_1$$



Allora:

$$w_2 = w_1 \frac{\sin \beta_1}{\sin \beta_2} \Rightarrow w_1^2 \sin^2 \beta_1 \geq 0,5 w_1^2 \sin^2 \beta_2 \Rightarrow \boxed{\sin^2 \beta_1 \geq 0,5 \sin^2 \beta_2}$$

Se $C_p = 0,5 \Rightarrow \sin^2 \beta_1 = 0,5 \sin^2 \beta_2$

$\hookrightarrow \sin \beta_1 \approx \sin \beta_2 \cdot 0,7$ gli angoli β_1 e β_2 non devono essere troppo diversi fra loro

LIMITAZIONI SUL β_c

Osserviamo come le limitazioni sul $M_{1,REL}$ e sui C_{pR} , C_{ps} , ci conducano a una limitazione sul β_c .

Assumendo $C_1 = C_3 \Rightarrow \beta_c = \frac{\beta_3}{\beta_1} \approx \frac{p_3}{p_1} = \frac{p_3}{p_2} \cdot \frac{p_2}{p_1}$ \hookrightarrow quodex premione rotore

\hookrightarrow quodex premione statore

$$\cdot p_2 - p_1 = \frac{1}{2} p w_1^2 C_{pR} \rightarrow \frac{p_2}{p_1} = 1 + \frac{1}{2} \frac{p w_1^2 C_{pR}}{p_1} \cdot \frac{\gamma}{\gamma} = 1 + \frac{\gamma}{2} M_{1,REL}^2 C_{pR}$$

Analogamente: $\frac{p_3}{p_2} = 1 + \frac{\gamma}{2} M_2^2 \cdot C_{ps}$

GRADO DI REAZIONE

Definiamo grado di reazione R:

$$R = \frac{\text{aumento entalpia notore}}{\text{lavoro scontato}} = \frac{i_2 - i_1}{i_2^0 - i_1^0}$$

$$\text{con } i_2^0 - i_1^0 = i_3^0 - i_1^0$$

$$\text{e se } c_1 = c_3 \Rightarrow i_2^0 - i_1^0 = i_3^0 - i_1^0 = i_3 - i_1$$

Tale parmetro indica qual'è il guadagno di pressione ottenuto nell'notore rispetto al guadagno di pressione totale.

Applichiamo il 1° principio ai flussi misti al notore, supponendo:

$$\left. \begin{array}{l} \rho \text{ cost} \\ L_w = 0 \end{array} \right\} \rightarrow \text{L}_i = \int_1^2 v dp + \frac{w_2^2 - w_1^2}{2} \quad \begin{array}{l} \text{sistema di riferimento} \\ \text{notante } L_i = 0 \end{array}$$

$$\frac{p_2 - p_1}{\rho} + \frac{w_2^2 - w_1^2}{2} = 0$$

al 1° principio si forza densità:

$$\cancel{L_i} + \cancel{\rho e} = \Delta i + \Delta E_c \rightarrow i_2 - i_1 + \frac{w_2^2 - w_1^2}{2} = 0$$

sistema di riferimento notante, $L_i = 0$

Osserviamo che:

$$i_2 - i_1 = \frac{w_1^2 - w_2^2}{2} = \frac{p_2 - p_1}{\rho}$$

allo stesso ragionamento, applicando il tutto allo statore:

$$\left. \begin{array}{l} \frac{p_3 - p_2}{\rho} + \frac{c_3^2 - c_2^2}{2} = 0 \\ i_3 - i_2 = \frac{c_2^2 - c_3^2}{2} \end{array} \right\} \rightarrow i_3 - i_2 = \frac{c_2^2 - c_3^2}{2} = \frac{p_3 - p_2}{\rho}$$

Allora:

$$i_3 - i_1 = i_3 - i_2 + i_2 - i_1 = \frac{c_2^2 - c_3^2}{2} + \frac{w_1^2 - w_2^2}{2}$$

Poiché $\sum F_r = 0$, abbiamo:

$$\rho r d\theta dz + \underbrace{\varepsilon p \sin \theta}_{\sim \frac{dp}{r}} dr dz - (p + \frac{dp}{dr})(r + dr) d\theta dz + \frac{c_u^2}{r} \rho r d\theta dr dz = 0$$

$$\frac{dp}{dr} r dr d\theta dz + \frac{c_u^2}{r} \rho r d\theta dr dz = 0 \Rightarrow \boxed{\frac{1}{\rho} \frac{dp}{dr} = \frac{c_u^2}{r}}$$

come previsto, mettendo in notazione un fluido con velocità c_u , si genera un gradiente di pressione crescente con il raggio, derivante dal fatto che il coring, non permette alle particelle di muoversi in direzione radiale, e causa l'accumulo verso l'esterno.

Tale gradiente non rappresenta un problema, poiché eliminate le c_u esso si annulla e il fluido tiene allo stesso pressione in ogni punto, che coincide con quella totale.

Infine ciò avviene, però, dobbiamo assicurare che:

- $\frac{dT_1}{dr} = 0 \quad \left. \begin{array}{l} \text{le grandezze totali} \\ \text{di signore non variano} \end{array} \right\} \quad \rightarrow \quad \text{FLUIDO UNIFORME IN} \\ \text{INGRESSO}$
- $\frac{dp_1}{dr} = 0 \quad \left. \begin{array}{l} \text{con il raggio} \\ \rightarrow dL_w = T \frac{ds}{dr} - \frac{dp}{r} \end{array} \right\}$
- $\frac{dL_w}{dr} = T \frac{ds}{dr} = 0 \quad \rightarrow \text{in ogni sezione del compressore le perdite sono} \\ \text{uniformi e non dipendono dal raggio}$
- $\frac{dL_c}{dr} = 0 \quad \rightarrow \text{RICHIEDA ETÀ FACCIA MO NO!} \quad \text{il compressore deve comprimere} \\ \text{il fluido allo stesso modo nel ogni raggio}$

$$L_c = u (c_{u2} - c_{u1}) = w \cdot r (c_{u2} - c_{u1})$$

Allora: se $r \uparrow$, $(c_{u2} - c_{u1}) \downarrow$

se $r \downarrow$, $(c_{u2} - c_{u1}) \uparrow$

e tutto ciò è verificato \rightarrow FLUIDO UNIFORME IN USCITA: $\frac{dT_{2,3}}{dr} = 0, \frac{dp_{2,3}}{dr} = 0$

SVERGOLAMENTO A VORTICE LIBERO

Se non ci sono coppie applicate $\Rightarrow r\omega = \text{cost}$ delle conservazione del momento angolare
Tale criterio prevede:

- $r\omega_1 = a_1$
- $r\omega_2 = a_2 > a_1$

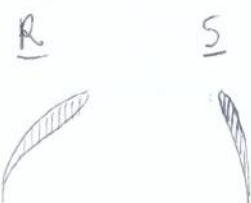
se $r\omega = \text{costante} \Rightarrow \frac{dCa^2}{dr} = -\frac{1}{r^2} \frac{d}{dr} (r\omega)^2 = 0 \Rightarrow Ca = \text{costante}$ con r

Quindi:

- $Ca_1 = \text{costante}$ con r supponendo opportunamente
- $Ca_2 = \text{costante}$ con $r \rightarrow$ le scelte è possibile fare in modo che $Ca_1 = Ca_2 = Ca$

Indicando allora come variano i triangoli di velocità al variare del raggio:

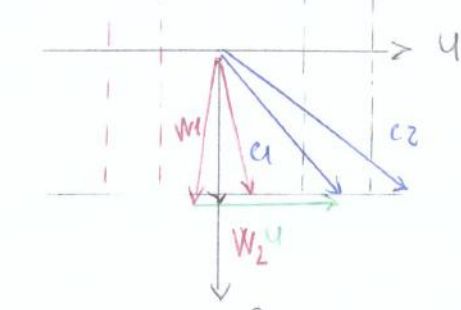
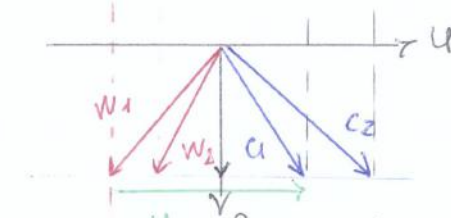
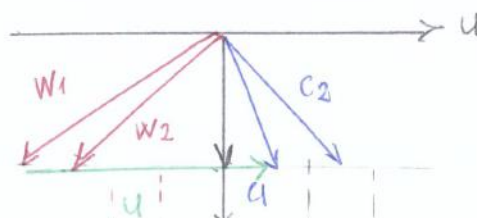
tip (1)



mean (0.75)



mb (0.5)



osserviamo che le variazioni di w_1, w_2 derivano sia da variazione di c_1, c_2 , sia da variazioni di u , per questo sono più evidenti le variazioni di r .

Poiché $r\omega = \text{cost}$

e r aumenta, ω deve diminuire. Affinché Li sia costante con r , deve aumentare u , perché ω è diminuita. Infatti aumenta perché $u = \omega \cdot r$

Supponiamo che al raggio medio i triangoli di velocità siano simmetrici

Poiché $r\omega = \text{cost}$ e r diminuisce ω aumenta.

Questo comporta una diminuzione di u (affinché Li sia costante, infatti u diminuisce perché $u = \omega \cdot r$)

AVVIAMENTO COMPRESSORI ASSIALI MULTISTADIO

Per avviamento del compressore, intendiamo l'istante iniziale delle condizioni fluidodinamiche di progetto e non ci riferiamo quindi all'avviamento meccanico.

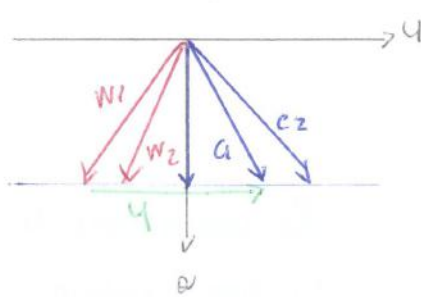
Assumiamo che l'avviamento meccanico sia già avvenuto, cioè che gli stessi motore già con la velocità ω di progetto, mentre quello fluidodinamico ancora no.

In questo caso:

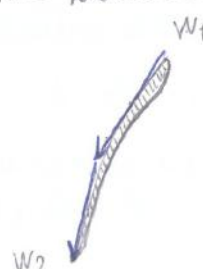
$m < m_p$, la portata non ha raggiunto quelle di progetto

$$\omega = \omega_p$$

Indiamoci allora di vedere come si modificano i triangoli di velocità all'avviamento, supponendo tutti gli stadi identici e considerando, per semplicità, triangoli di velocità simmetrici al raggio medio.



Del triangolo di velocità, le palette del nostro percorso:



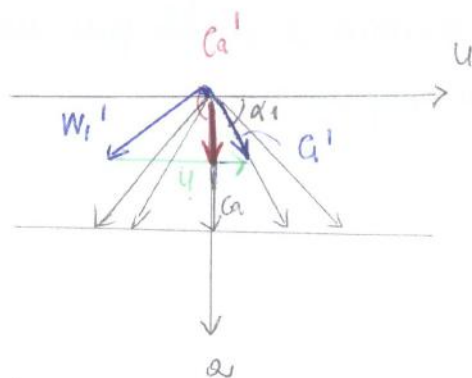
Analizziamo cosa accade nei vari stadi, ricordando che:

$$\begin{cases} \dot{m} = \rho C_a A \\ \dot{m}_p = \rho_p C_{a_p} A \end{cases} \quad \left. \begin{array}{l} \dot{m} < \dot{m}_p \text{ all'avviamento} \\ \dot{m} = \rho C_a A \end{array} \right\}$$

PRIMO STADIO (e successivi)

$$\begin{cases} \dot{m} < \dot{m}_p \\ \rho = \rho_{amb} = \rho_p \end{cases} \Rightarrow C_a < C_{a_p}$$

La direzione di C_a non cambia, α_1 è intorno a 100° / 15°



SOLUZIONI (di solito usate contemporaneamente)

1) USO DI PALE A CALETTAMENTO VARIABILE

In questo modo è possibile variare l'inclinazione di c_1 per ottenere l'eccellente inclinazione di W_1 .

Del punto di vista meccanico, è difficile ruotare le pale rotanti, poiché sono collegate al tamburo, per questo si fa ruotare le pale stazionarie.

Questa soluzione comporta un aumento di peso delle macchine.

Per esempio, nel 1° stadio:

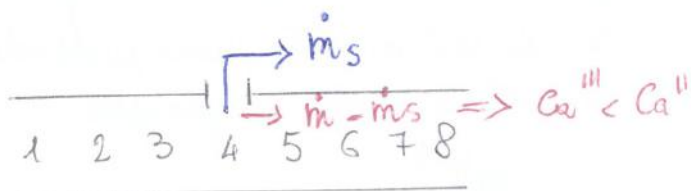


Diminuendo α_1
spostiamo più
a destra W_1 .

Un ragionamento analogo vale per gli ultimi stadi.

2) SPILLAMENTO D'ARIA

Se le portate negli ultimi stadi sono state sue C_a troppo elevate, arriviamo a metà del compressore una portata che spieghi una portata totale. In questo caso evitiamo un eccessivo aumento di C_a , che comporta una eccessiva inclinazione di W_1 .



3) COMPRESSORE MULTIALBERO

Invece di avere tutti gli stadi solidali allo stesso albero, li separiamo, li spostiamo su due (o più) alberi concentrici.

- ALBERO A BASSA PRESSIONE → usato se primi stadi
- ALBERO AD ALTA PRESSIONE → usato negli ultimi stadi.

COMPRESSORI TRANSONICI

I compressori transonici mantengono nelle fessure dei compressori ormai.

Tale termine sta sol indicare che una parte delle pale lavora in regime subsonico, mentre il tip lavora a numeri di Mach abbondantemente super l'unità.

Quel'è il vantaggio di tali macchine? A cosa è servito allora limitare il M_{REL} nel corso del compressore ormai?

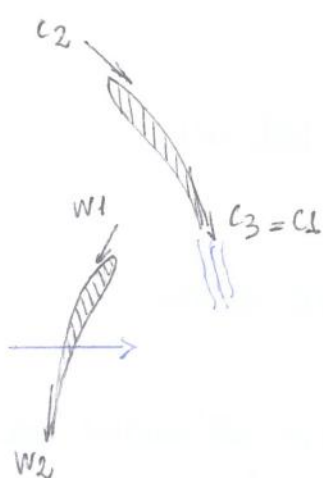
In realtà in un compressore ormai avviene tutto a posto che s'è messo al posto giusto e se ne conservano le caratteristiche. Ovviamente, lavorare con $M > M_{max} \approx 0.8$ offre il vantaggio di poter ottenere rapporti di compressione maggiori.

Sfincere l'urto offre caratteristiche prevedibili, ovvero avere un flusso pulito, senza vortici né seie.

Già è dunque possibile solamente nel 1° stadio.

Perché?

Consideriamo, ad esempio, il secondo o il terzo stadio:

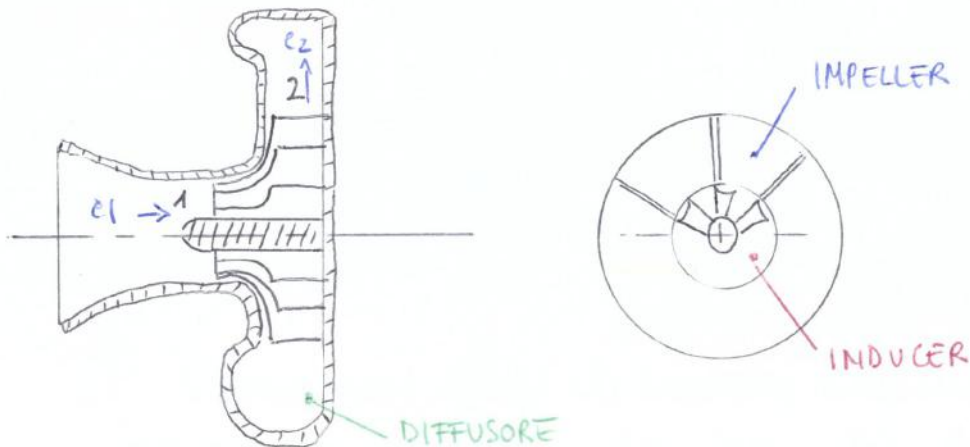


Risulta, il rotore è disturbato dalla scia prodotta dalle pale statiche dello stadio precedente.
Ciò rende difficile prevedere dove s'è l'urto.

Quunque, lo stadio transonico è generalmente sostituito nel 1° stadio, dove il flusso è pulito.

Esso è formato da pale POCO INCLINATE, PRATICAMENTE Dritte, con bordo d'attacco appuntito (soluzione migliore per flussi supersonici).

TURBOCOMPRESSORE CENTRIFUGO



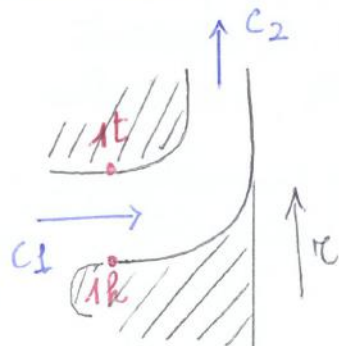
Il turbocompressore centrifugo è costituito da un raggiatore radiale e un iniettore radiale.

È composto da una parte rotante, la GIRANTE, e da una parte fissa, il DIFFUSORE.

La girante è suddivisa in:

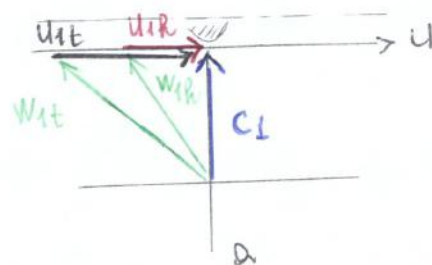
- INDUCER, la parte di raggio del fluido
- IMPELLER, la parte su cui il fluido viene compresso

INDUCER



In questo caso, non possiamo trascurare l'altezza delle pale, per cui avremo triangoli di velocità differenti tra hub e tip.

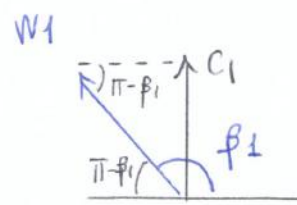
$$\bar{C} = \bar{W} + \bar{U}$$



Quindi:

$$c_p = 1 - \left(\frac{w_1}{w_1} \right)^2$$

Poiché abbiamo considerato $w_1 = c_1$,



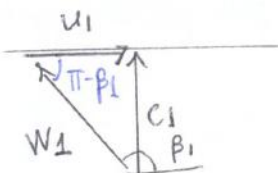
$$w_1 = c_1 = w_1 \sin \beta_1 \rightarrow c_p = 1 - \sin^2 \beta_1 \rightarrow 1 - \sin^2 \beta_1 = 0.5 \rightarrow \beta_1 = 135^\circ$$

w1 al massimale $\rightarrow \beta_{1,\min} = 90^\circ \leftarrow \beta_1 < 90^\circ$

Ciò implica che w_1 non deve essere troppo inclinato rispetto a c_1 .

Inoltre:

$$c_1 = u_1 \tan(\pi - \beta_1) = -u_1 \tan \beta_1$$



$$\frac{c_1}{u_1} = |\tan \beta_1|$$

la limitazione del c_p limita il rapporto $\frac{c_1}{u_1}$.

Queste considerazioni hanno quindi un impatto sulle velocità di rotazione del compresse e sulle sue dimensioni.

Infatti:

$$\begin{cases} u = \omega \frac{D}{2} \\ m = \rho c_1 \pi \frac{D^2}{4} \left(1 - \left(\frac{r_h}{r_t} \right)^2 \right) \end{cases}$$

- le velocità angolare e le portate dipendono da c_1, u, D .
- assegnando m , abbiamo una relazione tra c_1 e D
- Fissando $c_p = c_{p,\max} = 0.5$

$$\begin{cases} \Rightarrow \beta_1 = 135^\circ \\ \Rightarrow c_1 \text{ e } u \text{ sono uguali} \end{cases}$$

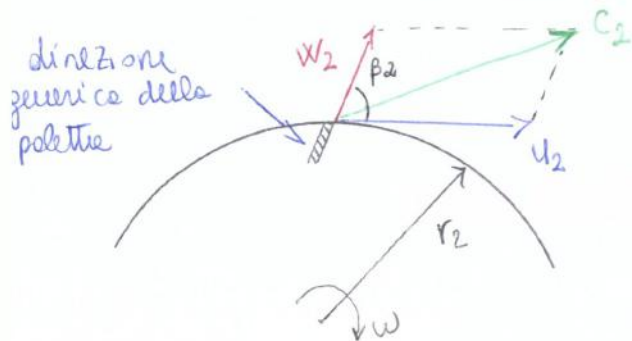
Fissando il valore massimo

di M_{REL} , limitiamo sia c_1 che u , perché sono uguali. ($w_1 = \sqrt{c_1^2 + u_1^2}$)

Poiché esiste una relazione tra c_1 e D che fissa il valore del diametro, anche w verrà limitato.

Assegnato il valore di m , c'è un'unica combinazione w, D che va bene per tale portata.

Periamo a disegnare il triangolo di velocità in uscita:



$$\bar{c}_2 = \bar{w}_2 + \bar{u}_2$$

con \bar{w}_2 parallelo al bordo di fuga delle pale

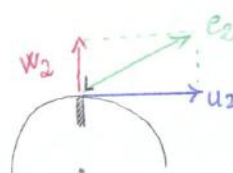
Osserviamo che in questo caso poniamo avere tre differenti pale contrattive:

① PALE RADIALI

$$\beta_2 = 90^\circ$$

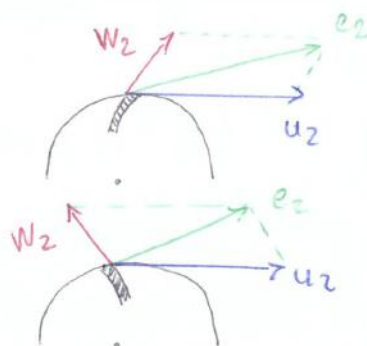
② PALE IN AVANTI

$$\beta_2 < 90^\circ$$



③ PALE ALL'INDIETRO

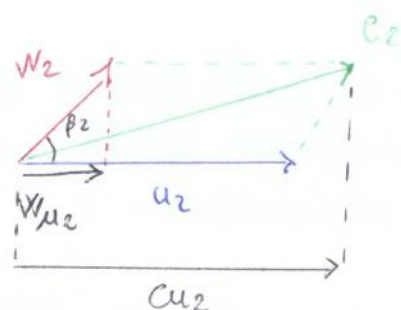
$$\beta_2 > 90^\circ$$



Prima di copiare quale delle tre è la soluzione migliore, ricaviamo l'espressione del lavoro:

$$\text{SENZA PREGIRANTE} \rightarrow L_c = u_2 c_{u2}$$

$$\begin{aligned} w_{u2} &= w_2 \cos \beta_2 \\ w_{r2} &= w_2 \sin \beta_2 \end{aligned} \rightarrow w_{u2} = w_{r2} \cot \beta_2$$



$$c_{u2} = w_{u2} + u_2 = w_{r2} \cot \beta_2 + u_2$$

Allora:

$$L_c = u_2 (w_{r2} \cot \beta_2 + u_2) = u_2^2 \left(1 + \frac{w_{r2}}{u_2} \cot \beta_2 \right)$$

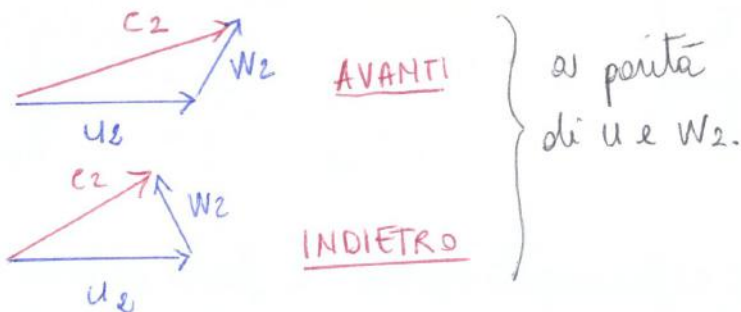
$$\text{Definendo } \varphi = \frac{w_{r2}}{u_2} \text{ e } \psi = \frac{L_c}{u_2^2}, \Rightarrow \boxed{\psi = 2(1 + \varphi \cot \beta_2)}$$

Che tipo di pale avranno soltanto?

A primo approssimato, sembrerebbe conveniente soltanto le pale in avanti, poiché sono in grado di fornire ψ più elevati.

In realtà però esse aumentano le c_2 , rendendo problematica la realizzazione del diffusore.

Infatti, lo scopo del diffusore è proprio rallentare le c_2 . Meglio però tali valori, maggiori saranno le dimensioni del diffusore, più elevate saranno le perdite, soprattutto se c_2 diventa supersonica.



Per questo, si adottano:

- 1) PALE RADIALI, se si privilegia la facilità costruttiva e il basso costo
- 2) PALE ALL'INDIETRO, se invece si preferiscono costi e prestazioni più elevate.

Consideriamo pale radiali:

$$c_{u_2} = u_2 \Rightarrow L_e = u_2^2$$

$$\text{Se } u \text{ fissa } u = 500 \text{ m/s} \Rightarrow L_e = u_2^2 = 250 \text{ kJ/kg}$$

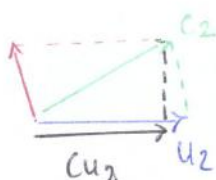
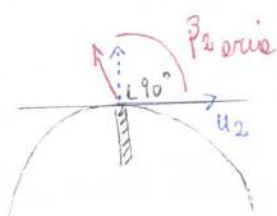
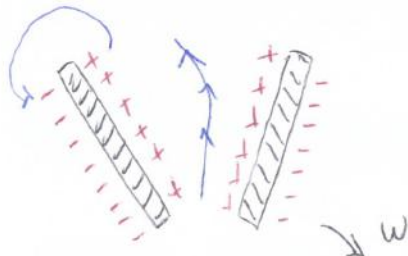
Per una compressione normale si avrà $L_e \approx 30-40 \text{ kJ/kg}$

Concentriamoci ora nello studio dell'IMPELLER, considerando per semplicità sempre pale radiali.

mentre di riferimento rotante, si osserva che è un aumento di pressione corrisponde una diminuzione delle velocità, che perciò sarà un andamento opposto ad ω .

Dove le palette fanno, però, l'onda di pressione nei vortici che annulla il gradiente di pressione.

esso quindi comincerà a diminuire da un certo segnale in poi



A questo punto, la forza di Coriolis non è più equilibrata e le particelle tende ad avere un BACK-SLIP

$$\Rightarrow \beta_2 \text{ oria} > \beta_2 \text{ palette}$$

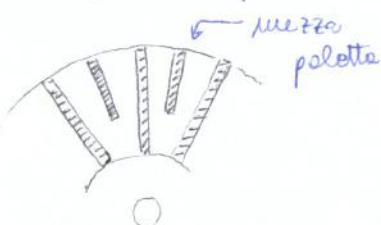
Se $\beta_2 \text{ palette} = 90^\circ$ (RADIALI) $\Rightarrow c_{u_2} < u_2$

$$\text{e } c_{u_2} = (1 - K_b) u_2$$

coff. di back-slip

È possibile diminuire il back-slip aumentando il numero di palette dell'impeller. In questo modo si creerà un minore gradiente di pressione.

Per fare ciò, a volte si installano delle metà palette che non sarebbe possibile alle alzature e partite delle borse.



Un altro problema legato alla creazione di tale gradiente di pressione, è la possibilità di rotolo al tip. Le particelle con pressione riferita alla pressione media, nell'ultimo tratto devono comprimersi per tornare alle pressioni più elevate. Se l'energia cinetica dello strato limite non è sufficiente a garantire il giudizio di pressione, potrebbe verificarsi lo rotolo.

$$1) \quad \mu_2 c_2 \sin \alpha_2 = \mu_3 c_3 \sin \alpha_3 \Rightarrow \boxed{\mu c \sin \alpha = \text{cost}}$$

$$2) \quad \mu_2 c_2 \cos \alpha_2 = \mu_3 c_3 \cos \alpha_3 \Rightarrow \boxed{\mu c \cos \alpha = \text{cost}'}$$

In questo caso particolare, le particelle formano con la direzione di un angolo α costante

$$\boxed{\tan \alpha = \text{cost}}$$

SPIRALE LOGARITMICA

$$\text{Se } \tan \alpha = \text{cost} \Rightarrow \mu_2 c_2 = \mu_3 c_3$$

$$\alpha = \text{cost}$$

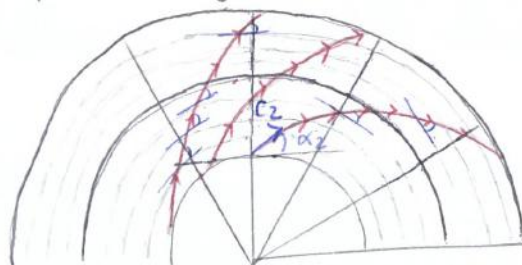
$$\boxed{\frac{\mu_3}{\mu_2} = \frac{c_2}{c_3}}$$

proporzionalità inversa tra raggio e velocità.

Questo vuol dire che per portare le c_3 da 200 m/s partendo da una c_2 di 400 m/s, il raggio dell'diffusore dovrebbe essere il doppio rispetto a quello delle girette.

\Rightarrow avere una c_2 troppo elevata comporta un risparmio di raggio.

La traiettoria seguita delle particelle in assenza di palettature, sarebbe una spirale logaritmica:



DIFFUSORE PALETTATO

In questo frutto, vale la conservazione delle portate:

$$\dot{m}_3 = \dot{m}_4 \rightarrow \rho_3 c_3 \sin \alpha_3 \cdot 2\pi r_3 h_3 = \rho_4 c_4 \sin \alpha_4 \cdot 2\pi r_4 h_4$$

$$\boxed{\frac{\mu_4}{\mu_3} = \frac{c_3}{c_4} \cdot \frac{\sin \alpha_3}{\sin \alpha_4} \cdot \frac{\rho_3 h_3}{\rho_4 h_4}}$$

ESERCITAZIONE 2

① Sia dato il seguente studio di una turbomacchina axiale.



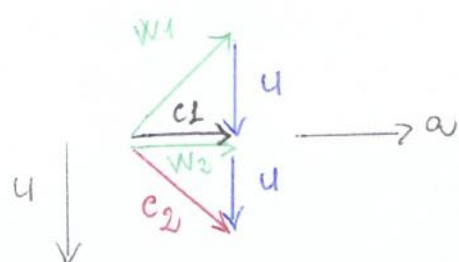
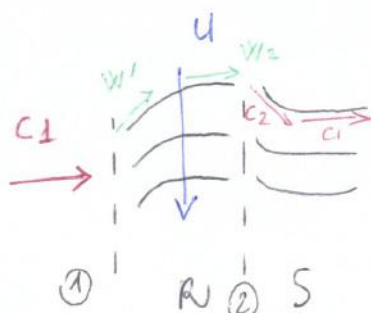
ROTORE STATORE

CASO 1

{ Rotazione motore: \downarrow
Direzione del flusso \rightarrow

TRIANGolo VELOCITÀ

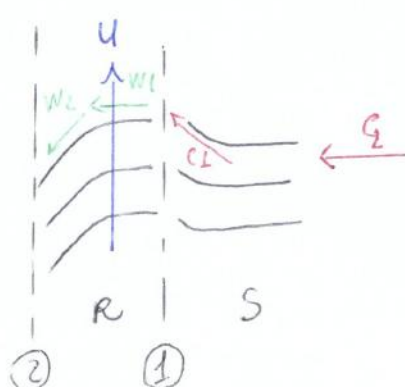
$$\bar{c} = \bar{w} + \bar{u}$$



In questo caso $c_{u2} > c_{u1}$

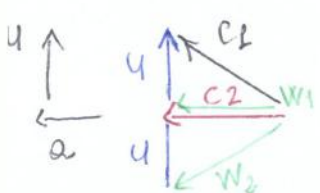
\hookrightarrow COMPRESSORE, poiché $L_c = u (c_{u2} - c_{u1})$

In un compressore $L_c > 0 \rightarrow c_{u2} > c_{u1}$



CASO 2

{ Rotazione motore \uparrow
Direzione flusso \leftarrow



In questo caso $c_{u2} = 0, c_{u1} > 0 \rightarrow c_{u1} > c_{u2}$
 \hookrightarrow TURBINA

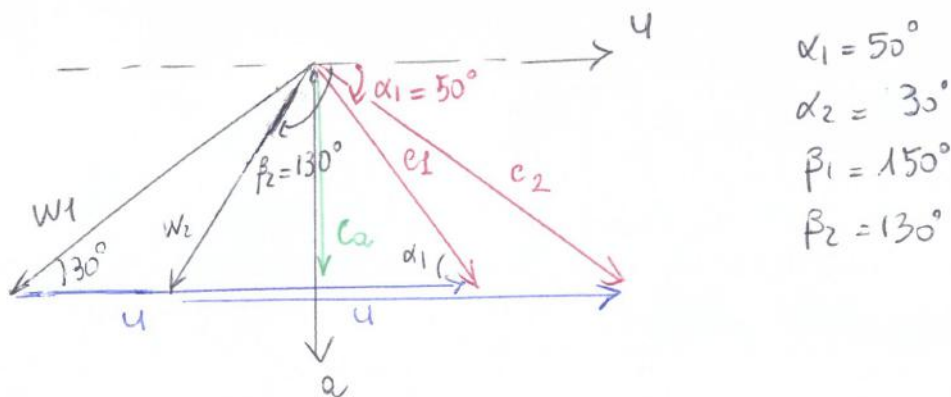
$$M_0 = 0,363 \rightarrow f(M_0) = \frac{\sqrt{\gamma} M_0}{\left(1 + \frac{\gamma-1}{2} M_0^2\right)^{\frac{1+1}{2(\gamma-1)}}} = 0,403$$

Perciò:

$$\dot{m} = 17,78 \text{ kg/s}$$

$$\dot{P} = \dot{m} L_e$$

Calcoliamo L_e dal triangolo di velocità:



$$L_e = u (c_{u2} - c_{u1})$$

$$\left. \begin{array}{l} c_{u1} = c_1 \cos \alpha_1 \\ c_{a1} = c_1 \sin \alpha_1 \end{array} \right\} \rightarrow c_{u1} = c_{a1} \cot \alpha_1 = \frac{c_{a1}}{\tan \alpha_1} = \frac{c_a}{\tan \alpha_1}$$

$$c_{u2} = w_{u2} + u$$

$$w_{u2} = w_2 \sin(90 - \beta_2) = w_2 \cos \beta_2 = c_{a2} \tan(90 - \beta_2) = c_a \cot \beta_2 = \frac{c_a}{\tan \beta_2}$$

$$c_{u2} = \frac{c_a}{\tan \beta_2} + u$$

$$\Rightarrow L_e = u \left(\frac{c_a}{\tan \alpha_1} + u - \frac{c_a}{\tan \beta_2} \right) \quad \text{In questo caso} \quad \alpha_1 + \beta_2 = \pi$$

$$\tan \beta_2 = - \tan \alpha_1$$

$$\Rightarrow L_e = u \left(u - 2 \frac{c_a}{u} \cdot \frac{1}{\tan \alpha_1} \right)$$

Sappiamo che $\varphi = c_a/u$

Porehé:

$$u = u_{\infty} - w_{\mu 1} = \frac{c_a}{\tan \alpha_1} - \frac{c_a}{\tan \alpha_2} = 321,39 \text{ m/s}$$

$$\Rightarrow \varphi = \frac{c_a}{u} = 0,3883$$

$$\Rightarrow L_c = u \left(u - 2 \varphi \cdot \frac{1}{\tan \alpha_1} \right) = 35,87 \text{ kJ/kg}$$

Quindi:

$$P = L_c \cdot \dot{m} = 637,7 \text{ kW}$$

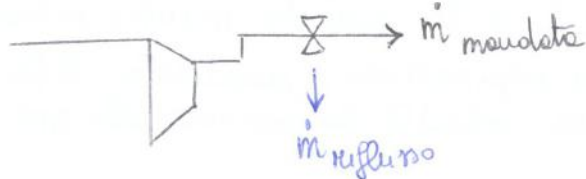
Quanto vale il β_c ?

$$L_c = \frac{1}{m_c} c_p T_1^{\circ} \left(\beta_c^{\frac{\gamma-1}{\gamma}} - 1 \right) \rightarrow \beta_c = \left(1 + \frac{\gamma_c L_c}{c_p T_0^{\circ}} \right)^{\frac{1}{\gamma-1}} = 1,433$$

REGOLAZIONE INDUSTRIALE

1) REGOLAZIONE PER RIFLUSSO

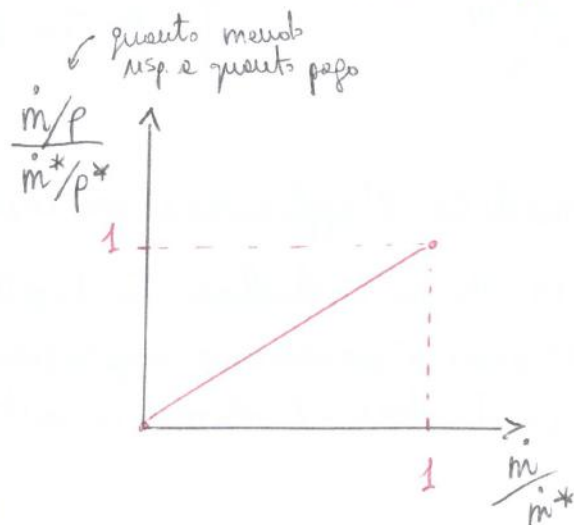
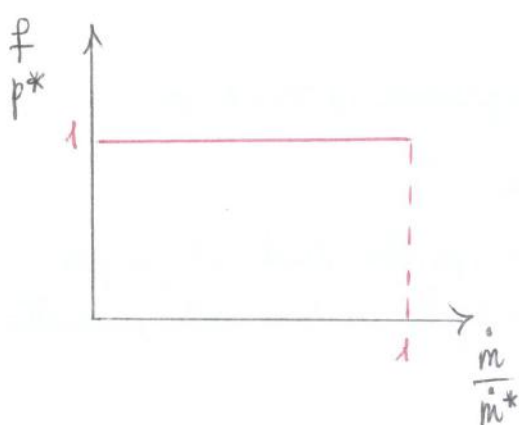
In questo caso, le portate che non è necessario viene fatta defluire attraverso una valvola.



La potenza consumata è la stessa di progetto.

Indicando con "*" i valori di progetto:

$$\begin{cases} \dot{m} < \dot{m}^* \\ P = P^* \end{cases} \quad (L_c = L_c^*)$$



2) TUTTO O NIENTE

Tale tipo di regolazione richiede un serbatoio.

In questo caso, si agisce sul tempo di funzionamento del compressore.

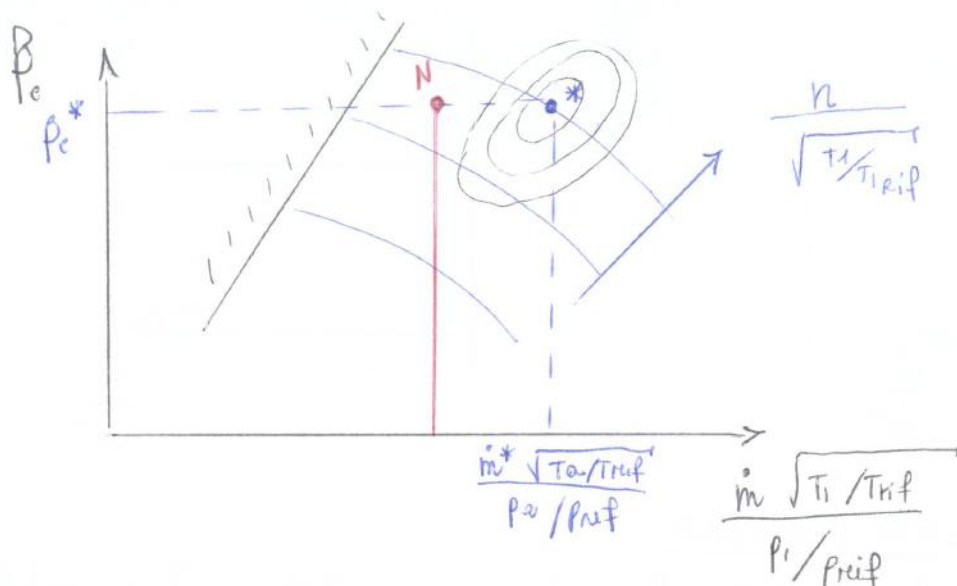
Si tiene acceso per un tempo t_{acceso} proporzionale alle portate richieste, restando completamente per un tempo prop. alle differenze tra \dot{m} ed \dot{m}^* .

$$\dot{m} t = \dot{m}^* t_{\text{acceso}}, \text{ con } t_{\text{acceso}} \text{ tale che } \frac{t_{\text{acceso}}}{t} = \frac{\dot{m}}{\dot{m}^*}$$

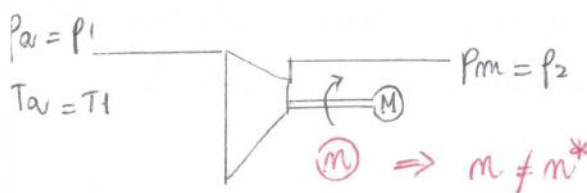
tempo funzionamento macchina

Se $\dot{m}^* = 10 \text{ kg/s}$ e ho bisogno di $\dot{m} = 2 \text{ kg/s}$, supponendo che ho macchine in funzione per 60 s, allora $t_{\text{acceso}} = 12 \text{ s}$ e $t_{\text{spento}} = 48 \text{ s}$

④ VARIAZIONE DEL NUMERO DI GIRI



altro modo di servirsi
giri corretti e portate
corrette. \$f^*\$ e \$D\$
sono perciò perciò
corrette



Dove finisce il punto di funzionamento, conoscendo la nuova \$\dot{m}\$?

$$- \dot{m}_c = \frac{\dot{m} \sqrt{T_a/T_{1rif}}}{P_a/P_{1rif}}$$

poiché \$T_a, P_a\$ non cambiano:

$$- \beta_e = \frac{f_2}{P_1} = \frac{P_{mn}}{P_a} = f_e^*$$

$\frac{\dot{m}_e}{\dot{m}_c^*} = \frac{\dot{m}}{\dot{m}^*}$ se le portate scende all'80%
del valore iniziale, fanno lo
stesso le portate corrette.

se il rendimento non varia, il lavoro di comprensione sarebbe lo stesso,
ovvero $L_c = \frac{1}{\eta_c} \dot{m}_c T_1 (f_e^{\frac{H}{2}} - 1)$

in situazione reale, però, si ha un peggioramento del rendimento, poiché
generalmente il punto di progetto è quello a massimo rendimento.
 $\Rightarrow L_c > L_c^*$

In questo caso abbiamo un problema: le portate corrette dipende da f_1 , che però non conosciamo, poiché non sappiamo a priori di quanto ridurre le pressioni per giungere alle nuove portate, inferiore a quelle di progetto.

Per questo, calcoliamo:

$$\frac{\beta_{cA}}{\dot{m}_{icA}} = \frac{\frac{p_m}{p_1} \cdot \frac{p_1}{p_{a1}}}{\dot{m} \sqrt{\frac{T_a}{T_{a,ref}} \cdot \frac{p_1}{p_{a1}}}} = \frac{p_m / p_a}{\dot{m} \sqrt{\frac{T_a}{T_{a,ref}}}} = \frac{\beta_{cN}}{\dot{m}_{icN}}$$

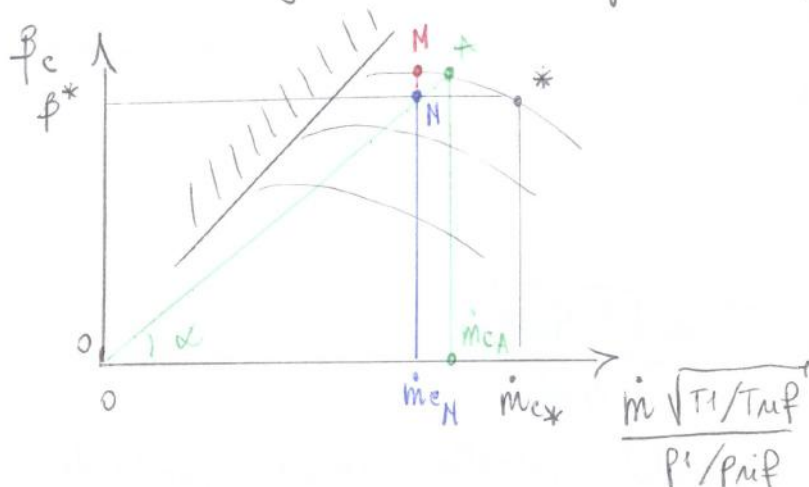
Ossewanah ehe:

$$\tan \alpha = \frac{p_e}{m_e} \Rightarrow \tan \alpha_A = \tan \alpha_N \Rightarrow \boxed{\alpha_A = \alpha_N}$$

i due punti
di funzionamento
si trovano sulle
stesse rette percep-
te per l'origine

$$\text{Sepenuh che: } n_{cA} = n_c^*$$

possiamo disegnare il nuovo punto di funzionamento:



È possibile di portare, cambia il valore delle portate corrette, poiché per le minime se rispetto agli altri due casi.

È possibile di riduzione delle portate, chiuderemo meno le valvole all'espansione rispetto che esse prevedono.

Avuto perché all'ospedale mi combinano due effetti:

aumento del f_c , chiediamo di più al compressore \rightarrow diminuzione in variazione di densità, perché varia molto per il fluido sottile $\Rightarrow m \downarrow$

espressione è presente per le mot. pl.

Per punto A, ha un corrispondente punto N con le stesse portate e questi due punti giacciono sulle stesse rette.

osserviamo che anche in questo caso, le variaz. del m^o di giri rappresenta la regolazione, poiché portano diminuzione di p_e più le portate prime di sorvano il propagg.

Ricordiamo che le regolazioni aerodinamiche si ottiene ai compressori utilizzati per la sovralimentazione di motori alternativi.

Esistono due differenti tecniche di sovralimentazione, le cui corrispondono differenti metodi di regolazione.

- SOVRALIMENTAZIONE A COMANDO MECCANICO, nelle quale il motore fornisce il lavoro necessario al compressore.

In questo caso, le tecniche di regolazione sono:

- regolazione per variazione del m^o di giri
- la mimesione alle maniglie
- la mimesione all'aspersione

- SOVRALIMENTAZIONE CON TURBINA A GAS DI SCARICO, nelle quale il compressore è alimentato da una turbina nelle quale si espandono i gas di scarico.

In questo caso, la regolazione consiste in:

- variazione del m^o di giri

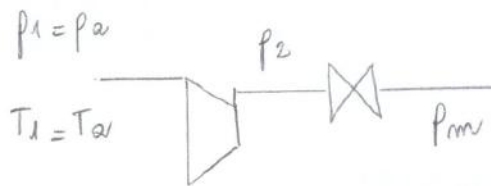
abbiamo quindi le tecniche di regolazione del corso industriale, ma con differenti condizioni di contorno.

In questo caso, infatti, $\rightarrow \begin{cases} \dot{m} = \text{costante} \\ p_m = \text{costante} \end{cases} \quad \begin{cases} p_e \\ T_e \end{cases} \text{ variabili}$

In motore, infatti, è progettato ad una guida di sovralimentato, alle quali corrispondono determinati valori p_e^* , T_e^* . Quando la guida scende al di sotto di quelle di sovralimentato:

$$z < z^* \rightarrow p_e > p_e^* \Rightarrow \text{se non regoliamo } p_m > p_m^* \Rightarrow \frac{\text{DANNI A L}}{\text{MOTORE}}$$

② LAMINAZIONE ALLA MANDATA



In questo caso:

$$\dot{m}_{cM} = \frac{\dot{m} \sqrt{T_a/T_{Nf}}}{p_2/p_{Nf}} = \dot{m}_{cN}$$

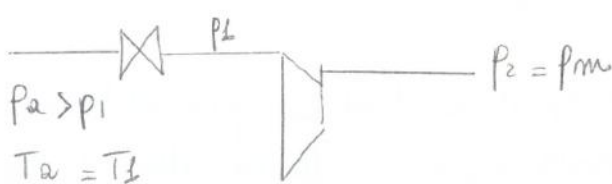
$$n_{cM} = \frac{n^*}{\sqrt{T_a/T_{Nf}}} \cdot \frac{\sqrt{\frac{T_a^*}{T_a}}}{\sqrt{\frac{T_a^*}{T_a}}} = n_c^* \sqrt{\frac{\frac{T_a^*}{T_a}}{<1}}$$

i giri corretti si riducono un po' per effetto dell'aumento di T_a .

Tale tipo di regolazione non va effettuato bene, per due motivi:

- il f_e si aumenta e numero giri rispetto a quello di progetto. Comunque non diminuisce di certo come per la regolazione per variazione del numero di giri. Elevati f_e significano lavoro elevato, che non vogliamo.
- in questo modo, ci si avvicina alla linea di pompa fermo.

③ LAMINAZIONE ALL'ASPIRAZIONE



In questo caso:

$$n_{cA} = \frac{n^*}{\sqrt{T_a/T_{Nf}}} = n_{cM}$$

$$\cdot \operatorname{tg} \alpha_A = \frac{p_m/p_1}{\dot{m} \sqrt{T_a/T_{Nf}}} \cdot \frac{p_1}{p_a} = \operatorname{tg} \alpha_N$$

Tale regolazione va meglio dello acciunzione alla mandata, anche se le migliore anche in questo caso è la variazione del numero di giri

Introduciamo allora dei parametri polidimensionali che esistono nelle sezioni delle guida meccaniche:

$$\Psi = \frac{\frac{\dot{m}}{PA}}{\omega r} \propto \frac{\left(\frac{\dot{m}}{P}\right)}{\frac{\omega D^3}{2}} = \frac{Q}{\omega D^3} \quad \text{con } Q \text{ portato in volume}$$

$$\Psi = \frac{L_c}{\frac{u^2}{2}} \propto \frac{L_c}{(\omega D)^2}$$

Facciamo sparire D :

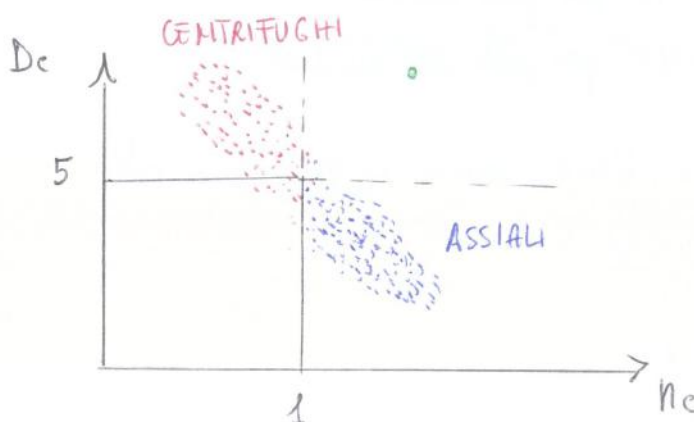
$$\left(\frac{\Psi^2}{\Psi^3}\right)^{1/4} = \frac{\omega Q}{L^{3/4}} \quad \boxed{\text{N° GIRI CARATTERISTICO}}$$

$\left\{ \begin{array}{l} \bullet > 1 \rightarrow \text{compressione omiale} \\ \bullet < 1 \rightarrow \text{compressione centrifugo} \\ \bullet \ll 1 \rightarrow \text{compressione volumetrica} \end{array} \right.$

Facciamo sparire ω :

$$\left(\frac{\Psi}{\Psi^2}\right)^{1/4} = \frac{D L_c}{Q^{1/2}} \quad \boxed{\text{DIAMETRO CARATTERISTICO}}$$

$\left\{ \begin{array}{l} \bullet < 5 \rightarrow \text{compressione omiale} \\ \bullet > 5 \rightarrow \text{compressione centrifugo} \end{array} \right.$



Se calcolando tali valori si trova un punto molto distante dalle regioni in cui è possibile scegliere quale compressore usare (punti verdi in figura); si divide la macchina in più stadi e le portate in più macchine

ESERCITAZIONE 3 - REGOLAZIONE COMPRESSORI

① REGOLAZIONE INDUSTRIALE

Condizioni di progetto:

$$n = n_0$$

$$T_a = T_0 = 288 \text{ K}$$

$$p_a = p_0 = 1 \text{ bar}$$

$$\dot{m} = \dot{m}_0 = 0,35 \text{ kg/s}$$

$$\eta_m = 0,95 \text{ (rendimento meccanico)}$$

Determinare il lavoro meccanico L_c e la potenza P_{mot} nelle condizioni di progetto.

$$L_c = c_p (T_2 - T_1)$$

In questo caso:
$$\left\{ \begin{array}{l} \frac{\dot{m}}{\dot{m}_0} \sqrt{\frac{T_2}{T_0}} = 1 \\ n/n_0 / \sqrt{\frac{T_2}{T_0}} = 1 \end{array} \right.$$

della mappa del compressore:

$$\beta_c = 2,67$$

$$\eta_{ye} = 0,87$$

Allora:

Mi ricordiamo che, poniamo che la compressione avvenga attraverso una politropica $p v^m = \text{cost}$

$$\Rightarrow \frac{T_2}{T_1} = \left(\frac{p_2}{p_1} \right)^{\frac{m-1}{m}}$$

Definendo il rendimento volumetrico $\eta_{ye} = \frac{L_c - L_w}{L_c}$, del 1° principio in forma mista:

$$L_c = \int_1^2 \dot{v} dp + \Delta E_{cgf} + L_w \rightarrow L_c - L_w = \frac{m}{m-1} RT_1 \left(\beta_c^{\frac{m-1}{m}} - 1 \right)$$

Ricordando che $c_p = \frac{R}{k-1} R$, poniamo perire:

Allora:

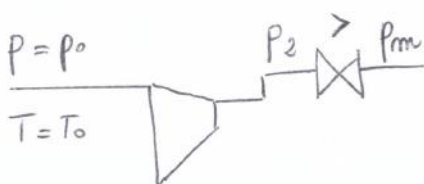
$$T_2 = T_1 \beta_c \frac{\gamma-1}{\gamma} \cdot \frac{1}{\gamma \gamma_c} = 410.8 \text{ K}$$

$$L_c = c_p (T_2 - T_1) = 123.4 \text{ kJ/kg}$$

$$P = \frac{\dot{m} L_c}{m} = 364 \text{ kW} < P_0$$

LAMINAZIONE ALLA MANDATA

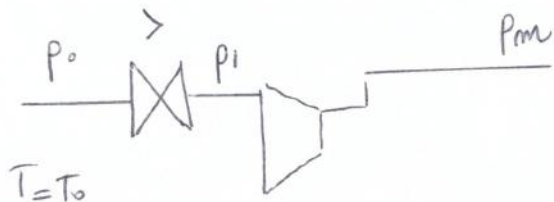
$$\dot{m}_{c_M} = \frac{\dot{m} \sqrt{T_0/T_0}}{m_0 (P_0/p_0)} = 0.8 = \dot{m}_{c_N}$$



$$n_c = n_{c_0} = \frac{n_0}{n_0} = 1$$

In questo caso si entra in pomaggio!

LAMINAZIONE ALL'ASPIRAZIONE



$$n_e = n_{c_0} = \frac{n_0}{n_0} \sqrt{\frac{T_0}{T_0}} = 1$$

$$t_g \alpha_A = \frac{\beta_A}{\dot{m}_{c_A}} = \frac{\frac{P_m}{P_1}}{\frac{\dot{m}}{m_0} \sqrt{\frac{T_0}{T_0}}} \quad \frac{\frac{P_1}{P_0}}{\frac{\dot{m}}{m_0}} = \frac{\frac{P_m}{P_0}}{\frac{\dot{m}}{m_0}} = \frac{\beta_N}{\dot{m}_{c_N}} = t_g \alpha_N$$

Dalle mappe $\beta_c = 2.81$

$$\gamma_{ye} = 0.78$$

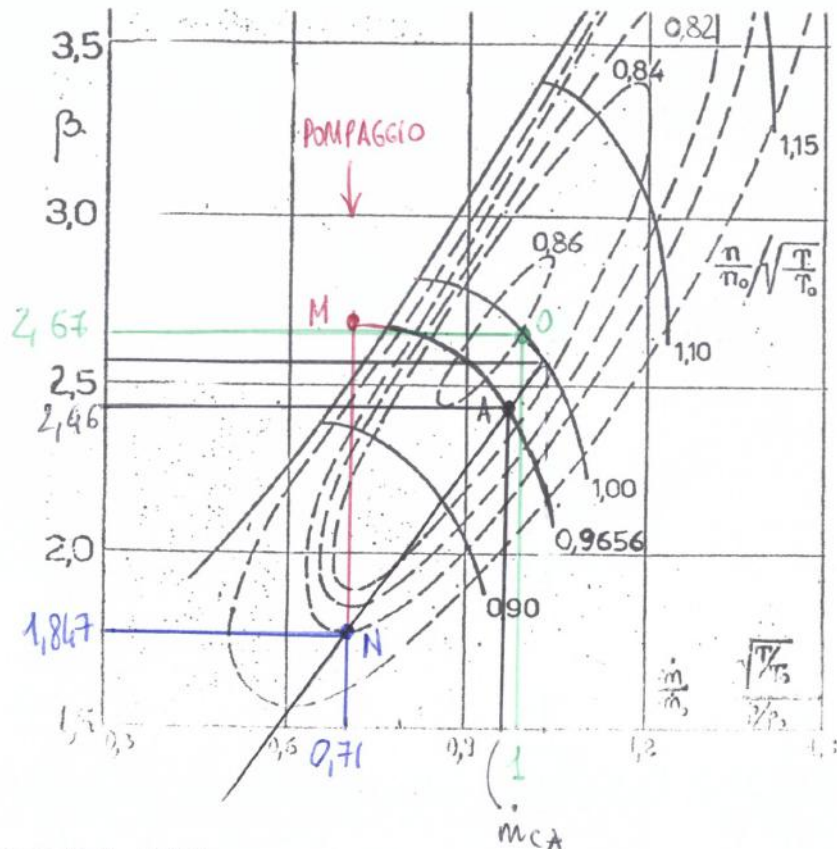
Allora:

$$T_2 = T_1 \beta_c \frac{\gamma-1}{\gamma} \cdot \frac{1}{\gamma \gamma_c} = 420.5 \text{ K}$$

$$L_c = c_p (T_2 - T_1) = 133.1 \text{ kJ/kg}$$

$$P = L_c \dot{m} = 39.2 \text{ kW}$$

REGOLAZIONE COMPRESSORI



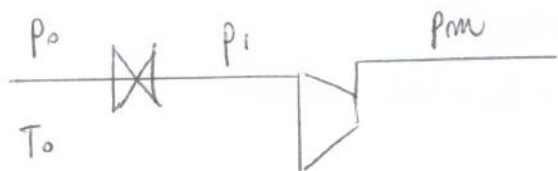
1. Regolazione "industriale"

Il compressore la cui caratteristica è riportata in figura funziona in condizioni di progetto con $n = n_0$, aspirando aria da un ambiente con $T_a = T_0 = 288$ K e $p_a = p_0 = 1$ bar. In queste condizioni la portata vale $\dot{m} = \dot{m}_0 = 0.35$ kg/s. Determinare il lavoro massico L_c e la potenza assorbita P assumendo un rendimento meccanico $\eta_m = 0.95$. Determinare inoltre il punto di funzionamento sulla caratteristica, il lavoro massico e la potenza assorbita quando la portata viene ridotta a $\dot{m} = 0.28$ kg/s per variazione del numero di giri, laminazione alla mandata e laminazione all'aspirazione (ammesso che il compressore non cada in pompaggio).

Regolazione "aeronautica"

Lo stesso compressore del caso precedente è utilizzato per sovralimentare un motore aeronautico adattato per una quota di 3000 m ($T_{za}/T_0 = 0.9323$, $p_{za}/p_0 = 0.6919$); il compressore funziona a $n = 0.9656 n_0$ con $\beta = 2.67$ (il punto di funzionamento è quindi lo stesso del caso precedente "a progetto"). Determinare la portata smaltita \dot{m} , il lavoro massico L_c e la potenza assorbita P (stesso η_m). Scendendo a quota 0 determinare il punto di funzionamento e la potenza assorbita regolando il compressore per variazione del numero di giri, laminazione alla mandata e laminazione all'aspirazione in modo da mantenere la portata e la pressione di mandata costanti.

LAMINAZIONE ALL'ASPIRAZIONE



$$\bullet \quad n_{c_A} = \frac{n^*/n_0}{\sqrt{T_0/T_0}} = 0,9656$$

$$\bullet \quad t_f \alpha_A = \frac{\beta_{cA}}{\dot{m}_{cA}} = \frac{\frac{p_m}{p_1}}{\frac{\dot{m}}{\dot{m}_0} \sqrt{\frac{T_0}{T_0}}} = \frac{\frac{p_1}{p_0}}{\frac{\dot{m}}{\dot{m}_0}} = \frac{\frac{p_m}{p_0}}{\dot{m}/\dot{m}_0} = \frac{\beta_{cN}}{\dot{m}_{cN}} = t_f \alpha_N$$

Delle mappa $\rightarrow \beta_{cA} = 2,46$

$$\eta_{ye} = 0,85$$

Allora:

$$T_2 = T_1 \beta_{cA} \frac{\eta_{ye}}{1} = 389.8 \text{ K}$$

$$L_e = c_p (T_2 - T_1) = 102.2 \text{ kJ/kg}$$

$$P = \dot{m} L_e = 26.3 \text{ kW}$$

$$L_i = 0 = \int_{1}^2 \cancel{dp} + \cancel{\frac{w_2^2 - w_1^2}{2}} - \cancel{\frac{u_2^2 - u_1^2}{2}} \rightarrow = 0$$

$$p_1 = p_2$$

$$u_1 = u_2$$

Allora:

$$|w_1| = |w_2|$$

Come fare in modo che nel notone $p = \text{cost}$?

Fare in modo che il condotto in cui passa il fluido sia sezione costante. Se l'area non cambia, trattandosi di un ugello, del punto di uscita solidale al notone, la pressione di riferimento è uguale a quelle di uscita e lo stesso vale per le velocità.

Per disegnare i triangoli di velocità, aggiungiamo anche l'ipotesi che $C_{a1} = C_{a2}$.

Quindi:

$$p_1 = p_2 \Rightarrow |w_1| = |w_2|$$

$$C_{a1} = C_{a2}$$

Assumiamo che:

$$w = \sqrt{w_r^2 + w_a^2 + w_u^2} = \sqrt{C_a^2 + w_u^2}$$

affinché $|w_1| = |w_2|$ deve essere:

• $w_{u1} = w_{u2} \rightarrow \text{NELLA MACCHINA NON SUCCIDE NIENTE, soluzione da puntare}$

$$-w_{u1} = +w_{u2}$$

$$\begin{cases} C_{u1} = u + w_{u1} \\ C_{u2} = u + w_{u2} \end{cases}$$

Assumiamo che $L_t = u(C_{u2} - C_{u1}) = u(w_{u1} - w_{u2}) > 0 \Rightarrow$

$$\begin{cases} w_{u1} > 0 \\ w_{u2} < 0 \end{cases}$$

Espansione del lavoro

Dal triangolo di velocità:

$$C_{u1} = C_1 \cos \alpha_1$$

$$C_{u2} = u + W_{u2}$$

$$W_{u2} = - W_{u1} = - (C_{u1} - u)$$

Perciò:

$$L_t = u \left[C_1 \cos \alpha_1 + C_{u1} - u - u \right] = u \left(2C_1 \cos \alpha_1 - 2u \right) = 2u \left(C_1 \cos \alpha_1 - u \right)$$

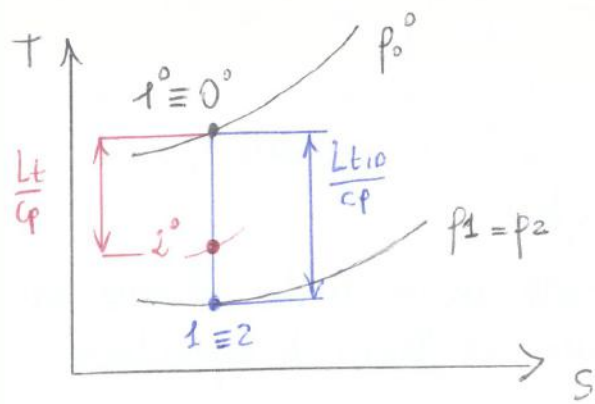
$$L_t = 2u (C_1 \cos \alpha_1 - u)$$

Quindi abbiamo visto, nello statore si trasformi pressione in energia cinetica, mentre nel rotore questa viene trasformata in lavoro.

Un errore nel caso ideale, però, non riusciamo a convertire tutta l'energia cinetica in lavoro, per il semplice fatto che quando il fluido esce dalla turbina avrà ancora una certa quantità di tale energia.

Dobbiamo allora valutare il rendimento, ovvero il rapporto tra lavoro sviluppato e lavoro ideale, che dobbiamo opportunamente definire.

Fallo attraverso un punto di vista TOTAL TO STATIC:

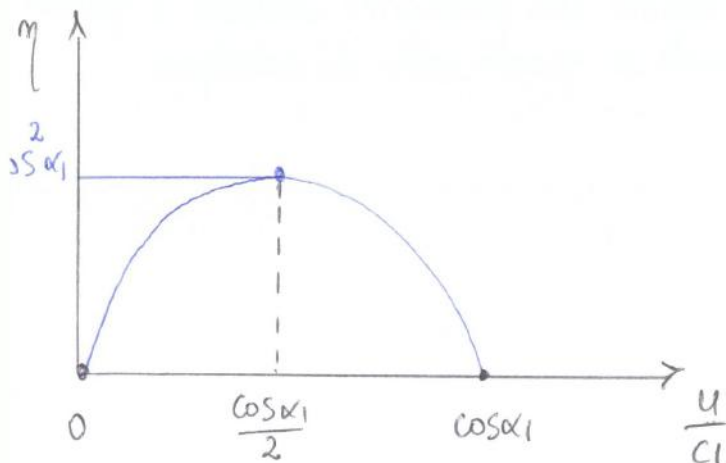


L'espansione inizia in un punto 0°, a cui corrisponde una temp. T_0 e una pressione p_0 . Ma perciò siamo interessati al punto 0°, non ci interessa il valore C_0 e T_0 , perché tanto il fluido poi viene fatto accelerare e avrà un certo p_1, C_1 .

La parte che ferma e espande fino a p_1, C_1 è che parte con una certa velocità e inizialmente nulla in p_0, C_0 ha termo-dinamica.

$$\eta = \frac{2u(c_1 \cos \alpha_1 - u)}{\frac{c_1^2}{2}} = 4 \frac{u}{c_1} \left(\cos \alpha_1 - \frac{u}{c_1} \right)$$

$$\eta = 4 \frac{u}{c_1} \left(\cos \alpha_1 - \frac{u}{c_1} \right)$$



Il rendimento massimo mi dà per:

$$\frac{u}{c_1} = \frac{\cos \alpha_1}{2}$$

Allora:

$$\eta_{\max} = \cos^2 \alpha_1$$

Allora:

$$L_t = 2u^2$$

perché $c_1 \cos \alpha_1 = 2u$

$$L_t = 2u (c_1 \cos \alpha_1 - u)$$

$$\eta_{\max} \rightarrow L_t = 2u^2$$

È evidente però che conviene avere α_1 piccolo ($20^\circ - 30^\circ$).

Non troppo, altrimenti le palette dello statorre tendono ad interferire l'una con l'altra, avendo i bordi di fuga troppo vicini.

Ossiamo subito però che in questo caso non ci sono problemi di η , perché il fluido espande, non comprime, né problemi sul numero di Mach, poiché, sebbene si verifichino urti, essi interagiscono con una inversione che di misura, perciò non sono pericolosi.

ci sono però limitazioni strutturali: se u è limitata dalla resistenza alle palette alla forza centrifuga.

$$\Rightarrow u_{\max} \approx 400 \text{ m/s} \Rightarrow L_t \approx 320 \text{ kJ/kg}$$

Le visioni sono allo stato volutissimo delle aerodinamiche. Perché $\eta_{\max} \Rightarrow \cos \alpha_1$?

perdite e potremmo pensare di utilizzare un punto di vista TOTAL TO TOTAL. In realtà anche in questo caso si richiede generalmente che $\mu_2 = 0$, perché è vero che mettendo a valle delle turbine un ugello recupera energia cinetica ma, se esse è in troppo late in un moto tangenziale, non ottengo apporto; poiché lo scopo di un ugello è accelerare il fluido in direzione oraria.

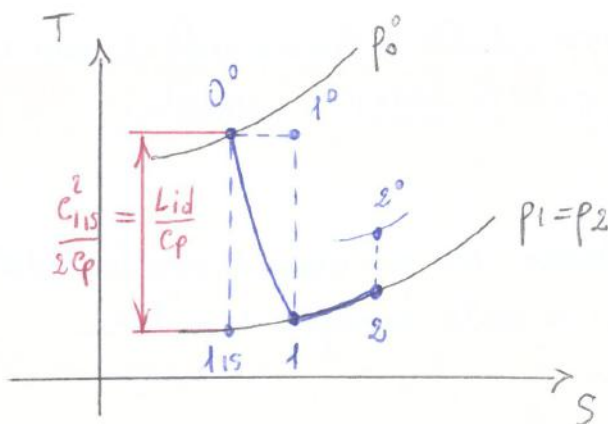
Quindi, il PUNTO DI VISTA TOTAL TO STATIC viene sostituito anche in questi casi?

FUNZIONAMENTO REALE ($L_w \neq 0$)

Per trattare il caso reale introduciamo dei coefficienti di perdite che riguardano lo statore e il rotore:

$$\varphi = \frac{c_1}{c_{1,id}} \quad c_{1,id} \text{ è quelle che avrei a parità di espansione da } p_0 \text{ a } p_1$$

$$\Psi = \frac{w_2}{w_{2,id}} = \frac{w_2}{w_1} \quad \text{non è più vero che la velocità è costante nel rotore, ma si riduce.}$$



Espansione del lavoro

$$C_{u1} = p_1 \cos \alpha_1$$

$$C_{u2} = -u - \underbrace{w_{u2}}_{-\Psi w_{u1}} = \Psi w_{u1} - u = \Psi (C_{u1} - u) - u$$

$$-t = u (C_{u1} - C_{u2}) = u [C_1 \cos \alpha_1 + \Psi (C_1 \cos \alpha_1 - u) - u] = (1 + \Psi) u (C_1 \cos \alpha_1 - u)$$

Le perdite nello statore fanno sì che il punto 1 si trovi a entropia maggiore rispetto al punto 1s.

Le perdite nel rotore, ugualmente, spostano il punto 2 più a destra del punto 1, pur pure nello stesso rotore, poiché $p_1 = p_2$, ma ci sono perdite.

In alcuni casi, quando si hanno espansioni molto grandi, è necessario avere turbine multistadio.

come organizziamo più stadi?

si parla di:

- TURBINE A SALTI DI VELOCITÀ
- TURBINE A SALTI DI PRESSIONE

TURBINE A SALTI DI PRESSIONE

sono composte da uno stadio in cui c'è espansione nello stator e inversione costante nel rotore, seguito da uno stadio analogo in cui c'è espansione in un altro stator e seguito da un altro rotore che ne esiglie il lavoro e così via, e secondo del numero di stadi.

In questo caso:

$$L_{TOT} = Z (2u^2)$$

↓

lavoro singolo stadio
per $\eta = \eta_{max}$

n° stadio
salti di pressione

TURBINA A SALTI DI VELOCITÀ

In questo caso, abbiamo un primo stator in cui c'è espansione, seguito dal primo rotore, dove si ne esiglie una parte del lavoro, ma facciamo in modo che all'uscita del rotore le velocità siano ancora molto alte.

questo punto si utilizza un stator che ha la sola funzione di addirittura di corrente, ovvero modifica la direzione delle velocità senza spezzare il flusso, seguito da un rotore, poi un nuovo addirittura di corrente, e così via.

abbiamo quindi espansione solo nel primo stator.

Allora:

$$L_t = u (C_{u1} + C_{u1} - zu + C_{u1} - zu + C_{u3} - 4u \dots) = u (2 \bar{z} C_{u3} - 2 \bar{z}^2 u) = \\ = 2zu (C_{u1} - zu)$$

Avendo due stadi, si fatti:

$$L_t = u (C_{u1} - C_{u2} + C_{u1}' - C_{u2}') = u (C_{u3} + 2 C_{u3}' - C_{u2}') = \\ = u (C_{u1} + 2 C_{u1} - 4u + C_{u3} - 4u) = u (4 C_{u3} - 8u) = 2 \cdot zu (C_{u1} - zu)$$

Il lavoro che corrisponde a $\eta = \eta_{\max}$ è:

$$L_t(\eta_{\max}) = 2 (zu)^2 \quad \text{perché } \eta_{\max} \text{ si ha per } \frac{u}{C_1} = \frac{\cos \alpha_1}{\bar{z}}$$

$$\Rightarrow C_1 \cos \alpha_1 = 2 \bar{z} u$$

$$C_{u1} = 2zu$$

Ma i turbini a salti di velocità, e
i salti di stadi, fornisce più lavoro rispetto
a iure turbine a salti di pressione.

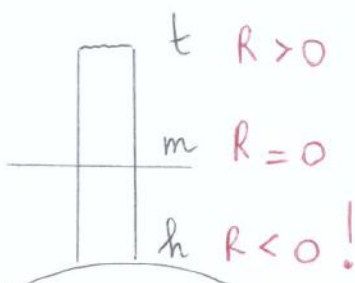
Se $z = 3 \rightarrow L_t(\eta_{\max} \text{ (salti pressione)}) = 3 (2u^2) \rightarrow 3 \text{ volte il lavoro di uno stadio}$

$L_t(\eta_{\max} \text{ (salti velocità)}) = 9 (2u^2) \rightarrow 9 \text{ volte il lavoro di uno stadio}$

Il crescere del numero di stadi, però, il rendimento peggiora per
effetto delle perdite (coeff. φ e ψ). Per questo non si va mai oltre 3 stadi.
I turbini a salti di velocità sono anche facilmente regolabili, poiché
l'espansione avviene solo nel primo stadio. La regolazione avviene tappando
l'uno dei vari tra le pale, riducendo la portata in maniera proporzionale
PARZIAZZIONE DELLA TURBINA). Ciò si attua nelle turbine a vapore.

La parzializzazione non è applicabile nelle turbine a salti di pressione,
néché negli stadi successivi, nelle regioni in cui il flusso non passa, non
è espansione. Si creerebbero dei gradienti di pressione che causerebbero la
surrezione di flussi incrociati, che porterebbero a grandi perdite.

cioè non c'è espansione nel notore, il grado di reazione cresce con il raggio, solo Haub un criterio di svergolamento se vortice libero o



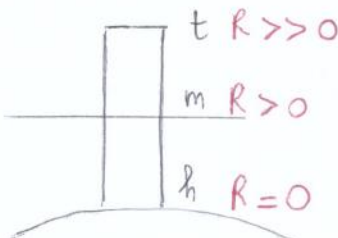
Ciò comporta che al tip $R > 0$,
mentre all'hub $R < 0$!

Questo non è accettabile poiché vorrebbe
dire che $p_2 > p_1$, ovvero che la pressione nel
notore va a crescere.

Ciò comporterebbe dei c_p positivi, quindi rischio
di rotolo.

allora, se l'altezza delle pale non è trascurabile, non è possibile adottare
una turbina ad azione.

Ciò che si può fare, è avere al massimo una rotazione del generatore:



nel notore, anche al raggio medio, avviene
sempre espansione. Si parla dunque di
TURBINE A REAZIONE.

Essere presentano il vantaggio di avere rendimenti maggiori e un
miglior comportamento in regolazione.

CASO IDEALE ($l_w = 0$)

Ci limiteremo a studiare turbine a reazione con triangoli di velocità
simmetrici, in cui:

$$|c_1| = |w_2|, \quad |c_2| = |w_1|$$

In genere, al raggio medio $R = 0.5$, quindi alla base $R \approx 0.2$ e al tip
 $R \approx 0.8$.

Rappresentiamo i triangoli di velocità provvista che si riferiscono
ad una una situazione simile a quanto avviene per le turbine ad
azione.

Definiamo il lavoro ideale, dal punto di vista TOTAL TO STATIC, come:

$$L_{t_{ID}} = c_p (T_D^o - T_2)$$

① RISCRIVIAMO IL LAVORO IDEALE IN FUNZIONE DELLE VELOCITÀ

$$L_{t_{ID}} = c_p (T_1^o - T_1) + c_p (T_1 - T_2) \quad \text{dove abbiamo sostituito } T_1^o \text{ con } T_1^o$$

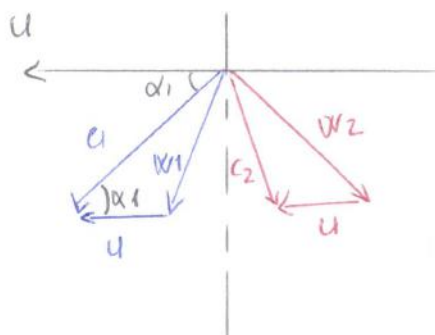
Applichiamo il 1° principio al motore cui più piuttosto di riferimento rotante:

$$\cancel{Q} + \cancel{L_i} = c_p (T_2 - T_1) + \frac{W_2^2 - W_1^2}{2} \Rightarrow c_p (T_1 - T_2) = \frac{W_2^2 - W_1^2}{2}$$

Poiché $c_p (T_1^o - T_1) = i_1^o - i_1 = \frac{c_1^2}{2}$ per definizione, ottieniamo:

$$L_{t_{ID}} = \frac{c_1^2}{2} + \frac{W_2^2 - W_1^2}{2}$$

Riprendiamo il triangolo di velocità:



osserviamo che:

$$W_2^2 = c_2^2$$

del teorema di Carnot:

$$W_1^2 = c_1^2 + u^2 - 2u c_1 \cos \alpha_1$$

Quindi:

$$-t_{ID} = \frac{c_1^2}{2} - \frac{u^2}{2} + u c_1 \cos \alpha_1$$

poiché $\eta = \frac{L_t}{L_{t_{ID}}}$ $\rightarrow \eta = \frac{u(2a \cos \alpha_1 - u)}{\frac{c_1^2}{2} - \frac{u^2}{2} + u c_1 \cos \alpha_1}$

② ESPRIMIAMO IL LAVORO IN FUNZIONE DELLE TEMPERATURE

Dal 1° principio:

$$\begin{cases} L_t = c_p (T_0 - T_2) \\ L_{t_{ID}} = c_p (T_0 - T_2) \end{cases} \rightarrow L_{t_{ID}} - L_t = c_p (T_2 - T_0) = \frac{c_2^2}{2}$$

Un analogia al caso della turbina ad azione, l'urice perdita è rappresentata dall'energia cinetica di scarico.

Per mantenere il rendimento occorre minimizzare le c_2 e, poiché abbiamo rapporto $c_{a2} = \text{costante}$, deve essere $c_{u2} = 0$.

Un risultato analogo si poteva determinare considerando due espressioni del lavoro ricavate più precedente:

$$\begin{aligned} L_t^* &= \frac{c_1^2 - c_2^2}{2} + \frac{w_2^2 - w_1^2}{2} + \frac{u_1^2 - u_2^2}{2} \\ L_{t_{ID}} &= \frac{c_1^2}{2} + \frac{w_2^2 - w_1^2}{2} \end{aligned} \rightarrow L_{t_{ID}} - L_t^* = \frac{c_2^2}{2}$$

* 1° principio rif. ruota (applicato al rotore)

$$① L_i = c_p (T_2 - T_1) + \frac{c_2^2 - c_1^2}{2} \rightarrow L_t = -L_i = c_p (T_1 - T_2) + \frac{c_1^2 - c_2^2}{2}$$

1° principio rif. rotante (applicato al motore)

$$② L_i = c_p (T_2 - T_1) + \frac{w_2^2 - w_1^2}{2} - \frac{u_2^2 - u_1^2}{2} \rightarrow L_t = -L_i = c_p (T_1 - T_2) + \frac{w_1^2 - w_2^2}{2} + \frac{u_2^2 - u_1^2}{2}$$

$$\Rightarrow ① - ② = \frac{c_1^2 - c_2^2}{2} + \frac{w_2^2 - w_1^2}{2} + \frac{u_1^2 - u_2^2}{2}$$

Per trovare il rendimento reale, basta sostituire tali valori nel lavoro ideale e calcolare:

$$\eta = \frac{L_t}{L_{t,iD}}$$

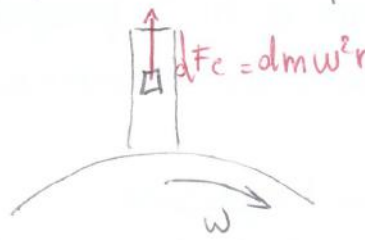
Si avrà che si ottiene lo stesso rendimento di quello studiato nel caso ideale, ma a seguito delle perdite η_{max} sarà minore.

Il rendimento massimo si avrà per ϵ_2 omiale

SOLUZIONI ALLE LIMITAZIONI IMPOSTE A UNA TURBINA

Abbiamo operato che le limitazioni al lavoro che le turbine può effettuare riguardano la velocità tangenziale w che le palette riescono a sopportare.

Le palette sono sottoposte a una forza centrifuga:

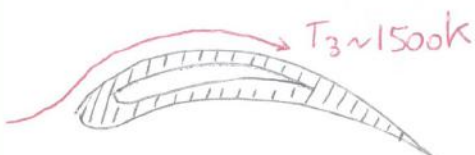


Avvicinante, la sezione alla base risulta la più sollecitata, mentre la sezione estrema non è sotto posta ad alcuna sollecitazione.

Per fare in modo che le sezioni più sollecitate sopportino meglio le sollecitazioni, si creano delle palette rostredate, in cui la corda alla base è più grande della corda allo punto

In altro problema, è centrato sulla resistenza del materiale alle alte temperature. Al crescere delle temperature, infatti, le prestazioni meccaniche delle palette peggiorano. Poiché le palette sono a contatto con gas caldi ($T_3 \approx 1500K$), devono essere raffreddate, soprattutto nei primi stadi delle turbine.

In genere, il raffreddamento avviene mediante spillamenti d'aria dell'impennone.



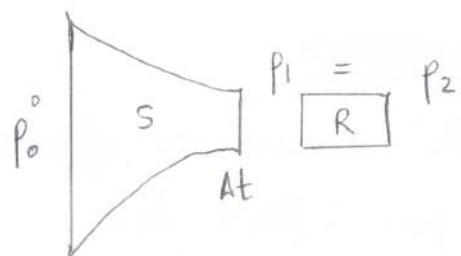
In alcuni casi, le palette sono curve, e al loro interno scorre aria fredda.

MAPPA CHE DESCRIVE LE PRESTAZIONI DI UNA TURBINA

Vogliamo determinare una mappa che mette in relazione il rapporto di espansione β_t con le portate corrette. Le avremo ottenuta come parametri il numero di giri.

Facciamo riferimento ad un stadio singolo di turbina ad azione, per semplicità, immaginando il manico statore come un'area semplicemente convergente.

I risultati trovati potremo qualitativamente gli stessi per un ugello convergente divergente, per una turbina a reazione e per una turbina multistadio.

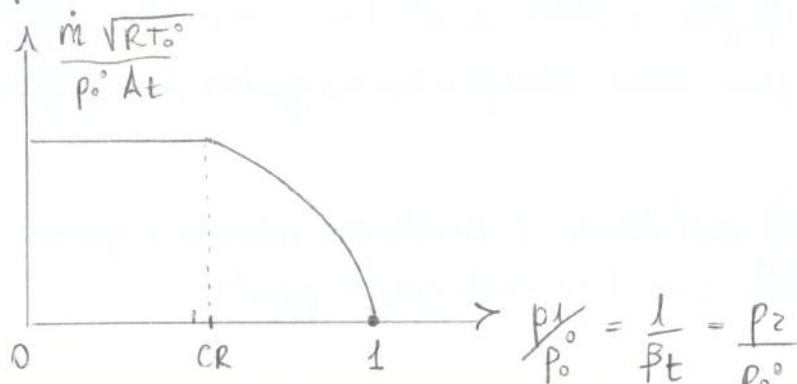


Le portate corrette dello statore, visto come ugello semplicemente conv., dipendono solamente del rapporto $\frac{p_1}{p_0} = \beta_t$, rapporto di espansione in direzione totale statica.

Considerando lo statore come un ugello, possiamo dire che le portate corrette sono:

$$\dot{m}_e = \frac{\dot{m} \sqrt{RT_0}}{p_0 A_t} \quad \text{con } A_t \text{ azione mista dello statore}$$

oppiamo allora che l'aumento delle portate corrette in funzione di β_t sarà:



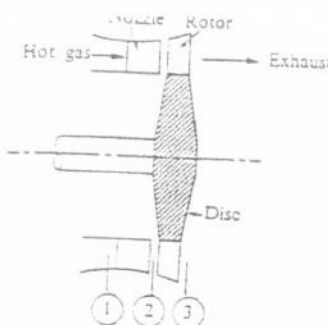


FIG. 9-13. An axial turbine stage.

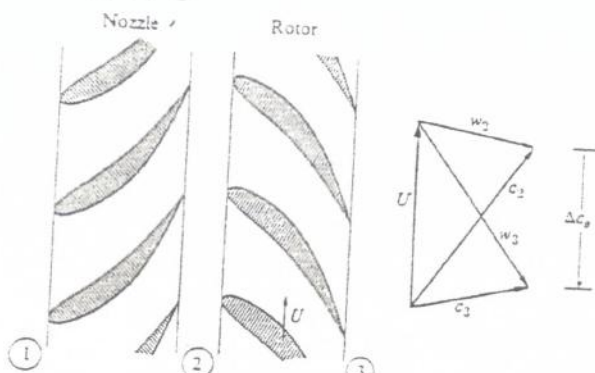


FIG. 9-14. Turbine blading and velocity triangles.

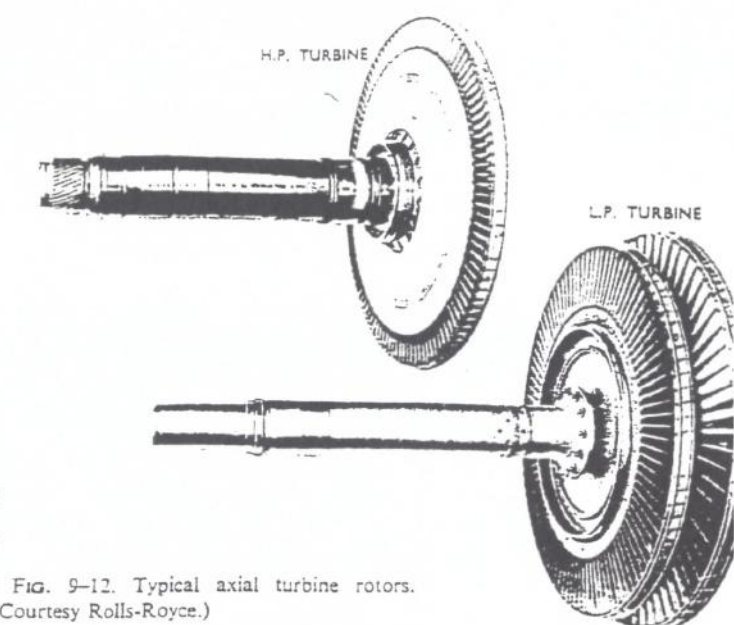
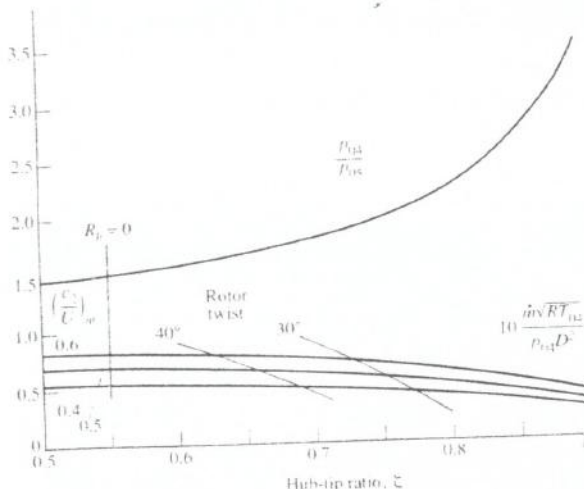
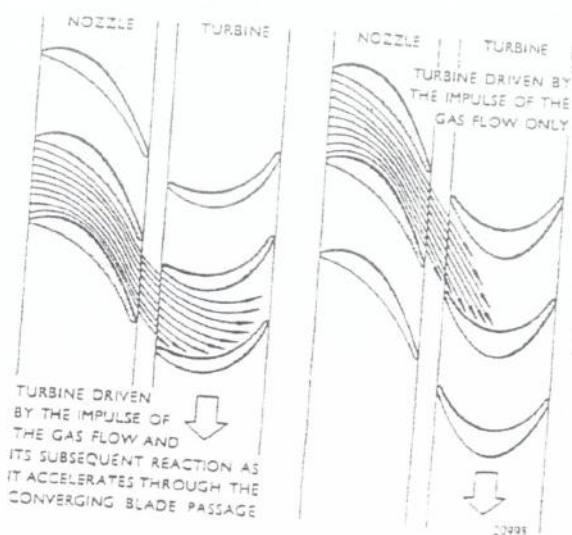
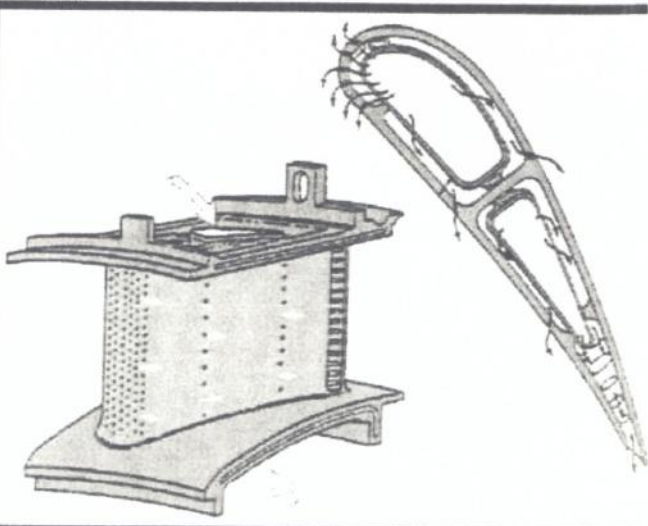


FIG. 9-12. Typical axial turbine rotors.

FIGURE 8.29 Axial turbine stage; $\sigma_2/p_2 a_0^2 = 0.03$, W/U_m^2 (Courtesy Rolls-Royce.)

- Draw Cooling Air From Compressor
- Injection of Coolant Onto Blade Surface
- Creation of an Insulating Sublayer
- Lower the Effective Gas Temperature in the Boundary Layer



Riconduciamo che:

$$\frac{T_e}{T_0} = \left(\frac{P_e}{P_0} \right)^{\frac{1}{\gamma} \eta_{yt}} \rightarrow T_e = T_0 \left(\frac{P_e}{P_0} \right)^{\frac{1}{\gamma} \eta_{yt}} = 668.4 \text{ K}$$

Il lavoro di un singolo stadio però:

$$L_{\text{stadio}} = u (c_{u1} - c_{u2}) = u^2$$

u 0

Follow:

$$z \cdot L_{\text{stadio}} = L_{\text{tot}} \quad c_2 = \frac{u}{2}$$

$$z \cdot u^2 = c_p (T_0 - T_e) - \frac{c_2^2}{2} \quad \downarrow \quad z \cdot u^2 = c_p (T_0 - T_e) - \frac{u^2}{8}$$

$$z = \frac{c_p}{u^2} (T_0 - T_e) - \frac{1}{8} = 1,0145 \Rightarrow \boxed{z=2} \quad \underline{\text{N° STADI NECESSARI}}$$

Per $z=2$ avremo che:

$$2u^2 = c_p (T_0 - T_e) - \frac{c_2^2}{2} \rightarrow 2u^2 + \frac{u^2}{8} = c_p (T_0 - T_e) \Rightarrow \boxed{u = 314,4 \text{ m/s}}$$

esercizio:

$$L_{\text{stadio}} = u^2 = 93 \text{ kJ/kg}$$

$$L_{\text{tot}} = 2u^2 = 198 \text{ kJ/kg}$$

$$P = \dot{m} L \rightarrow \dot{m} = \frac{P}{L} = 5,06 \text{ kg/s}$$

Calcoliamo il rendimento total to static e total to total:

$$\eta_{tts} = \frac{L_t}{c_p (T_0 - T_{e,15})} = 0,85$$

dove $T_{e,15} = T_0 \left(\frac{P_e}{P_0} \right)^{\frac{1}{\gamma}}$

$$\eta_{ttt} = \frac{L_t}{c_p (T_0 - T_e) - \frac{c_2^2}{2}} = 0,897 \equiv \eta_{yt}$$

$$(T_0^\circ)_i = T_0^\circ - (i-1) \frac{L_{\text{stadio}}}{c_p}$$

$$(T_2^\circ)_i = T_0^\circ - i \frac{L_{\text{stadio}}}{c_p}$$

$$(T_1)_i = (T_1^\circ)_i - \frac{c_1^2}{2c_p}$$

$$(T_2)_i = (T_2^\circ)_i - \frac{c_2^2}{2c_p}$$

Illoren:

$$(T_0^\circ)_I = T_0^\circ = 850 \text{ K} = (T_1^\circ)_I$$

$$(T_0^\circ)_{II} = T_0^\circ - \frac{L_{\text{stadio}}}{c_p} = 764,41 \text{ K} = (T_1^\circ)_{II}$$

$$(T_2^\circ)_I = T_0^\circ - \frac{L_{\text{stadio}}}{c_p} = 764,41 \text{ K}$$

$$(T_2^\circ)_{II} = T_0^\circ - 2 \cdot \frac{L_{\text{stadio}}}{c_p} = 678,82 \text{ K}$$

$$(T_1)_I = (T_1^\circ)_I - \frac{c_1^2}{2c_p} = 796,592 \text{ K}$$

$$(T_1)_I = (T_2^\circ)_I - \frac{c_2^2}{2c_p} = 753,727 \text{ K}$$

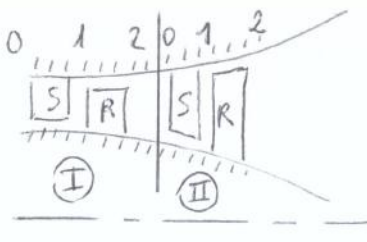
$$(T_2)_{II} = 711,002 \text{ K}$$

$$(T_2)_{II} = 668,14 \text{ K}$$

Al questo punto, le pressioni p_1, p_2 del primo e secondo studio si trovano ricavando che:

$$\left(\frac{p}{p_0^\circ}\right) = \left(\frac{T}{T_0^\circ}\right)^{\frac{R \gamma y t}{F}}$$

Calcolati i quattro valori, è possibile determinare le densità $(\rho_1)_I, (\rho_2)_I, (\rho_1)_{II}, (\rho_2)_{II}$.



Per gli altri ostacoli:

$$A = 2\pi r_m h \rightarrow h_{1I} = \frac{A_{1I}}{2\pi r_m} = 3,907 \text{ cm}$$

$$\textcircled{I}_1 \left\{ \begin{array}{l} (r_{t1})_I = r_m + \frac{h}{2} = 15,35 \text{ cm} \\ (r_{h1})_I = r_m - \frac{h}{2} = 11,44 \text{ cm} \end{array} \right.$$

$$h_{2I} = \frac{A_{2I}}{2\pi r_m} \quad \textcircled{I}_2 \left\{ \begin{array}{l} (r_{t2})_I = r_m + \frac{h}{2} = 15,77 \text{ cm} \\ (r_{h2})_I = r_m - \frac{h}{2} = 11,02 \text{ cm} \end{array} \right.$$

$$h_{2I} = 4,75 \text{ cm}$$

$$A_{1\text{II}} = 2\pi r_m h_{1\text{II}}$$

$$h_{1\text{II}} = 5,832 \text{ cm}$$

$$\textcircled{II}_1 \left\{ \begin{array}{l} (r_{t1})_{\text{II}} = r_m + \frac{h}{2} = 16,31 \text{ cm} \\ (r_{h1})_{\text{II}} = r_m - \frac{h}{2} = 10,48 \text{ cm} \end{array} \right.$$

$$\textcircled{II}_2 \left\{ \begin{array}{l} (r_{t2})_{\text{II}} = 13,4 \text{ cm} \\ (r_{h2})_{\text{II}} = 9,7 \text{ cm} \end{array} \right.$$

$$\omega = 22463,327 \text{ rpm} = \frac{u}{r}$$

TRIANGOLI VELOCITÀ

Per disegnare i triangoli di velocità all'hub e al tip dei due ostacoli, occorre osservare che:

$$u = \omega r = u_m \frac{r}{r_m}$$

$$Cu_1 = Cu_{1m} \frac{r_m}{r} \quad (\text{dallo svincolamento a vertice libero})$$

$$Cu_2 = 0$$

$$Ca_1 = Ca_{1m}$$

$$Wu = Cu - u$$

questo comporta una C_2 molto maggiore.

Poiché il flusso esce con $C_2 = C_a$, le C_2 sono più elevate rispetto al loro valore turbina a reazione \rightarrow PIÙ PERDITE PER ENERGIA CINETICA

DI SCARICO

$$\dot{m} = \frac{P}{L} = 5.39 \text{ kg/s} \quad (5.06 \text{ kg/s})$$

$$\eta_{TTS} = \frac{L_t}{L_{t,10}} = \frac{L_t}{c_p(T_0 - T_{1,15})} = \frac{L_t}{\frac{C_{1,15}^2}{2}} = 0.797 < 0.85 \text{ del caso di reazio} \underline{z} \text{ ne}$$

$$\eta_{TTT} = \frac{L_t}{c_p(T_0 - T_A)} = \frac{L_t}{\frac{C_{1,15}^2}{2} - \frac{C_p(T_A - T_{1,15})}{2}} \approx \frac{L_t}{\frac{C_{1,15}^2}{2} - \frac{C_2^2}{2}}$$

TRIANGOLI DI VELOCITÀ

- $C_1 = 648,185 \text{ m/s}$

- $C_{u1} = C_1 \cos \alpha_1 = 2u$

- $C_{a1} = C_1 \sin \alpha_1 = 234,005 \text{ m/s}$

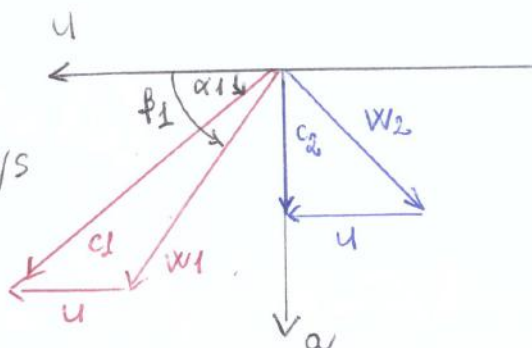
- $u = 304,54 \text{ m/s}$

- $W_{a1} = C_{a1} = 234,005 \text{ m/s}$

- $W_{u1} = C_{u1} - u = u = 304,54 \text{ m/s}$

- $W_1 = \sqrt{W_{a1}^2 + W_{u1}^2} = 384,061 \text{ m/s}$

- $\alpha_1 = 20^\circ$



- $C_{u2} = 0 \rightarrow W_{M2} = \cancel{C_{u2}} - u = -u = -W_{u1}$

- $W_2 = \psi W_1 = 353,336 \text{ m/s}$

- $W_{a2} = C_{a2} = \sqrt{W_2^2 - u^2} = 179,16 \text{ m/s} = C_2 \neq C_{a1}$

- $W_1 \cos \gamma = W_{a1} \rightarrow \gamma = \arccos(\frac{W_{a1}}{W_1}) = 52,46^\circ \rightarrow \beta_1 = \pi/2 - \gamma = 37,54^\circ$

Mantenendo costante r_m :

$$A_1 = 2\pi r_m h_1 \rightarrow h_1 = 1.7 \text{ cm}$$

$$r_h = r_m - \frac{h_1}{2} = 43,3 \text{ cm}$$

$$r_t = r_m + \frac{h_2}{2} = 45 \text{ cm}$$

Del confronto emerge che:

- TURBINA AD AZIONE \rightarrow η inferiore
 \Rightarrow in maggiore
 \Rightarrow più consumi
- TURBINA AD AZIONE MONOSTADIO \rightarrow dimensioni maggiori

primo stadio - tip
u1,u2 tip (m/s) 360.5 370.4
c1,w1 tip (m/s) 316.1 179.3
c1,w1 tip (m/s) 274.2 -86.3
alfa1,beta1 (deg) 29.8 118.8
c2,w2 tip (m/s) 157.2 402.4
cu2,wu2 tip (m/s) 0.0 -370.4
alfa2,beta2 (deg) 90.0 157.0
grado di reazione R 0.633

primo stadio - hub
u1,u2 hub (m/s) 268.3 258.4
c1,w1 hub (m/s) 400.5 186.4
c1,w1 hub (m/s) 368.4 100.1
alfa1,beta1 (deg) 23.1 57.5
c2,w2 hub (m/s) 157.2 302.5
cu2,wu2 hub (m/s) 0.0 -258.4
alfa2,beta2 (deg) 90.0 148.7
grado di reazione R 0.295

secondo stadio - tip
u1,u2 tip (m/s) 383.2 400.0
c1,w1 tip (m/s) 302.1 201.0
c1,w1 tip (m/s) 258.0 -125.2
alfa1,beta1 (deg) 31.4 128.5
c2,w2 tip (m/s) 157.2 429.8
cu2,wu2 tip (m/s) 0.0 -400.0
alfa2,beta2 (deg) 90.0 158.5
grado di reazione R 0.684

secondo stadio - hub
u1,u2 hub (m/s) 245.6 228.8
c1,w1 hub (m/s) 432.1 222.1
c1,w1 hub (m/s) 402.4 156.8
alfa1,beta1 (deg) 21.3 45.1
c2,w2 hub (m/s) 157.2 277.6
cu2,wu2 hub (m/s) 0.0 -228.8
alfa2,beta2 (deg) 90.0 145.5
grado di reazione R 0.146

Applichiamo ora il 1° principio tra sussiego e uscita delle pompe:

$$L_p = \frac{p_2 - p_1}{\rho g} + \frac{c_2^2 - c_1^2}{2g} + g(z_2 - z_1) + L_{wp}$$

generalmente, si divide tutto per g, in modo da esprimere ogni grandezza in metri.

Intendo anche le perdite al primo membro, ottieniamo:

$$\underbrace{\frac{L_p - L_{wp}}{g}}_{\text{buona netto pompa}} = \frac{p_2 - p_1}{\rho g} + \frac{c_2^2 - c_1^2}{2g} + (z_2 - z_1)$$

buono netto pompa
III

PREVALENZA MANOMETRICA
CARICO TOTALE H_u

Allora:

$$H_u = \frac{p_2 - p_1}{\rho g} + \frac{c_2^2 - c_1^2}{2g} + (z_2 - z_1) = H_2^o - H_1^o$$

dove $H^o = \frac{p}{\rho g} + \frac{c^2}{2g} + z$ è detto CARICO TOTALE

Applichiamo il primo principio tra aspirazione e mandata:

$$L_p = \frac{p_m - p_a}{\rho} + \frac{c_m^2 - c_a^2}{2} + g(z_m - z_a) + L_{wca} + L_{wp} + L_{wcm}$$

$$\underbrace{\frac{L_p - L_{wp}}{g}}_{H_u} = H_u = \underbrace{H_m^o - H_a^o}_{\text{PREVALENZA TOTALE (HT)}} + Y$$

dove $Y = \frac{L_{wca} + L_{wcm}}{g}$

non rappresenta le perdite di carico nei condotti

aumento di carico richiesto del circuito

la pompa deve dare più prevalenza rispetto a quelle richieste, per vincere le perdite Y nei condotti

Possiamo anche definire un coefficiente di perdite:

$$\xi = \xi_1 + \xi_2 = \frac{L_{wp}}{\frac{u^2}{2}}$$

perdite distribuite perdite concentrate

Fatto ciò, è possibile costruire $\Psi - \xi$ e, conoscendo gli argomenti α_1 e β_2 che mi danno l'andamento di Ψ in funzione di φ , e l'andamento delle perdite ξ , è possibile osservare che:

$$gH_u = L_p - L_{wp} = (\Psi - \xi) \frac{u^2}{2}$$

Osserviamo che:

$$\Psi - \xi = f(\varphi)$$

u^2 è proporzionale a m^2

allora:

$$H_u \propto f(\varphi) \cdot m^2$$

\Rightarrow fermo φ , $f(\varphi)$ diventa una costante $K(\varphi)$, quindi:

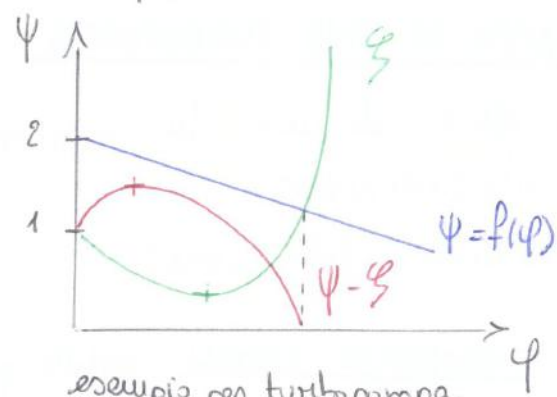
$$H_u \propto K(\varphi) \cdot m^2$$

l'altro canto, prendendo ad esempio una turbopompa oraria:

$$\dot{m} = \rho C_a A \Rightarrow Q = \frac{\dot{m}}{\rho} = C_a A \quad \text{PORTATA IN VOLUME}$$

Ora che $\varphi = \frac{C_a}{u}$ → $C_a = \varphi \cdot u$, quindi:

$$Q = \frac{\dot{m}}{\rho} \propto \varphi \cdot m$$



esempio per turbopompa radiale

Il criterio di similitudine implica che stiamo lavorando con triangoli di velocità simili, qui molti con stesso φ . Allora:

- STESO φ $\rightarrow \begin{cases} H_u \propto m^2 \\ Q \propto m \\ \eta_y = \text{costante} \end{cases}$

Il legame tra H_u e Q allora è quadratico, per cui i punti più similitudine sono su delle parabole che passano per l'origine.

$$H = K Q^2$$

Similmente ad esempio m , Q alla metà e H_u si riduce di $\frac{1}{4}$.
Le curve $\varphi = \text{costante}$ sono delle curve isoneudimento.

In ultime analisi, occorre ricapitolare le caratteristiche della pompa su quelle del circuito.

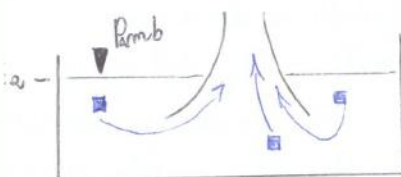
Abbiamo visto che per un circuito, vale:

$$H_u = H_t + Y$$

con $H_t = H_m^* - H_a^*$, $H^* = \frac{f}{\rho g} + \frac{c^2}{2g} + z$

$$Y = L_w m + L_w c_a$$

Esistono le seguenti
osservazioni all'aspirazione:



ogni particella fluida che viene aspirata
ponte le condizioni di pressione, velocità e
quista specifiche, diverse le altre.

Si supponiamo che $L_w = 0$, poiché non ci sono organi mobili $L_i = 0$, allora:

$$\frac{f}{\rho g} + \frac{c^2}{2g} + z = H_a^* = \text{costante}$$

ossia per semplicità scrivere allora il carico totale all'aspirazione
rispetto al pelo libero ($c_a = 0$):

$$H_a^* = \frac{P_{amb}}{\rho g} + 0 + z_a = \frac{P_{amb}}{\rho g} + z_a$$

L'espressione delle potenze, sia all'avviamento che a regime, sarà:

$$P = \underbrace{\dot{m}_{el}}_{\downarrow \text{portate}} \cdot L_p$$

↓
portate
elaborate

le portate elaborate, in genere è maggiore delle portate mescolate, poiché una parte di fluido rifiuisce nell'assorbimento. Teniamo conto di ciò inserendo un coefficiente volumetrico.

Quindi:

$$P = \dot{m}_{el} \cdot L_p = \frac{\dot{m}}{\eta_{vol}} \cdot \frac{L_p - L_{w_p}}{\eta_y} = \frac{\dot{m}}{\eta_{vol}} \frac{\rho Q g H_u}{\eta_y} \propto Q H_u$$

$$\eta_y = \frac{L_p - L_{w_p}}{L_p}$$

P \propto Q H_u

S'immagina che in una pompa centrifuga H_u sole e poi scende abbastanza lentamente \Rightarrow le potenze cresce con Q $Q \uparrow p \uparrow$

In una pompa oriale invece, la curva è molto più ripida e H_u scende rapidamente \Rightarrow se le portate cresce, le potenze decresce $Q \uparrow p \downarrow$

Infine, poiché all'avviamento vogliamo bassi potenze consumate:

- POMPA CENTRIFUGA \rightarrow avviamento con mandolate chiuse, topondo l'uscita, in modo che la pompa raggiunga il massimo numero di giri senza portate.

- POMPA ASSIALE \rightarrow avviamento con mandolate tutte aperte, in modo che anche se giri bassi le portate siano già elevate

Indicando con $\lambda = 1/c_{p, \text{min}}$, possiamo scrivere, dividendo per g :

$$\frac{p_{\text{min}}}{\rho g} = \frac{p_1}{\rho g} - \frac{1}{2} \lambda \frac{w_1^2}{g}$$

$\lambda = f(\psi)$ poiché una volta fissato il valore di $\psi = \frac{c_{a,wr}}{u}$ è fissata l'incidenza sulle pale e la distribuzione delle pressioni è univocamente determinata

In generale, il valore λ per il moto, poiché sono scelte le condizioni di aspirazione, non sono scelte le condizioni di riuscita al punto 1.

scriviamo allora le p_1 in funzione delle condizioni di aspirazione.

Applichiamo il primo principio di:

$$L_1 = 0 = \frac{p_1 - p_a}{\rho g} + \frac{c_1^2 - 0^2}{2g} + z_1 - z_a + \frac{L_{wca}}{g} \rightarrow \frac{p_1}{\rho g} = \frac{p_a}{\rho g} - \frac{c_1^2}{2g} - (z_1 - z_a) - \frac{L_{wca}}{g}$$

Perciò, NON AVREMO cavitazione se $\frac{p_{\text{min}}}{\rho g} > \frac{p_{\text{vap}}}{\rho g}$, ovvero:

$$\frac{p_{\text{min}}}{\rho g} = \frac{p_a}{\rho g} - \frac{1}{2} \lambda \frac{w_1^2}{g} > \frac{p_{\text{vap}}}{\rho g}$$

$$\frac{p_a}{\rho g} - \frac{c_1^2}{2g} - (z_1 - z_a) - \frac{L_{wca}}{g} - \lambda \frac{w_1^2}{2g} > \frac{p_{\text{vap}}}{\rho g}$$

Separiamo i termini che dipendono dalla turbopompa e da come funziona da quelli che non dipendono da esse:

$$\frac{p_a}{\rho g} - \frac{p_{\text{vap}}}{\rho g} - (z_1 - z_a) - \frac{L_{wca}}{g} > \frac{c_1^2}{2g} + \lambda \frac{w_1^2}{2g}$$

SI OTTENNE NETTO POSITIVO ALL'ASPIRAZIONE

NET POSITIVE SUCTION HEAD $\equiv NPSH$)

NPSH POMPA \rightarrow viene fornito dal costruttore

Analizziamo l'NPSH del circuito e vediamo cosa fare per avere un margine più grande possibile.

$$NPSH_{circuit} = \frac{p_a - p_{vap}}{\rho g} - (z_1 - z_a) - \frac{L_{wca}}{g}$$

① $NPSH_c \uparrow$ e $L_{wca} \downarrow$

Dobbiamo avere le minime perdite possibili nel condotto di aspirazione. Per questo la sezione di sifone generalmente presenta un "invito" per fare in modo che non si creino vortici.

Supponiamo di voler continuare un condotto. Lungo il condotto ci saranno delle perdite e per mantenere le portate costante devo pompare continuamente.

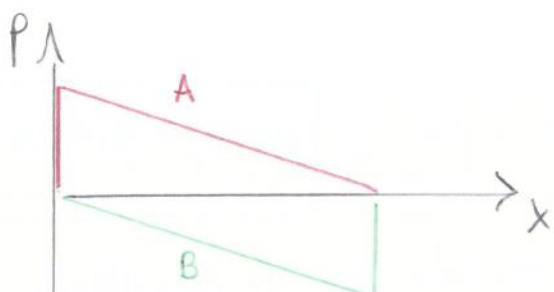
Dove posiziono la pompa, all'ingresso o all'uscita?

A)

prima sole le perdite, poi la pompa riporterà la pressione al valore iniziale

B)

prima si hanno le perdite, poi la pompa riporterà la pressione al valore iniziale

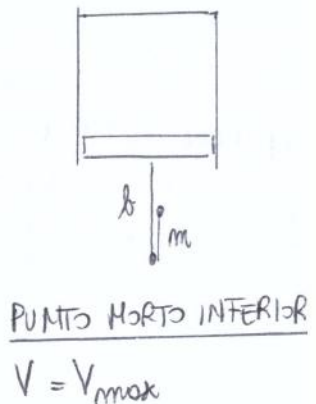
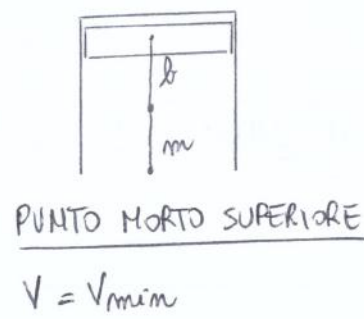
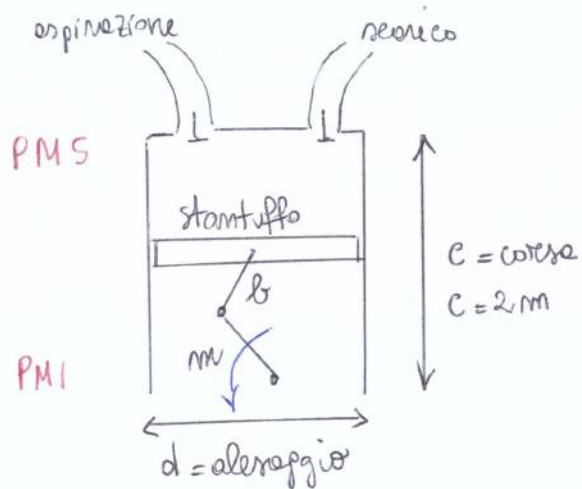


$$\left. \begin{array}{l} A) p_1 = p_0 - \frac{c_1^2}{2} \\ B) p_1 = p_0 - Lw\rho - \frac{c_1^2}{2} \end{array} \right\} \begin{array}{l} \text{del 1°} \\ \text{principio} \\ \Delta z = 0 \end{array}$$

Nel caso B) il condotto figura tutto come condotto di aspirazione e le perdite tendono ad abbassare la pressione all'ingresso della pompa. Questo potrebbe causare un regime di cavitazione. In questo, la soluzione A) è la migliore.

MOTORI ALTERNATIVI A COMBUSTIONE INTERNA

Le turbine a gas vengono solitamente utilizzate per potenze > 500 CV. Al di sotto di esse, diventano competitivi i motori alternativi e generalmente si preferiscono i motori a benzina poiché, a parità di potenza, sono meno pesanti dei diesel.



Definiamo CILINDRATA $= V_{\max} - V_{\min} = V = \pi \frac{d^2}{4} \cdot e$

CICLO OTTO IDEALE

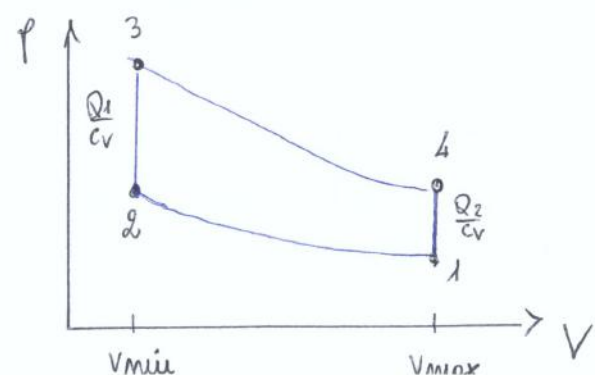
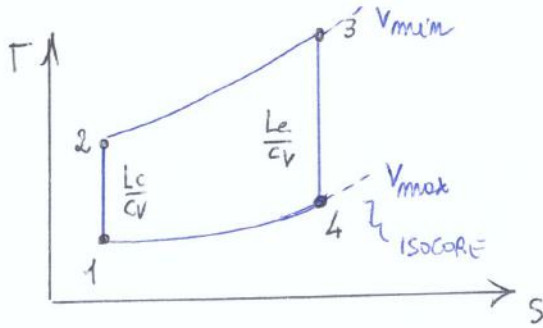
Tale ciclo rappresenta quello a cui dovrebbe tendere un motore a benzina per avere massimo rendimento.

$1 \rightarrow 2$ COMPRESIONE ISENTROPICA, L_e ($Q_e = h_w = 0$)

$2 \rightarrow 3$ FORNITURA CALORE DALL'ESTERNO A $N = \text{cost}$, $Q_1 > 0$

$3 \rightarrow 4$ ESPANSIONE ISENTROPICA, L_e ($Q_e = h_w = 0$)

$4 \rightarrow 1$ $Q_2 < 0$ e $N = \text{cost}$



Quindi:

$$\eta_{id} = 1 - \frac{1}{\rho^{r-1}}$$

com $\rho \in$ RAPPORTO DI COMPRESSIONE VOLUMETRICO

Aumentare ρ significa aumentare il rendimento.

C'è però un problema: aumentare ρ significa, salvo escluso, diminuire V_{min} . Ciò comporta, sul diagramma T-S, lo spostamento del punto 2 più in alto rispetto al caso precedente e un aumento delle pressioni alle fine della compressione.

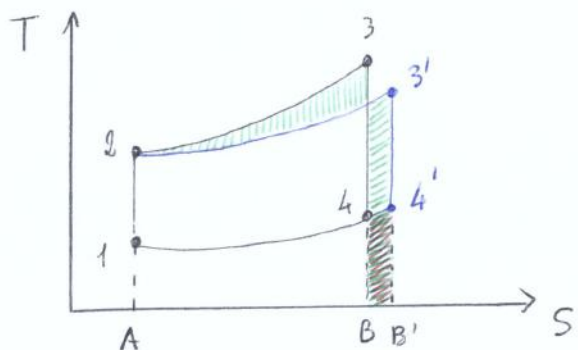
Da qui è evidente la limitazione dei motori a benzina: la combustione deve avvenire mediante l'escursione di una scintilla. Aumentando troppo ρ , la benzina tende sol avere un'escursione spontanea e irraggiabile.

⇒ la pressione che viene raggiunta prima dell'escursione della scintilla non deve superare un certo limite, che dipende dalla benzina utilizzata.

Valore limite tipico: $\rho_{lim} \approx 10$ ($\eta \approx 0.5$)

OSSERVAZIONI

① Due volte finite le pe, quindi scelto ρ , quel è il ciclo che garantisce il massimo rendimento? È meglio far avvenire la combustione a volume costante o a volume crescente? (Non possiamo pensare che sia a volume decrescente, poiché la combustione avviene a $V = V_{min}$).



Consideriamo due cicli in cui viene fornito lo stesso Q_1 , in un caso a V costante, nell'altro a V crescente.

$$\left\{ \begin{array}{l} Q_1 = \int_{V_1}^{V_2} T dS = \text{Area A}23B \\ Q'_1 = \int_{V'_1}^{V'_2} T dS = \text{Area A}23'B' \end{array} \right.$$

Se il rendimento del diesel è inferiore a quello del ciclo Otto, dove sta la convenienza?

I motori diesel non presentano limitazioni sulla P_2 , poiché la combustione avviene in modo differente:

• BENZINA → ACCENSIONE COMANDATA, la combustione avviene quando viene fece la scintilla

• DIESEL → ACCENSIONE PER COMPRESSIONE.

Nel cilindro è inizialmente presente soltanto aria, che viene compressa senza periodo di detersione

$$\Rightarrow \rho = 20 \div 25$$

Arrivati a pressioni elevate, viene spruzzato il combustibile nella camera di combustione, il quale brucia spontaneamente.

Dunque:

η più basso } ρ più alto } → A parità di ρ $\rightarrow \eta_{diesel} < \eta_{otto}$, ma potendo aumentare rispetto al ciclo Otto $\Rightarrow \eta_{diesel} \approx \eta_{otto}$

L'analisi fino a qui svolta, rappresenta un'idealizzazione molto forte di quelle che realmente avvengono. Dobbiamo gradualmente introdurre una serie di fenomeni reali che modificano le funzioni mentre e le prestazioni del motore rispetto a quelle del ciclo.

Introduciamo alcune definizioni:

• CICLO LIMITE: fluido reale / macchina reale

Tale ciclo ha un L_{lim} e un $\eta_{lim} = \frac{L_{lim}}{m_f H_i}$ → tiene conto dei limiti termodynamici e del fluido reale
ma: manca combustibile nel cilindro \rightarrow manca manna a disp. del combustibile

Calcolo delle prestazioni

$$P_u = L_u \cdot \frac{n}{M}$$

→ acli nell'unità di tempo
potenza utile
↑ lavoro al ciclo
↓ n° giri per completare un acli

$$M = \begin{cases} 2 & 4 \text{ tempi} \quad (\text{n° corsie che compie lo scattiffo}) \\ 1 & 2 \text{ tempi} \end{cases}$$

Il m° di giri per completare un ciclo è la metà del m° di tempi

$$q_b = \frac{\dot{m}_b}{P_u} = \frac{m_b}{L_u}$$

perché $m_b = m_b \cdot \frac{n}{M}$

↓ acli unità di tempo
mano al ciclo
↓ giri per completare un ciclo

Analogoamente:

$$\dot{m} = m \frac{m}{M}$$

Chiamiamolo DO SATURA $\alpha = \frac{m}{m_b}$

RAPPORTO DI DILUZIONE $f = \frac{1}{\alpha} = \frac{m_b}{m}$

Definiamo alcune grandezze relative ai lavori.

Dividendo i lavori per un volume, si ottiene una pressione. Allora:

PRESSIONE MEDIA INDICATA

$$P_{mi} = \frac{L_i}{iV}$$

↓ n° cilindri

PRESSIONE MEDIA EFFETTIVA

$$P_{me} = \frac{L_u}{iV}$$

PRESSIONE DI MARCIA A VUOTO

$$P_v = P_{mi} - P_{me} = \frac{L_{\text{perdite mecc.}}}{iV}$$

Tra L_i e L_u ci sono le perdite meccaniche così come tra P_{mi} e P_{me} c'è P_v . Si chiama così perché facendo funzionare il motore senza forzare le sevizie, c'è la forza di un lavoro di vapore.

Il consumo specifico è, per definizione:

$$q_b = \frac{m_b}{L_u} = \frac{m_b}{P_{me} i V}$$

$$\text{con } P_{me} = \eta_u \frac{\lambda_v}{\alpha} \frac{H_i}{N} \quad \text{oppure } q_b = \frac{m_b}{L_u} = \frac{m_b}{\eta_u \cdot M \cdot H_i} = \frac{1}{\eta_u \cdot H_i}$$

In modo analogo, si può determinare che:

$$P_{mi} = \eta_i \frac{\lambda_v}{\alpha} \frac{H_i}{N}$$

Il nostro studio si concentrerà nel capire come le prestazioni (potenza utile e consumo) siano influenzate da:

- QUOTA
- RAPPORO DI MISCELA α (DOSATURA)
- NUMERO DI GIRI

Prima di fare ciò, occorre però studiare quali sono gli effetti delle non idealità del fluido, quindi studiare il ciclo LIMITE, poi introdurre gli effetti delle non linearità delle macchine, quindi parlare del ciclo NDICATO e infine studiare come si comportano le perdite meccaniche.

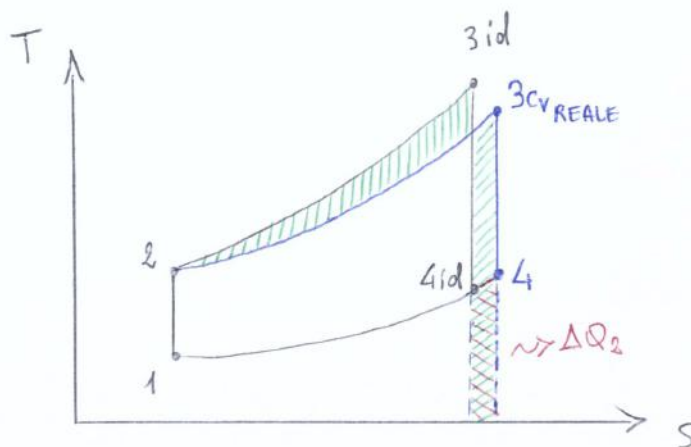
CICLO LIMITE

Non considero la presenza delle macchine, è un ciclo termodinamico vero e proprio in cui entroso in gioco gli effetti del fluido reale.
(Le macchine non sono ideale)

In ordine di importanza, gli effetti dovuti all'introduzione del fluido reale sono:

- 1) VARIAZIONE DI C_v CON LA TEMPERATURA
- 2) VARIAZIONE DELLA COMPOSIZIONE (del peso molecolare M)
- 3) DISSOCIAZIONE
- 4) (PRESENZA DI COMBUSTIBILE IN ECCESSO $\Rightarrow \alpha < \alpha_{\text{stichiom.}}$) *tratteremo questo caso in seguito*

1) VARIAZIONE DI c_v CON LA TEMPERATURA



A parità di Q_1 fornito, quindi a parità delle due scie verdi evidenziate in figura, nelle condizioni reali si ha un $ΔQ_2$ più che fa peggiore il rendimento. ($10 \div 15\%$ di perdite)
 $(\eta = 1 - \frac{Q_2}{Q_1})$

Se $T \uparrow \Rightarrow c_v \uparrow$

La curva a volume costante, allora, tenderà a salire meno rapidamente.

Infatti:

$$TdS = dU + pdV = c_v dT + pdV$$

$$\frac{dT}{dS} = \frac{T}{c_v}$$

$\Rightarrow = 0$
 $V = \text{cost}$

\Rightarrow se $c_v \uparrow \Rightarrow \frac{dT}{dS} \downarrow$

2) EFFETTO DELLA DISSOCIAZIONE

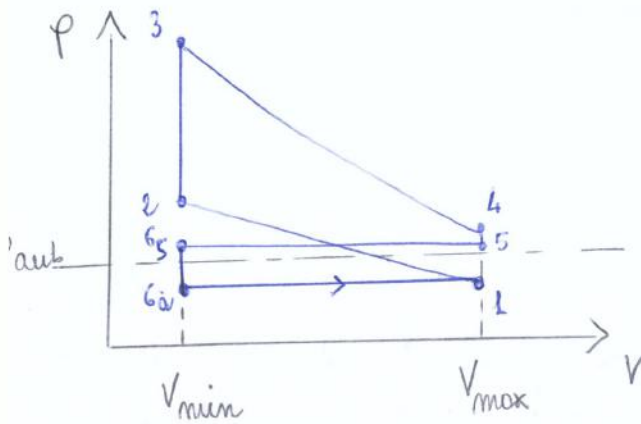
La dissociazione rappresenta l'impossibilità alle alte temperature di compiere la combustione, in quanto i prodotti della combustione tendono a dissociare.

Arrivati ad una temperatura intorno ai 1800°C , la combustione non può completarsi. Ciò non vuol dire che stiamo perdendo calore, ma semplicemente che non possiamo fornire una certa energia a quelle temperature. Quindi lo scettro comincia a scendere, $T \downarrow$ e la combustione potrà completarsi. \rightarrow si verifica allora un ritardo nel rilascio di energia. Una parte della combustione avviene a volume costante, l'altra avviene mentre V sta aumentando.

Anche in questo caso abbiamo uno spostamento del punto 3 e 4 più a destra, e ciò provoca un calo del rendimento. ($3 \div 4\%$ di perdite)

Sommando i tre effetti, si ha un calo del rendimento dell $10 \div 15\%$

Per studiare le cose da un punto di vista semplificato, introduciamo il CICLO CONVENZIONALE, nel quale non facciamo altro che redimensionare le curve del ciclo indicato.



Studiamo a questo punto quelli sono gli effetti delle non idealtà delle macchine.

FENOMENI CHE INFUENZANO η_{ci}

(quindi anche $\eta_i = \eta_{ci} \cdot \eta_{liu}$)

① SCAMBI TERMICI FLUIDO - MOTORE

Imizialmente la miscela di olio e benzina è fredda ed il motore è illettivamente caldo quindi il motore cede calore e riscalda la miscela.

Quando le temperature delle miscela, a seguito delle compressione e combustione, diventa più alta di quella del motore, sono tali gas e calore calore al motore e verrà raffreddato.

La cerniere di calore del fluido al motore prevale sull'altra!

Il calore che il sistema di raffreddamento deve portare via dal motore è dello stesso ordine di grandezza delle sue potenza.

Cos' vuol dire che tutto questo calore sottratto contribuisce completamente al calo del rendimento? No, perché una parte di esso sarebbe comunque ceduta all'ambiente durante l'espulsione dei gas di scarico. Vediamo lo schematicamente.

1-2 compressione
2-3 combustione
3-4 espansione
4-5 risciacquo spontaneo, appena viene aperte le valvole di risciacquo, troveremo i gas a una pressione superiore a quella ambiente, tendendo spontaneamente a uscire.

Quando la pressione è diventata quasi uguale a quella ambiente occorre spingerli estivamente per farli uscire.

5-6 scarico
6-1 aspirazione

l'effigione è la variazione di Θ_e , più ci allontaniamo dalla combustione e volume contenuto, peggiora è il rendimento.

Osserviamo che:

$$\Theta_e = 2\pi m \cdot t_c$$

\curvearrowright tempo di combustione

dove:

$$t_c = t_1 + t_2 + t_3$$

\curvearrowright intervalle

• INIZIO $\rightarrow t_1 = \frac{k_1}{W_r}$

\curvearrowright tempo che si prege
la misella per cominciare
e bruciare dopo lo scatto delle
scintille

\curvearrowright velocità di
reazione

• PROPAGAZIONE $\rightarrow t_2 = \frac{k_2}{W_p}$

\curvearrowright tempo che si prege la fiamma
e raggiungere ogni
angolo del cilindro

\curvearrowright velocità
di propagazione

• COMPLETAMENTO
DI COMBUSTIONE $\rightarrow t_3 = \frac{k_3}{W_r}$

\curvearrowright tempo sufficiente la misella
presente agli angoli estremi
del cilindro raggiunga e
bruci

\curvearrowright velocità
di reazione

Per tale fenomeno, M_{Θ_e} max per $W_{r_{max}}$, trascurando l'effetto del numero di giri.

Cioè poiché $W_{r_{max}} \Rightarrow \Theta_e = \Theta_{e_{min}} \Rightarrow \Theta_e = \Theta_{e_{min}} \Rightarrow M_{\Theta_e} = M_{\Theta_{e_{min}}}$

Se m aumenta $\rightarrow \Theta_e$ aumenta, ma non in misura proporzionale a m .
Più è dovuto al fatto che se m aumenta, aumenta anche la turbolenza all'interno del cilindro e perciò migliorano le velocità di reazione e propagazione, le quali fondono e riducono Θ_e .

\hookrightarrow più il motore gira veloce, più avanza anticipare la combustione

PERDITE MECCANICHE

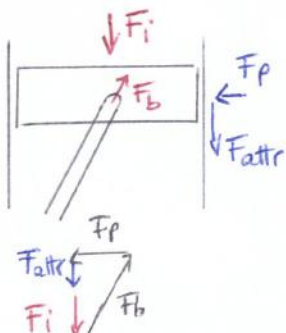
Possiamo distinguere 4 termini:

1) Lavoro per il trainamento degli accessori (pompa dell'olio, pompa del combustibile, pompa dell'acqua, ...)

Tale lavoro è proporzionale alle dimensioni del motore, quindi alle cilindrata:

$$\Rightarrow L_1 = K_1 (iV)$$

2) Lavori di svilto derivanti da forze di inerzia



Consideriamo lo svilto che si muove verso l'alto, poiché è presente una forza di inerzia diretta verso il basso.

Affinché esso si sposti in tale direzione, le bielle trasmettono allo svilto una forza \vec{F}_b parallela al suo moto, che è uguale se non ci è il PMS.

In equilibrio tale forza, meno una forza \vec{F}_p parallela alle porre, non può che tutto nello equilibrio. A tale forza mancante corrisponde una forza di svilto che compie lavoro, poiché lo svilto si sta muovendo.

Possiamo supporre tale lavoro proporzionale alle masse alterne (ad es. massa svilto, ma bielle e manovelle) e all'accelerazione che, in un moto alternato, dipende dal quadrato del m° di giri, oltre ad essere proporzionale alle cilindrata;

$$L_2 = K_2 \cdot m_{alt} \cdot n^2 (iV)$$

3) Lavoro di svilto da forze di pressione

Sono proporzionali alla pressione media nell'interno del motore $\rightarrow P_{mi}$ e alle cilindrata:

$$L_3 = K_3 P_{mi} (iV)$$

4) Lavoro di ricambio del fluido $L = iV(p_s - p_e)$

Differenza tra lavoro allo scorrere e lavoro ottenuto all'aspirazione.

FENOMENI CHE INFUISCONO SUL COEFFICIENTE DI RIEMPIIMENTO

$$\lambda_V = \frac{m}{m_{teor}} = \frac{m}{i\%}$$

1) Scambi termici, diversi da quelli considerati nell'analisi di Moi

In questo caso, stiamo considerando solo l'espansione.

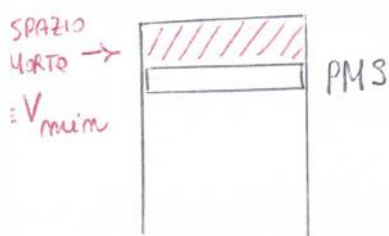
In questo caso, l'aria è fredda e il motore è caldo, per cui quando entra nel cilindro, vede la sua temperatura aumentare.

Se $T \uparrow$, $p \downarrow \Rightarrow$ la massa che entra nell'interno del cilindro tende a diminuire

2) Luminazioni alle valvole di aspirazione e scarico

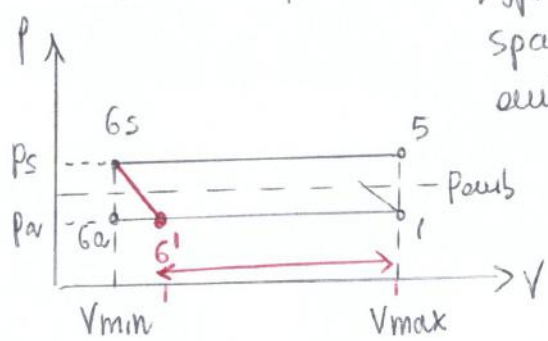
Le luminazioni alle valvole di aspirazione e scarico:

- pa all'interno del cilindro è inferiore alle pressioni esterne
Ma diminuzione di pressione comporta una diminuzione di densità quindi delle masse che entra nel cilindro
- espansione dei gas dello spazio morto



Nello spazio morto sono presenti gas di scarico derivanti dalla combustione precedente (siamo nella condizione 6s).

Chiudiamo le valvole di scarico e apriamo quelle di aspirazione: mettiamo in comunicazione i gas dello spazio morto col suo pressione p_s , con la pressione ambiente, più basse.



Per la presenza delle valvole, il fluido può entrare nel cilindro solo quando la pressione all'interno è inferiore a quella ambiente e raggiunge il valore p_a .

Fino a che la pressione all'interno del cilindro non raggiunge la p_a , l'aria non può entrare. Il volume utile per l'aspirazione non è più V , ma V_{min} qualcosa.

① INFLUENZA DELLA QUOTA DI VOLO SULLE PRESTAZIONI

$$P_u = P_{me}(iV) \frac{n}{M} , \quad \begin{cases} P_{me} = P_{mi} - P_v \\ P_{mi} = \eta_{lim} \eta_{oi} \frac{\lambda_v H_i}{\alpha N} \end{cases}$$

Operiamo sui giri costanti e α costante:

$\eta, \alpha = \text{cost}$

Le uniche grandezze che variano sensibilmente con la quota, sono λ_v e N , mentre $H_i = \text{costante}$, η_{lim} e η_{oi} = costanti in prima approssimazione (gli effetti di temperatura e pressione sui rendimenti sono modesti)

Confrontiamo le P_{mi} in condizioni generiche con una P_{mi} di riferimento sul esempio a quota 0:

$$\frac{P_{mi}}{P_{mi0}} = \frac{\lambda_v}{\lambda_{v0}} \cdot \frac{N_0}{N}$$

Per sapere come varia la P_{mi} con la quota, basta dividere come variano N e λ con la quota

• Dell'ep. dei gas perfetti: $N = \frac{RT}{P} \rightarrow \frac{N_0}{N} = \frac{P_0}{P} \cdot \frac{T_0}{T}$

In generale, le potenze di un motore aumentano all'aumentare delle pressioni e diminuiscono all'aumentare delle temperature

A tale effetto si aggiunge quello del coefficiente di risciacquo. Com'è che legge varia?

Il coeff. di risciacquo dipende da vari fattori: al variare della quota, le laminazioni e gli effetti dinamici rimangono pressoché inalterati, mentre l'influenza degli scambi termici è notevole.

- Più l'aria è fredda, più calore riceverà mentre entra nel cilindro, supponendo che le porosità del motore si mantengano a temp. costante
 \Rightarrow ELEVATI SCAMBI TERMICI $\Rightarrow \lambda_v$ BASSO

Allora:

$$P_{me} = P_{mi} - Pv = \mu P_{mi0} - A - B\mu = (P_{mi0} - A - B)\mu - A(1-\mu) = P_{me0}\mu - A(1-\mu)$$

$$P_{me} = P_{me0}\mu - A(1-\mu)$$

Se $z \uparrow, p \downarrow, \mu \downarrow \Rightarrow P_{me} \downarrow, P_u \downarrow, q_s \uparrow$
 le premiure
 ricade maggiormente
 perché T è sotto radice

$$\eta_0 = \frac{P_{me}}{P_{mi}} = \frac{P_{mi0}\mu - A - B\mu}{P_{mi0}\mu} = 1 - \frac{B}{P_{mi0}} - \frac{A}{P_{mi0}\mu}$$

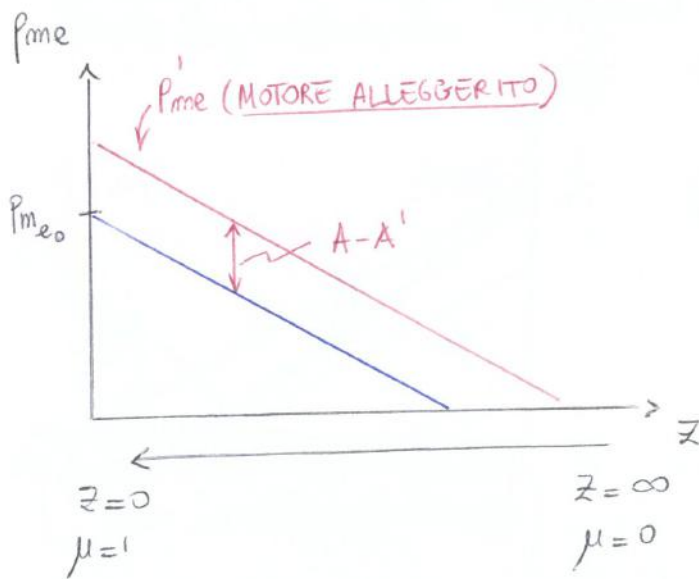
$$\eta_0 = 1 - \frac{B}{P_{mi0}} - \frac{A}{P_{mi0}\mu}$$

$$q_s = \frac{m B}{P_u}$$

Se seconde il rendimento
 organico, mentre gli altri
 sono costanti per ipotesi,
seconde il rendimento utile

$$\eta_u = \eta_{elm} \cdot \eta_{ei} \cdot \eta_0$$

il motore consuma di più



Definiamo QUOTA DI TANGENZA TEORICA quelle che quale la P_{me} e dunque la potenza del motore si nulla. In realtà la QUOTA DI TANGENZA EFFETTIVA sarà uguale a quella teorica, perché occorre una potenza minima per garantire il volo.

Un motore alleggerito o sovralimentato è progettato per funzionare su quota. Cosa succederebbe se funzionasse a quota 0?

Nel caso di un motore alleggerito \rightarrow si romperebbe

Nel caso di un motore sovralimentato \rightarrow detunerebbe

Al di sotto delle quote di sollevamento si prosegue con una regolazione, in genere mediante una valvola, che funziona per minimizzare le sollecitazioni a basse quote.

Se è stato ben costruito, comunque, il motore riesce per brevi istanti (es. decollo) a sopportare sollecitazioni più elevate.

2) INFLUENZA DOSATURA SULLE PRESTAZIONI E REGOLAZIONE MOTORE

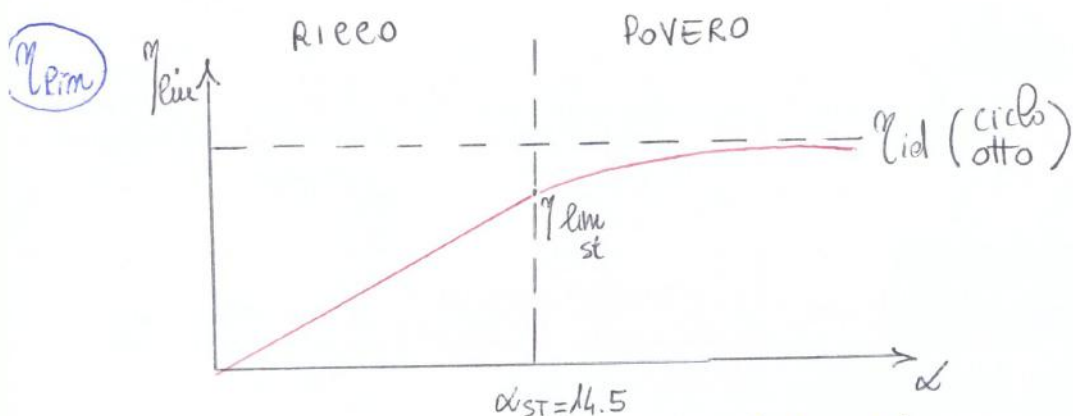
HP: $z, n = \text{cost}$

A noi interessa la fine e $q_s = \frac{1}{m_{\text{m}} H_i}$. Per provare ad essi particolare delle γ_{m} e delle ρ :

$$P_{\text{m}} = \frac{m_{\text{lim}} m_{\text{oi}}}{\alpha} \frac{\lambda v H_i}{\rho}$$

Avrei la prima approssimazione non dipende da α . In realtà la benzina più mossa nell'aria evapora sottraendo calore ad essa e migliorerebbe il λv . Toccherebbero effetti.

Averiare con α rispetto rispettivamente i due rendimenti



\hookrightarrow dosatura stoichometrica

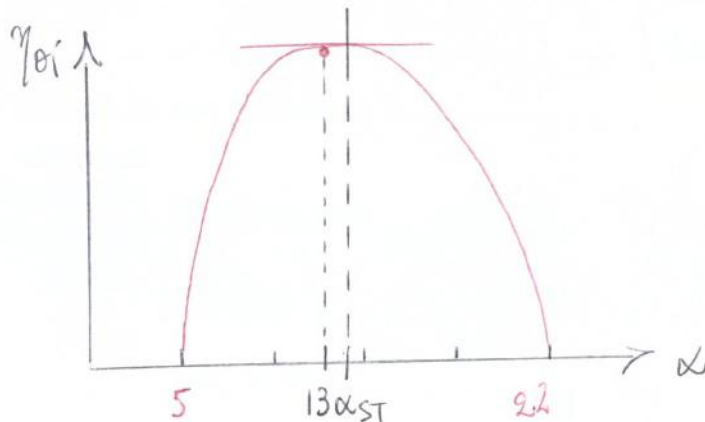
corrisponde a una combustione in cui tutto il combustibile brucia consumando completamente tutto l'ossigeno

Al diminuire di α , η_{oi} cala rapidamente.

Allora, η_{oi} sarà massimo per il valore di α che minimizza la velocità di reazione, che si ha per $\alpha \approx 13$

Scontenibile che tale valore, essendo troppo nel mezzo e troppo nel povero, la reazione diventa così lenta che il rendimento tende a zero molto rapidamente.

$\eta_{oi} \approx 0$ per $\alpha \approx 5, \alpha \approx 22$



A questo punto, possiamo studiare come varia P_{mi} .

Dalle nostre analisi:

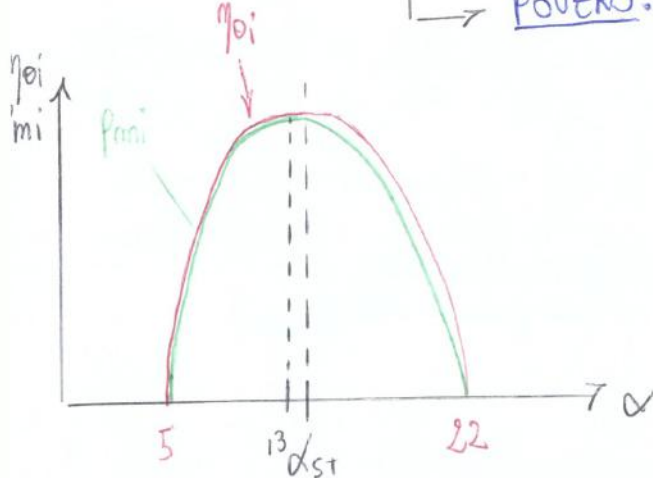
$$P_{mi} \propto \frac{\eta_{lim} \eta_{oi}}{\alpha}$$

→ Ricco:
→ Povero:

$$\frac{\eta_{lim}}{\alpha} = \frac{\eta_{lim,ST}}{\alpha_{ST}} = \text{costante}$$

$$\Rightarrow P_{mi} \propto \eta_{oi}$$

Stesso andamento di η_{oi} , seguiendo opportunamente le scale



η_{lim} tende a

diminuire, perché η_{lim} cresce meno velocemente rispetto ad α

⇒ l'andamento delle P_{mi} è più basso dell'andamento di η_{oi}

A questo punto, sappiamo che:

$$P_{me} = P_{mi} - P_r$$

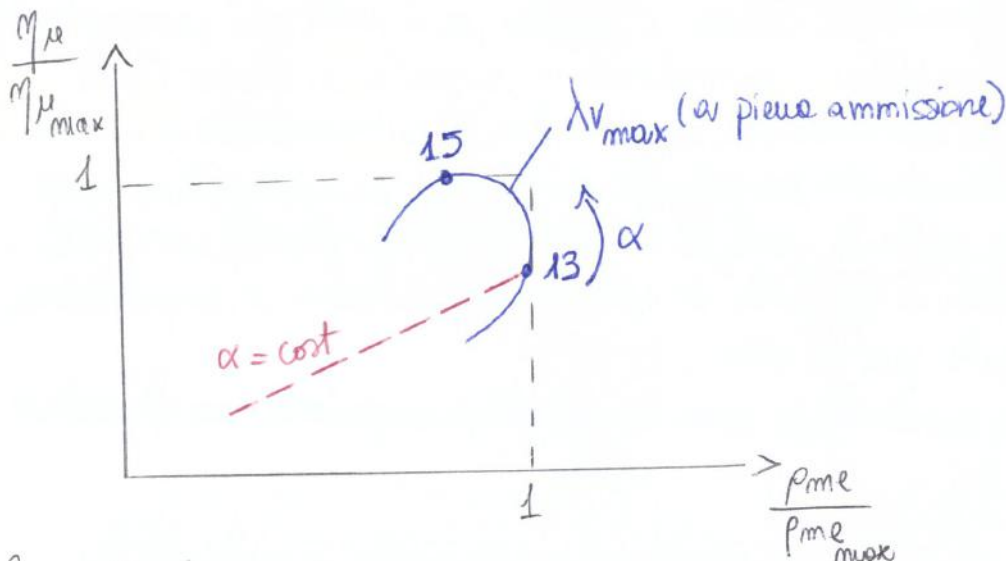
In base ai ragionamenti fatti, se aumenta α puoi avere più e dietro aspetto al massimo di η_{tot} e η_{c} , poco dopo lo stoichimetrico $\rightarrow \eta_{\text{unst}} \rightarrow \eta_{\text{st min}}$

Tutti i motori, in genere, funzionano tra $13 < \alpha < 15$.

per
 $\alpha \approx 15$

- $\alpha = 13 \rightarrow \underline{\text{massima potenza}}$
- $\alpha = 15 \rightarrow \underline{\text{massimo rendimento}}$

come regoliamo un motore permutato?



La regolazione può essere effettuata variando α o variando il coefficiente di riempimento λ_V , cioè la portata d'aria che entra nel motore.

Regolare la portata di combustibile è molto difficile, perciò è più opportuno regolare il coefficiente di riempimento, mediante uno velvole a farfalla deviato al motore.

VALVOLA APERTA $\rightarrow \text{max } \lambda_V$

VALVOLA CHIUSA \rightarrow aumento delle laminazioni all'espansione \rightarrow peggioramento di λ_V e del lavoro di ricarico del fluido

• $\lambda_V = \text{cost}$ $\rightarrow \begin{cases} \alpha = 13 \text{ max potenza} \\ \alpha = 15 \text{ max rendimento} \end{cases}$

(chiudo velvole)

• $\alpha = \text{cost}$ $\rightarrow \lambda_V$ varia \Rightarrow se diminuisce, diminuisce le fime ma anche il rendimento, poiché aumenta il lavoro di ricarico del fluido

③ INFLUENZA DEL NUMERO DI GIRI SULLE PRESTAZIONI

- $\alpha, \bar{z} = \text{cost}$

Caratteristica meccanica $\rightarrow P_u, C, q_s$ in funzione di n

Osserviamo prima di tutto che:

$$\left. \begin{array}{l} P_u = C_w = C \cdot 2\pi n \\ P_u = p_{me} \cdot V \frac{n}{M} \end{array} \right\} \rightarrow C \propto p_{me}$$

grandezza specifica delle tipologie di motore (es. motori benzina $\rightarrow 8 \div 10$ bar)

Potremo dello studio delle pmi:

$$P_{mi} = \frac{m}{\alpha} \eta_{mi} \frac{\Delta v}{\alpha} \frac{H_i}{n}$$

variano

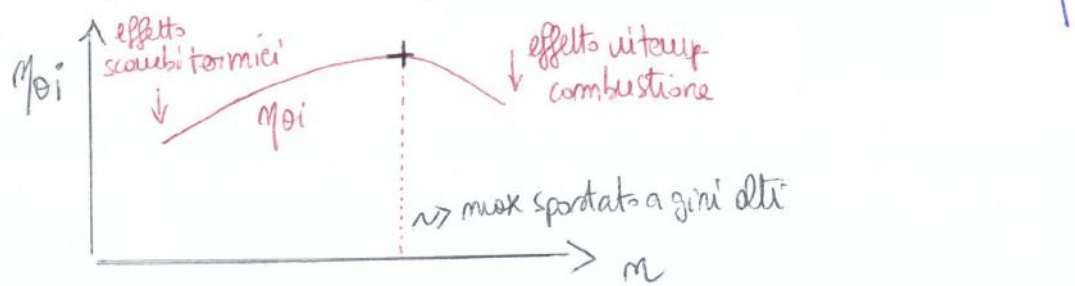
non dipende da n , perché considera macchine nede

Come varia η_{mi} ?

Eso dipende da:

- SCAMBI TERMICI \rightarrow se $m \uparrow$, un ciclo avviene in un tempo minore \Rightarrow scambi termici inferiori $\Rightarrow \eta_{mi} \uparrow$
- FUGHE DI FLUIDO \rightarrow se $m \uparrow$, diminuisce il tempo di permanenza dei gas nel cilindro \Rightarrow meno fughe di fluido $\Rightarrow \eta_{mi} \uparrow$
- INTEMPESTIVITÀ
COMBUSTIONE \rightarrow se $m \uparrow$, poiché $\theta_c = 2\pi n \cdot t_c \Rightarrow \theta_c \uparrow$ \Rightarrow se cresce l'angolo di combustione $\Rightarrow \eta_{mi} \downarrow$

Sommendo i vari effetti:



Analizziamo le p_v :

in prima approssimazione, possiamo trascurare le variazioni delle p_{mi} , poiché ha un andamento sostanzialmente piatto, allora:

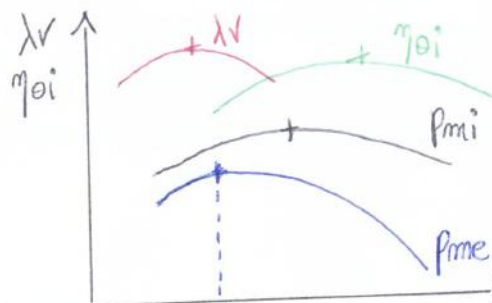
$$p_v = K_1 + K_2 m^2 \cdot m_{alt} + K_3 p_{mi} + K_4 p_{mi} m^2$$

\downarrow \downarrow \downarrow \downarrow
 trasd. harm. attrito f. inerzia attrito f. pressione riceb. fluido

Possiamo allora scrivere che:

$$p_v = K_1 + K_2 \left(\frac{m}{m_0} \right)^2 \rightarrow \text{andamento parabolico}$$

\downarrow \downarrow
 - accelerazione
 - attrito f. pressione - attrito f. inerzia - riceb. fluido



$$p_{me} = p_{mi} - p_v = p_{mi} - K_1 - K_2 \left(\frac{m}{m_0} \right)^2$$

le curve p_{mi} , p_{me} si disegnano al crescere dei giri

osserviamo inoltre che:

$$m_0 = \frac{m_u}{m_i} = \frac{L_u}{L_i} = \frac{p_{me}}{p_{mi}} = 1 - \frac{p_v}{p_{mi}} \approx K_3 - K_4 m^2 \rightarrow m_0 \approx K_3 - K_4 m^2$$

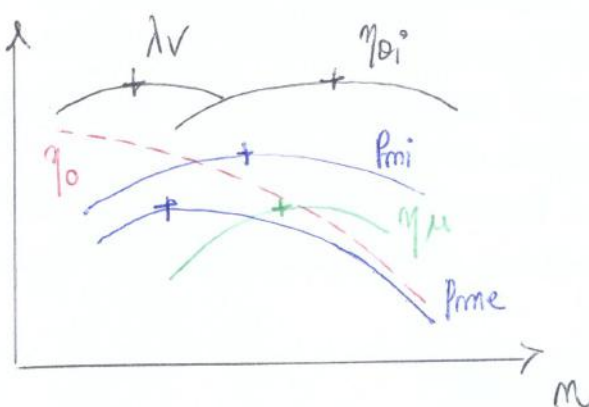
$$\boxed{m_0 \approx K_3 - K_4 m^2}$$

andamento decrescente

$$\boxed{m_u \approx m_0 \cdot \gamma_0 \cdot \gamma_u}$$

→ massimo e giri più alti delle prime, medioli - alti.

Quindi:



- Poiché $C \propto p_{me}$ e le prime ha un massimo per giri medioli - bassi, anche C avrà un massimo per giri medioli - bassi
- Poiché $q_s = \frac{l}{\gamma_u}$ e γ_u ha un massimo per giri medioli - alti, q_s avrà un minimo per tali giri

Tale velocità è limitata ($\sim 15 \text{ m/s}$), poiché è quella che determina le forze di inerzia che tendono a spaccare bielle e manovelle.

$$\Rightarrow u = 2Cm < u_{\max}$$

Supponiamo $u = u_{\max}$, allora: $u \propto cm \rightarrow C \propto \frac{u}{m}$

$$m \propto \frac{u}{C}$$

$$P_u \propto \frac{i}{m^2} \propto i c^2$$

Vedendo aumentare la potenza:

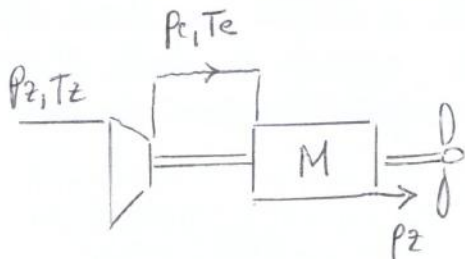
- 1) Aumentiamo il n° di cilindri
- 2) Motori più grandi, che generano più forza

Poiché u è limitata, vedendo aumentare la potenza mediante un aumento di m , dovrai diminuire c , che è proporzionale al cubo, comporta come risultato una perdita di potenza ↴

SOVRALIMENTAZIONE \rightarrow fornire al motore aria e pressione più alta

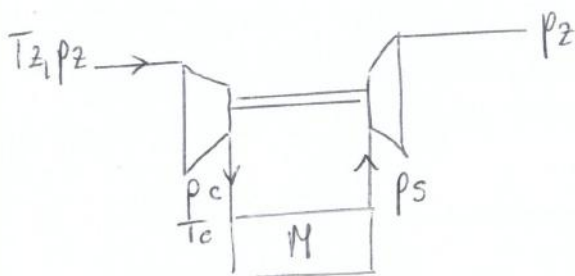
(a quota 0 \rightarrow ristabilimento
 $>$ quota 0 \rightarrow supercharger)

- COMPRESSORE A COMANDO MECCANICO



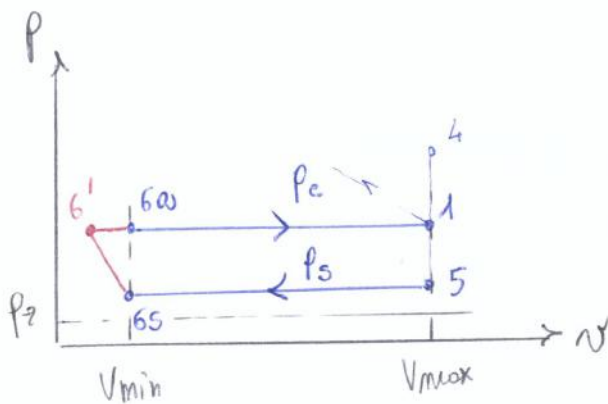
Il compressore è alimentato direttamente dal motore

- TURBINA A GAS DI SCARICO



Il compressore è alimentato da una turbina.

Analizziamo ed esplicitare il termine $\frac{\lambda'v}{\lambda v}$:



Il giri dello spazio morto, riprendendo le velocità di respirazione, sono compresi dell'area che entra nelle pressioni p_c , quindi riprendendo a un punto $6'$:

Allora:

$$\frac{\lambda'v}{\lambda v} = \frac{V_{max} - V_{6'}}{V_{max} - V_{min}}$$

Il punto $6S$ e $6'$ sono legati da una politropica di esponente $m > \gamma$ (≈ 1.6), allora:

$$p_s \cdot V_{min}^m = p_c \cdot V_{6'}^m \rightarrow V_{6'} = V_{min} \left(\frac{p_s}{p_c} \right)^{1/m}$$

Riconosciamo che:

$$\rho = \frac{V_{max}}{V_{min}} \rightarrow V_{max} = \rho V_{min} \Rightarrow V = V_{max} - V_{min} = (\rho - 1) V_{min}$$

Allora:

$$\frac{\lambda'v}{\lambda v} = \frac{V_{max} - V_{6'}}{V_{max} - V_{min}} = \frac{\rho V_{min} - V_{min} \left(\frac{p_s}{p_c} \right)^{1/m}}{(\rho - 1) V_{min}} = \frac{\rho - 1 + 1 - \left(\frac{p_s}{p_c} \right)^{1/m}}{\rho - 1} = 1 + \frac{1}{\rho - 1} \left[1 - \left(\frac{p_s}{p_c} \right)^{1/m} \right]$$

$$\frac{\lambda'v}{\lambda v} = 1 + \frac{1}{\rho - 1} \left[1 - \left(\frac{p_s}{p_c} \right)^{1/m} \right]$$

Analizziamo come viene influenzato le Pv :

Carico di pressione $\leftarrow 0$ lavoro di ricambio fluido \rightarrow perdita negativa

$$Pv = A + \frac{1}{2} B \chi + \underbrace{(p_s - p_c)}_{\substack{\text{L'asse. accensioni} \\ \text{L'otturatore forze} \\ \text{inertie}}} + \underbrace{C}_{\substack{\text{tiene conto dell'accensione} \\ \text{COMPRESSORE}}} \rightarrow \begin{cases} = 0 \text{ TGS} \\ \neq 0 \text{ CM} \end{cases}$$

$\rightarrow P_s = \begin{cases} P_z \text{ CM} \\ P_s > P_z \text{ TGS} \end{cases}$

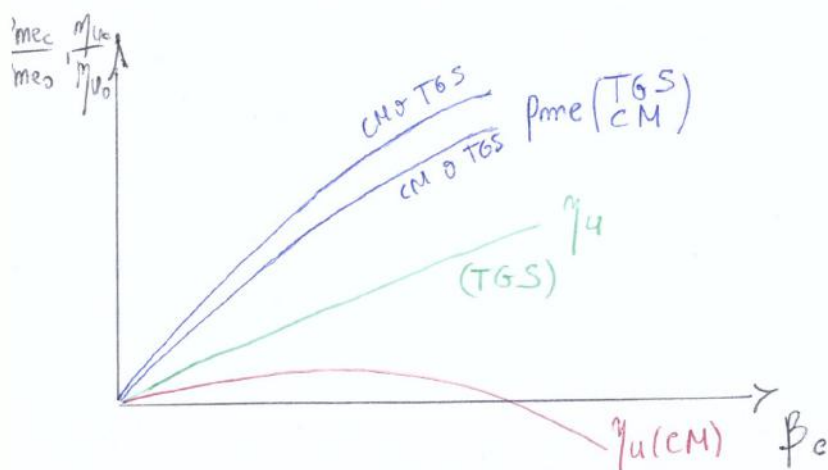
Cos'è un coefficiente di sovraccarico utile?

$$\mu_u = \underbrace{\eta_{lim} \cdot \eta_{oi} \cdot \eta_0}_{\substack{\downarrow \text{non varia a meno} \\ \text{non varia} \\ \text{perché non è} \\ \text{influenzato dalle} \\ \text{cond. delle macchine}}} \cdot \underbrace{\eta_{me}}_{\substack{\text{del lavoro di ricambio del} \\ \text{fluido, che è compresso in } \eta_0}}$$

Allocazione:

$$\frac{\eta_{ue}}{\eta_{u_0}} = \frac{\eta_{oe}}{\eta_{o_0}} = \frac{\frac{\eta_{ue}}{\eta_{u_0}}}{\frac{\eta_{oe}}{\eta_{o_0}}} = \frac{p_{me}/p_{miec}}{p_{me_0}/p_{miec_0}} = \frac{\frac{p_{me}}{p_{me_0}}}{\frac{p_{miec}}{p_{miec_0}}}$$

Diagrammiamo ora le η_{me} e μ_u in funzione del β_e , osservando come variano le prestazioni e secondo di quanto sovraccarico avete



- In prima approssimazione, le η_{me} cresce linearmente con β_e . In realtà ha un andamento che tende ad opporsi poiché nel termine χ è presente un β_e lineare, smorzato da una temperatura sotto radice. Aumentando β_e , aumenta anche T_e ed essendo al denominatore ha un effetto negativo

$$\chi = \frac{p_e}{p_0} \sqrt{\frac{T_0}{T_e}} \cdot \frac{\lambda_v}{\lambda_v}$$

A ciò si riconosce l'effetto dell'aumento virtuale delle almidone, del termine $p_e - p_s$ e del termine C , se è presente. L'aumento virtuale delle almidone è il termine $p_e - p_s$, influisce più nel comando meccanico, poiché $p_s = p_2$, mentre nelle turbine a gas di scorrimento $p_s > p_2$. Il termine C però, influenza negativamente sul comando meccanico

MOTORI DIESEL

- A parità di rapporto di compressione, ha un rendimento superiore rispetto al motore a benzina
- Accensione per compressione \rightarrow più elevati \Rightarrow i rendimenti dei due motori sono molto simili
- La combustione avviene sempre nel campo del puro, poiché il gasolio deve trovare aria gelata in abbondanza
- La regolazione non avviene sul TV, ma avviene varando α . Questo si riduce la potenza slittando il piede dell'acceleratore, il peggioramento di rendimento negli ott. è molto maggiore, perché si lavora sull'aspirazione \rightarrow aumento del lavoro di ricambio del fluido

Nei motori diesel le quantità di aria che entra nel cilindro e la pressione sull'aspirazione rimangono costanti. Diminuendo la potenza, diminuisce solo la quantità di combustibile e il rendimento peggiorerà meno bruscamente (perdite costanti che si contrarre con un effetto utile che, decelerando, diminuisce)

SPINTA METÀ STANDARD

Consideriamo una superficie di controllo FISSA.

Nel caso di MOTORE STAZIONARIO, il teorema delle QDM nelle sue formulazione euleriana ci dice che:

La forza esercitata dalle pareti sul fluido è pari alla QDM uscente dalle superficie di controllo.

Supponiamo che le superficie sia composta da PARETI PERMEABILI e ARETI IMPERMEABILI.



- ① impermeabile
- ② permeabile

Le superficie è caratterizzata da un verso in uscente dalla stessa



sulle pareti permeabili agiscono presenti solo forze legate alla premione, mentre sulle pareti impermeabili agiscono delle pressioni p e degli sforzi i .

Indichiamo con $\vec{\phi}_1'$ le forze esercitate dalle pareti sul fluido e con $\vec{\phi}_2'$ le forze esercitate dal fluido sulle pareti. Si ha che:

$$\vec{\phi}_1' + \vec{\phi}_2' + \vec{\phi}_p \approx dA = QDM_{\text{uscente}} \quad , \quad \text{con} \quad \vec{\phi}_2' = - \int_2 p \underline{m} dA$$

Ricordando che per flussi stazionari e quasi-stazionari monodimensionali la portata può scriversi come:

$$\dot{m} = \rho w A, \text{ si ha che:}$$

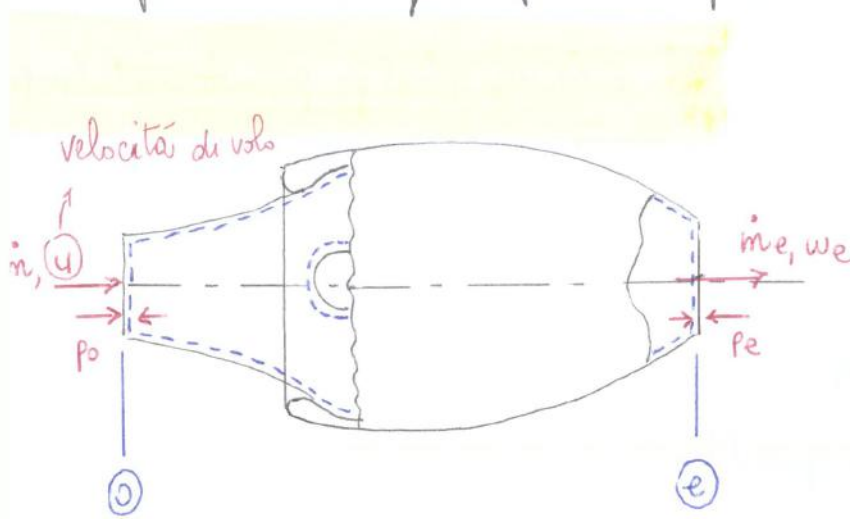
$$\tilde{p} = \frac{\dot{m} w}{A} + p = \rho w^2 + p = p \left(1 + \frac{\rho w^2}{p} \right) = p \left(1 + \frac{\gamma w^2}{\gamma R T} \right) = p \left(1 + \gamma M^2 \right)$$

Perciò:

$$\tilde{p} = p(1 + \gamma M^2)$$

DEFINIZIONE SPINTA NETTA STANDARD

Definiamo ora la spinta netta standard S , una forza facile da valutare che ci permette di quantificare le prestazioni del propulsore.



Sono state scelte le sezioni O ed e perché $(SF)_e$ è dominata dal funzionamento notore e $(SF)_O$ è definita con precisione. La contrarietà $(SF)_i$ è influenzata dal comportamento delle pareti così come $(SF)_o$ è influenzata dalle sezioni, oltre ad essere difficile da misurare.

Scegiamo come superficie di controllo quella costituita dalle sezioni nette O , disturbata e, muore ed e , uscite propulsione ed anche delle superfici laterali comprenderà le pareti del tubo di flusso entrante (tra O e i) e le superfici interne del propulsore, che richiedono le luci attraverso cui fluisce il combustibile $m_b = m_e - m$. Negli esperimenti m_b può essere trascurata, poiché è circa $\frac{1}{40} / \frac{1}{50}$ delle portate d'ingresso.

RESISTENZA ADDIZIONALE

Abbiamo visto che $S = S_{INT} + D_a$

La resistenza addizionale D_a è una quantità sempre positiva, definita dall'espressione:

$$D_a = (SF)_i - (SF)_o = \int_{A_o}^{A_i} (p - p_o) dA_x$$

dA_x è la proiezione, su un piano orizzontale, delle direzioni base dell'ugello: velocità di volo, del generico elemento di superficie del tubo di flusso entrante.

essere dovuta al contributo degli sforzi di pressione sulla parete del tubo di flusso entrante

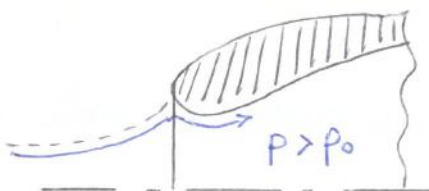
essere dovuta al contributo degli sforzi di pressione sulla parete del tubo di flusso entrante

essere dovuta al contributo degli sforzi di pressione sulla parete del tubo di flusso entrante

essere dovuta al contributo degli sforzi di pressione sulla parete del tubo di flusso entrante

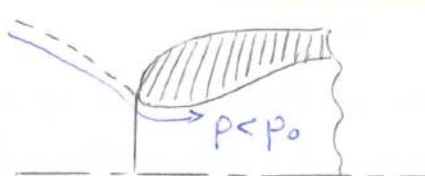
essere dovuta al contributo degli sforzi di pressione sulla parete del tubo di flusso entrante

IN VOLO SUBSONICO



Il flusso rallenta prima di giungere alle prese d'aria
 $\Rightarrow c \downarrow p \uparrow \text{ e } p > p_o \left. \begin{array}{l} \\ dA > 0 \end{array} \right\} \Rightarrow D_a > 0$

DECOLLO



Il flusso viene accelerato e $p < p_o$
 In questo caso, poiché il tubo di flusso fluido è un divergente $dA < 0$
 $\Rightarrow p - p_o < 0 \left. \begin{array}{l} \\ dA < 0 \end{array} \right\} \Rightarrow D_a > 0$

ECUPERO RESISTENZA ADDIZIONALE

La spinta netta standard, non è la rigore la forza ottenuta dal propulsore attraverso le sue superfici fisiche, poiché essa include anche la resistenza addizionale.

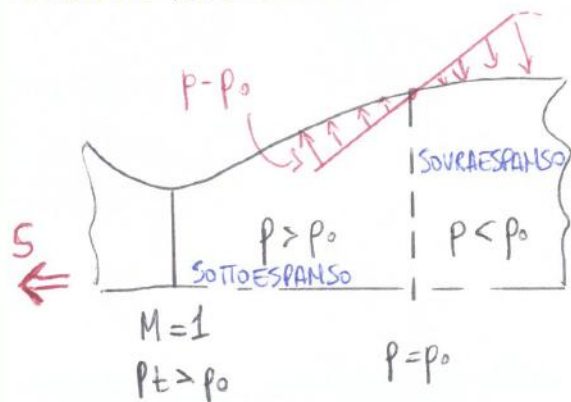
Dimostriamo però che la D_a può essere equivalente alla forza esercitata a parte delle componenti motore.

In fare ciò, studiamo e consideriamo una superficie di controllo differente alle precedenti.

SPINTA MASSIMA SE L'UGELLO È ADATTATO

Nel caso in cui l'ugello sia subcritico, la pressione all'uscita dell'ugello è detta dalla pressione subcritica e l'ugello è di fatto adattato, cioè $p_e = p_0$.

Nel caso in cui l'ugello sia critico, invece, si potrà variare la sezione di uscita del convergente-divergente per variare il livello di pressione all'uscita.



Fissando il valore di $m_e u$, dimostriamo che la spinta stazionale presente sarà massima per la condizione di adattamento.

$$S = m_e u e + A_e (p_e - p_0) - m_e u$$

ANALISI QUALITATIVA

Consideriamo il disegno sopra e supponiamo di avere nel divergente espansione isentropica di un flusso supersonico.

Abbattendo una visione multidimensionale e considerando di avere in ogni sezione pressione uniforme, si può osservare che:

- Tagliando a monte delle sezioni in cui $p = p_0$ si eliminano porzioni di condotto che forniscono un contributo positivo alla spinta
- le porzioni di condotto a valle delle sezioni in cui $p = p_0$ forniscono contributi negativi

Si avrà allora spinta massima quando l'ugello è adattato.

Tenendo conto anche delle forze di attrito, la sezione ottima si trova a monte delle sezioni adattate, tanto più a monte quanto minore è la divergenza dell'ugello.

CLASSIFICAZIONE PROPULSORI

1. ELICA + MOTORE (Propeller Propulsion)

La potenza necessaria all'elice può essere fornita da:

- pedaggio
- motore elettrico (energia solare, celle combustibili)
- motore alternativo
- ibrido (ad es. motore alternativo + motore elettrico)
- turbina a gas

2. ESOREATTORI (Airbreathing engine, Jet engine)

Sono basati su turbine a gas:

- turbogetto (con e senza afterburner)
- turbosiluro (Turboshaft)
- turbosilice (Turboprop)
- propfan (mixed propeller/Jet propulsion)
- turbofan → e flussi separati
↳ By-pass e mixing

Inoltre abbiamo:

- Autoreattore (non fornisce spinta a $M=0$)
 - Combustione subsonica RAM JET
 - Combustione supersonica SCRAM JET
- Pulsoreattore (Pulse Jet)

3. ENDOREATTORI (Rocket Propulsion)

- chimici
- elettrici

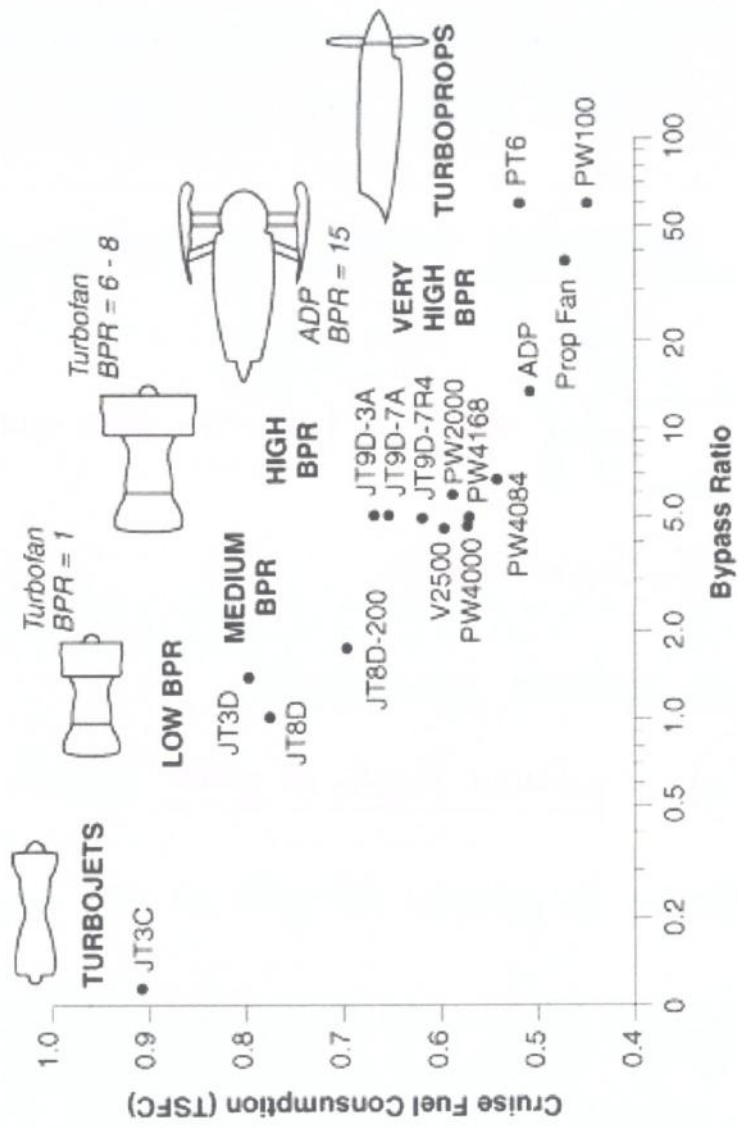
4. COMBINATI

Come ad esempio il turbo-Ramjet, l'Air-Turbo-Rocket, Ram-Rocket...

Fondamenti della Propulsione

Prestazioni

TSFC



Potere :

$$\bullet P_{eq} = P + \frac{S_N \cdot U}{m_E} \quad \text{se } U \neq 0$$

$$\bullet P_{eq} = P + \left(\frac{P}{S_E} \right) \cdot S_N$$

Aumento quindi :

$$L_{eq} = \frac{P_{eq}}{m}$$

POTENZA EQUIVALENTE SPECIFICA

$$\eta_{P_{eq}} = \frac{m_b}{P_{eq}} = \frac{m_b}{m} \cdot \frac{m}{P_{eq}} = \frac{1}{\alpha L_{eq}}$$

CONSUMO SPECIFICO DELLA POTENZA EQUIVALENTE (Equivalent BSFC)

COSTO DELLA SPINTA

Se date due certe portate di combustibile m_f .

Le quantità m_f non rappresenta una potenza, poiché il potere solifico H_f non rappresenta altro che la quantità massima di energia chimica che è possibile ottenere dalla combustione di una massa unitaria di combustibile.

Liberando una potenza, ci aspettiamo di ottenere una potenza.

Se il velivolo è in crociera con velocità di volo U , è effettivamente possibile definire una POTENZA DELLA SPINTA = $S \cdot U$, ma cosa succede nel caso in cui il velivolo sia fermo?

In questa cosa non si ha menome potenza, ma non possiamo dire che il motore sta funzionando male.

Introduciamo allora la POTENZA UINETICA, l'elemento di collegamento che permette di valutare quanto bene sta lavorando il motore, quanto cioè si è in grado di convertire l'energia cinetica del flusso che riceve

Allora:

$$S \approx \dot{m} w_e - \dot{m} u = \dot{m} (w_e - u)$$

$$P_e = \frac{1}{2} \dot{m} w_e^2 - \frac{1}{2} \dot{m} u^2 \approx \frac{1}{2} \dot{m} (w_e^2 - u^2) = \frac{1}{2} \dot{m} (w_e + u)(w_e - u) = \frac{1}{2} S (w_e + u)$$

$$P_e \approx \frac{1}{2} S (w_e + u)$$

Le spinte S è costante, ed è nota, in quanto è quella necessaria a vincere la resistenza D e permettere al velivolo di volare.

Considerando la potenza cinetica come un costo, e perite di S , vogliamo che essa sia più piccola possibile.

Allora:

- succede avere w_e piccole, ma comunque $w_e > u$, poiché altrimenti, dato che $S \approx \dot{m} (w_e - u)$, avremmo spinte negative
- aumentando u , cresce P_e e quindi consumo di più. (e perite di volo livellato)

osserviamo che a rigore P_e non rappresenta il consumo vero e proprio. Per determinarlo dobbiamo introdurre un rendimento termico e uno propulsivo.

RENDIMENTO TERMICO

$$\eta_B = \frac{P_e}{P_b} = \frac{\frac{1}{2} \dot{m} w_e^2 - \frac{1}{2} \dot{m} u^2}{\dot{m}_b H_i} \approx \frac{S (w_e + u)}{2 \dot{m}_b H_i} = \frac{w_e + u}{2 \eta_S H_i}$$

BURNING \Rightarrow

$$\eta_S = \frac{\dot{m}_b}{S}$$

$$\eta_B = \frac{w_e + u}{2 \eta_S H_i}$$

$$\Rightarrow \eta_S = \frac{w_e + u}{2 \eta_B H_i}$$

Se $u = \text{cost}$, per diminuire η_S occorre diminuire w_e . η_B e w_e potrebbero però essere legate entrambe alla T_{max} , come nel turbosetto e ciò potrebbe non far dimin. η_S .

Allora:

$$\begin{aligned}
 P_S + P_D &= \underbrace{\dot{m}_e w_e u - \dot{m}_f u \cdot u + \frac{1}{2} \dot{m}_e (w_e - u)^2}_{S \cdot u} = \\
 &= \cancel{\dot{m}_e w_e u} - \dot{m}_f u \cdot u + \frac{1}{2} \dot{m}_e w_e^2 + \frac{1}{2} \dot{m}_e u^2 - \cancel{\dot{m}_e w_e u} = \\
 &= \underbrace{\frac{1}{2} \dot{m}_e w_e^2 - \frac{1}{2} \dot{m}_f u^2 + \frac{1}{2} \dot{m}_e u^2 - \frac{1}{2} \dot{m}_f u^2}_{P_c} = \\
 &= P_c + \frac{1}{2} \underbrace{(\dot{m}_e - \dot{m}_f)}_{\dot{m}_b} u^2 = P_c + \frac{1}{2} \dot{m}_b u^2 \approx P_c
 \end{aligned}$$

Perciò:

$$P_S + P_D = P_c + \frac{1}{2} \dot{m}_b u^2$$

Quindi:

$$\eta_p = \frac{P_S}{P_S + P_D} = \frac{P_S}{P_c + \frac{1}{2} \dot{m}_b u^2}$$

Gli ruoli mezzo propulsivo non ha limitazioni del punto di vista termo-dinamico e tende a valori prossimi a 1

Vediamo come si modifica nel caso di ESOREATTORI e ENDOREATTORI.

ESOREATTORE PURO $\rightarrow \dot{m}_b = 0 \Rightarrow \eta_p = \frac{P_S}{P_c}$

$$\eta_p = \frac{P_S}{P_c} = \frac{S \cdot u}{\frac{1}{2} S (w_e + u)} = \frac{2u}{w_e + u}$$

ENDOREATTORE PURO $\rightarrow \dot{m}_b = 0 \Rightarrow \dot{m}_e = \dot{m}_f$

$$P_c = \frac{1}{2} \dot{m}_e w_e^2 = \frac{1}{2} \dot{m}_b w_e^2$$

$$S = \dot{m}_e w_e + A_e (p_e - p_0) - \dot{m}_f u = \dot{m}_b w_e$$

ADATTATO

$$\eta_p = \frac{P_S}{P_S + P_D} = \frac{2w_e u}{w_e^2 + u^2}$$

$$P_S + P_D = \dot{m}_e w_e u - \dot{m}_f u \cdot u + \frac{1}{2} \dot{m}_e (w_e - u)^2 = \frac{1}{2} \dot{m}_b w_e^2 + \frac{1}{2} \dot{m}_b u^2$$

RENDIMENTO GLOBALE

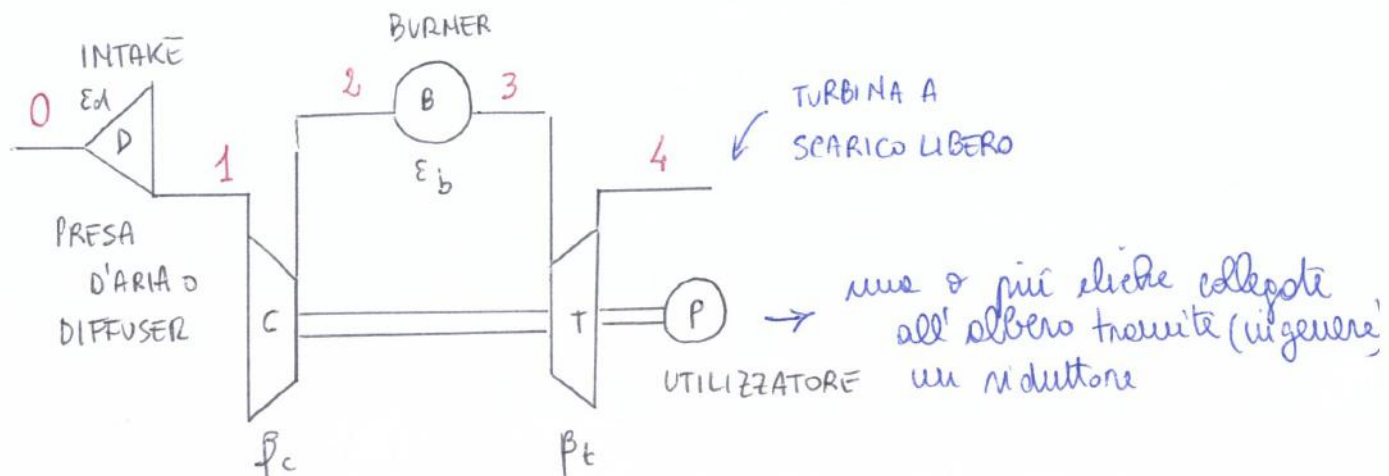
Possiamo infine definire il rendimento globale come:

$$\eta_g = \frac{P_s}{P_f} = \frac{P_s}{\dot{m}_b H_i} = \underbrace{\frac{P_s}{P_e + \frac{1}{2} \dot{m}_b u^2}}_{\eta_p} \cdot \underbrace{\frac{P_e + \frac{1}{2} \dot{m}_b u^2}{\dot{m}_b H_i}}_{\approx \eta_\theta}$$

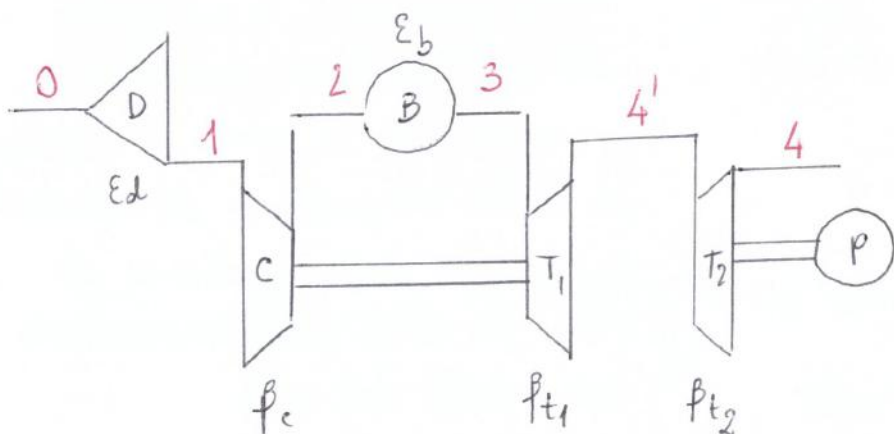
Per gli esercizi, dunque, in cui \dot{m}_b è trascurabile:

$$\eta_g = \eta_p \eta_\theta$$

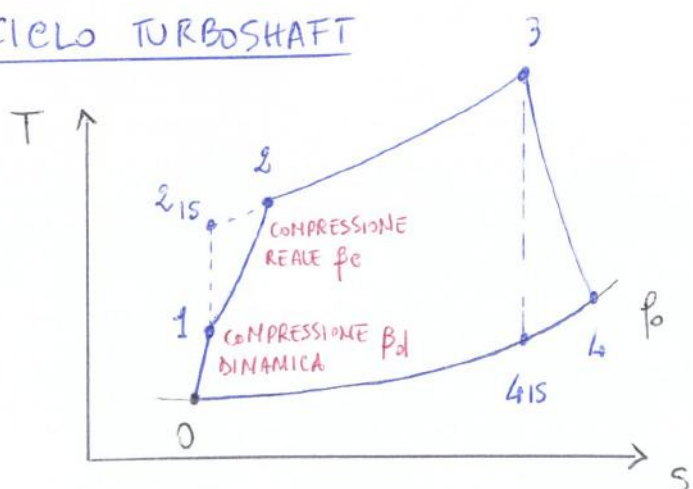
SCHEMA TURBOSHAFT MONOALBERO



SCHEMA TURBOSHAFT BIALBERO CON TURBINA LIBERA DI POTENZA



CICLO TURBOSHAFT



• 0-1 PRESA D'ARIA

• 0-1 PRESA D'ARIA

Ha il compito di fornire lo portato in al compressore, alle velocità desiderate (M_1), con basse perdite e senza eccessive distorsioni di flusso. Trasformazione adiabatica

• 1-2 COMPRESSORE ADIABATICO

caratterizzato da un determinato numero di stadi) riceve potenza dalle turbine. Aumentando le velocità di volo il rapporto di compressione ottimale diminuisce

• 2-3 COMBUSTORE

fornisce calore (a $p=\text{cost}$) all'aria compressa. caratterizzata da valori di doppio rete elevati

• 3-4 TURBINA

Turbina (monoshaft) con reattori: iii attorno una portata

Calcolo delle prestazioni specifiche a progetto: potenza specifica L e consumo specifico q_p .

DATI

1) CONDIZIONI DI VOLO

- quota $z \rightarrow T_0, p_0$
- Mach di volo M_0

Osserviamo che p_0 non è necessaria al calcolo delle prestazioni specifiche ma serve soltanto a dimensionare il motore.

Infatti, una volta determinata la potenza specifica L , sappiamo che $P = L \cdot \dot{m}$, dove P è la potenza che intendiamo sviluppare.

Naturalmente $\dot{m} = \rho_w A$ e, facendo riferimento alle condizioni di volo, $\dot{m} = \rho_0 A_0$.

Pensiamo a una sezione del compressore che può definire le dimensioni del motore, osserviamo che essa dipenderà dalla densità del fluido, che è proporzionale alla pressione ambiente.

A quote elevate, p_0 è bassa, quindi anche ρ_0 , allora, a parità di potenza occorrerà un motore più grande.

2) PARAMETRI DI PROGETTO

- $\frac{p_2}{p_1} = \frac{T_2}{T_1}$, rapporto di compressione
- T_3 , temperatura massima raggiunta all'ingresso in turbina

Sono quelli su cui abbiamo libertà di scelta

3) PROPRIETÀ DEI FLUIDI

- aria (γ, R, c_p)
- aria comburente (γ', R', c_p')

• combustibile (H_i)

(1) \rightarrow (2) COMPRESSIONE ADIABATICA

$$\beta_c = \frac{p_2^{\circ}}{p_1^{\circ}} \rightarrow p_2^{\circ} = \beta_c p_1^{\circ}$$

$$T_{2,1S}^{\circ} = T_1^{\circ} \beta_c^{\frac{\gamma-1}{\gamma}}$$

• Considerando η_{ce} :

$$\left(\frac{p_2^{\circ}}{p_1^{\circ}} \right)^{\frac{1}{\gamma-1} \cdot \frac{1}{\eta_{ce}}} = \frac{T_2^{\circ}}{T_1^{\circ}} = \beta_c^{\frac{1}{\eta_{ce}}} \rightarrow T_2^{\circ} = T_1^{\circ} \beta_c^{\frac{1}{\eta_{ce}} \cdot \frac{1}{\gamma-1}}$$

• Altimenti:

$$\eta_e = \frac{L_{c,1S}}{L_e} = \frac{c_p (T_{2,1S}^{\circ} - T_1^{\circ})}{c_p (T_2^{\circ} - T_1^{\circ})}$$

$$L_{c,1S} = c_p (T_{2,1S}^{\circ} - T_1^{\circ}) = c_p T_1^{\circ} \left(\beta_c^{\frac{1}{\gamma-1}} - 1 \right)$$

$$L_e = \frac{1}{\eta_e} \cdot L_{c,1S} = \frac{1}{\eta_e} c_p T_1^{\circ} \left(\beta_c^{\frac{1}{\gamma-1}} - 1 \right)$$

$$T_2^{\circ} = T_1^{\circ} + \frac{L_e}{c_p} = T_1^{\circ} + \frac{T_1^{\circ}}{\eta_e} \left(\beta_c^{\frac{1}{\gamma-1}} - 1 \right) = T_1^{\circ} \left[1 + \frac{1}{\eta_e} \left(\beta_c^{\frac{1}{\gamma-1}} - 1 \right) \right]$$

$$L_e = c_p (T_2^{\circ} - T_1^{\circ})$$

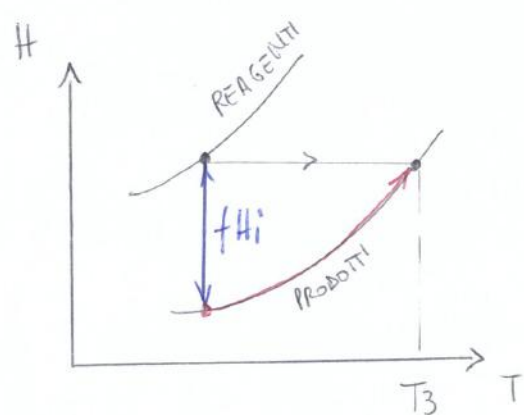
(2) \rightarrow (3) COMBUSTIONE

$T_3^{\circ} \rightarrow$ dato di progetto

$$\varepsilon_b = \frac{p_3^{\circ}}{p_2^{\circ}} \rightarrow p_3^{\circ} = \varepsilon_b p_2^{\circ}$$

Bilancio del combustore

$$\dot{m}_b \dot{m}_g \dot{H}_i = (\dot{m}_b + \dot{m}) c_p (T_3^{\circ} - T_2^{\circ})$$



Allora, la POTENZA SPECIFICA sarà:

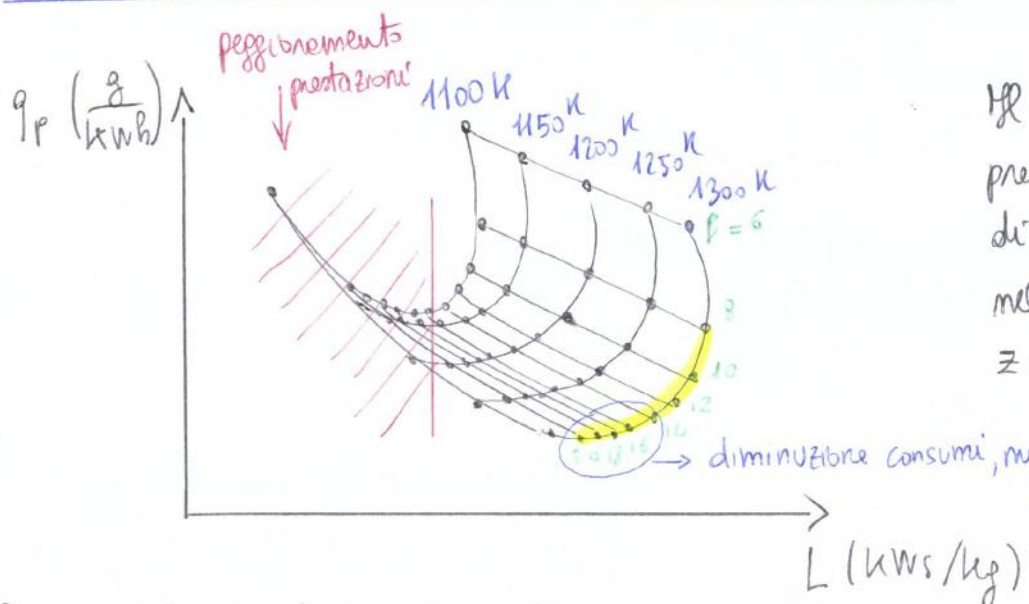
$$P = \eta_{mt} (\dot{m} + \dot{m}_b) Lt - \frac{1}{\eta_{me}} \cdot \dot{m} Lt$$

$$L = \frac{P}{\dot{m}} = \left(\frac{1+\alpha}{\alpha} \right) \eta_{mt} Lt - \frac{L_c}{\eta_{me}}$$

Il CONSUMO SPECIFICO DELLA POTENZA sarà:

$$q_p = \frac{\dot{m}_b}{P} = \frac{\dot{m}_b}{\dot{m}} \frac{\dot{m}}{P} = \frac{1}{\alpha L}$$

INFLUENZA DEI PARAMETRI SULLE PRESTAZIONI



Il grafico mostra le prestazioni a progetto di una turbina a gas nelle condizioni di volo $z=0$ e $M_\infty = 0$.

Il grafico mostra le prestazioni a progetto di una turbina a gas nelle condizioni di volo $z=0$ e $M_\infty = 0$.

Per ogni temperatura T_3 , esiste una curva sulla quale si ha variazione del rapporto di compressione.

Ogni curva caratteristica presenta un valore minimo di q_p e un valore massimo di L . Il punto di progetto sarà scelto all'interno di questi due valori caratteristici. All'esterno di tale intervallo, si ha un peggioramento delle prestazioni, sia perché aumenta q_p , sia perché diminuisce L .

Andiamo ora a vedere brevemente cosa succede al consumo specifico e alle potenze specifiche al variare del rapporto di compressione e del rapporto T_3/T_1 .

Prestazioni a progetto di una turbina a gas che realizza un ciclo semplice (turboalbero, turboshaft)

Si valutino le prestazioni di una turbina a gas in condizione SLS (Sea Level Static)

Condizioni di volo

$z = 0 \text{ m}$, $\rightarrow p_0 = 1.01325 \text{ bar}$; $T_0 = 288 \text{ K}$

$M_0 = 0$

Parametri di progetto

$\beta_c = \text{OPR (Overall Pressure Ratio)} = 10$

$T_3^0 = \text{Max TIT (Inlet Turbine Temperature)} = 1300 \text{ K}$

Turbina a scarico libero ($p_4 = p_e$)

Prestazioni dei componenti

$\varepsilon_d = 1$

$\eta_c = 0.8$; $\eta_{mc} = 0.99$

$\varepsilon_b = 0.96$; $\eta_b = 0.98$

$\eta_t = 0.88$ (total to static) ; $\eta_{mt} = 0.99$

Proprietà fluidi

$\gamma = 1.4$; $R = 287 \text{ J/kg/K}$

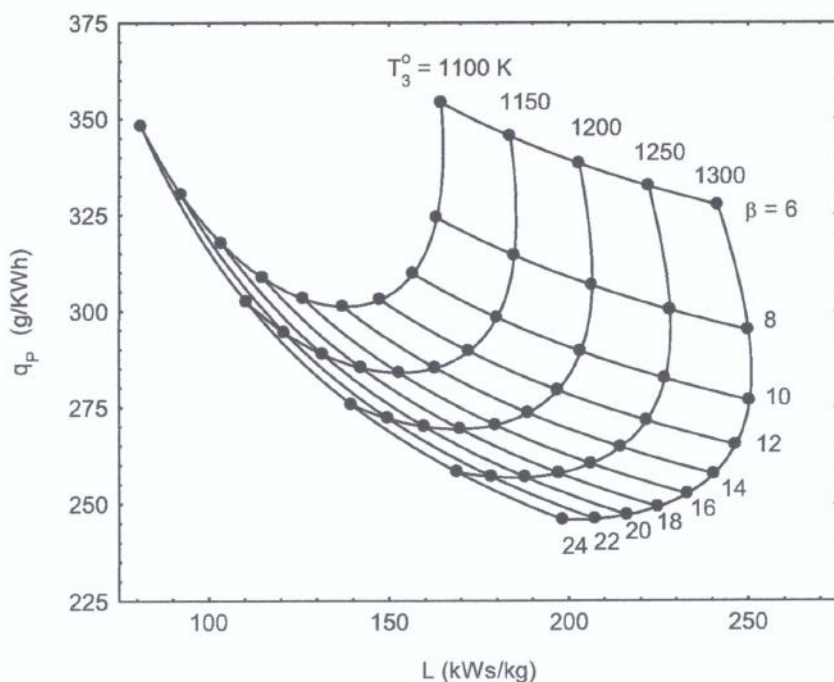
$\gamma' = 4/3$; $R' = 296 \text{ J/kg/K}$

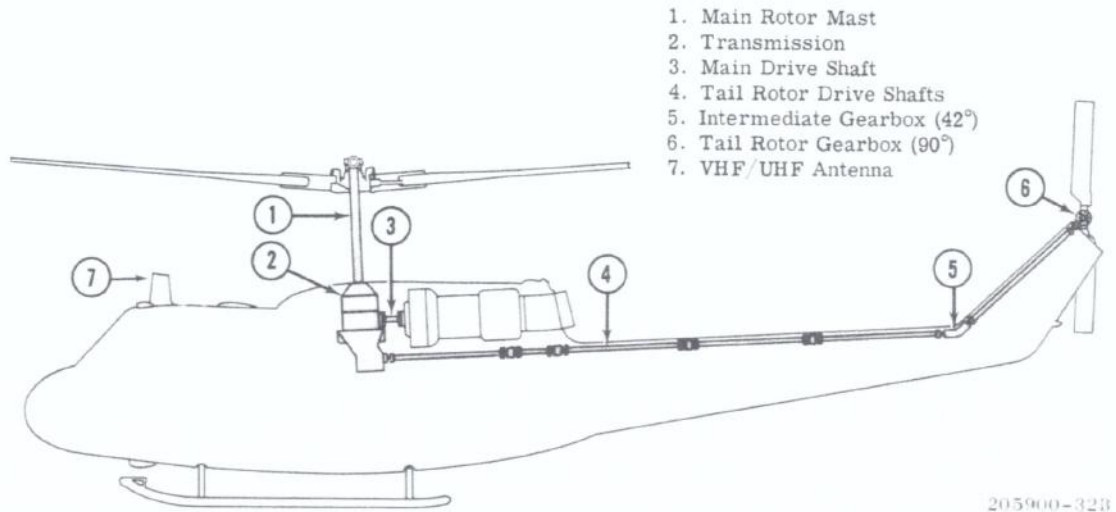
$H_i = 43325 \text{ kJ/kg}$

In particolare si valutino,

1. la potenza specifica L
2. il consumo specifico della potenza q_p
3. il rendimento globale

Prestazioni a progetto di turbina a gas ($z=0 \text{ m}$, $M_0=0$)





Funzioni del sistema di trasmissione (powertrain):

- Riduzione di numero giri (es.: da 6500 rpm di turboalbero a 300-400 rpm di rotore principale e circa 1500 rpm per il rotore di coda)
- Collega asse motore/asse rotore principale (90°) e asse rotore coda.
- Permette avviamento senza il carico del rotore (frizione, non necessaria se turboalbero con turbina libera di potenza).
- Evita che il rotore fornisca potenza al motore nel caso di engine failure (freewheeling clutch). L'utilizzo di turboalbero prevede un allarme di engine failure, poiché la perdita di potenza del motore non è avvertibile acusticamente come con l'uso di motori alternativi e il pilota tenderebbe istintivamente ad aumentare il collettivo.
- Un opportuno sistema di controllo mantiene il numero di giri del rotore al di sotto di Nmax (eccessive forze centrifughe) e al di sopra di Nmin (eccessiva deformazione delle pale – blade coning/upward bending).

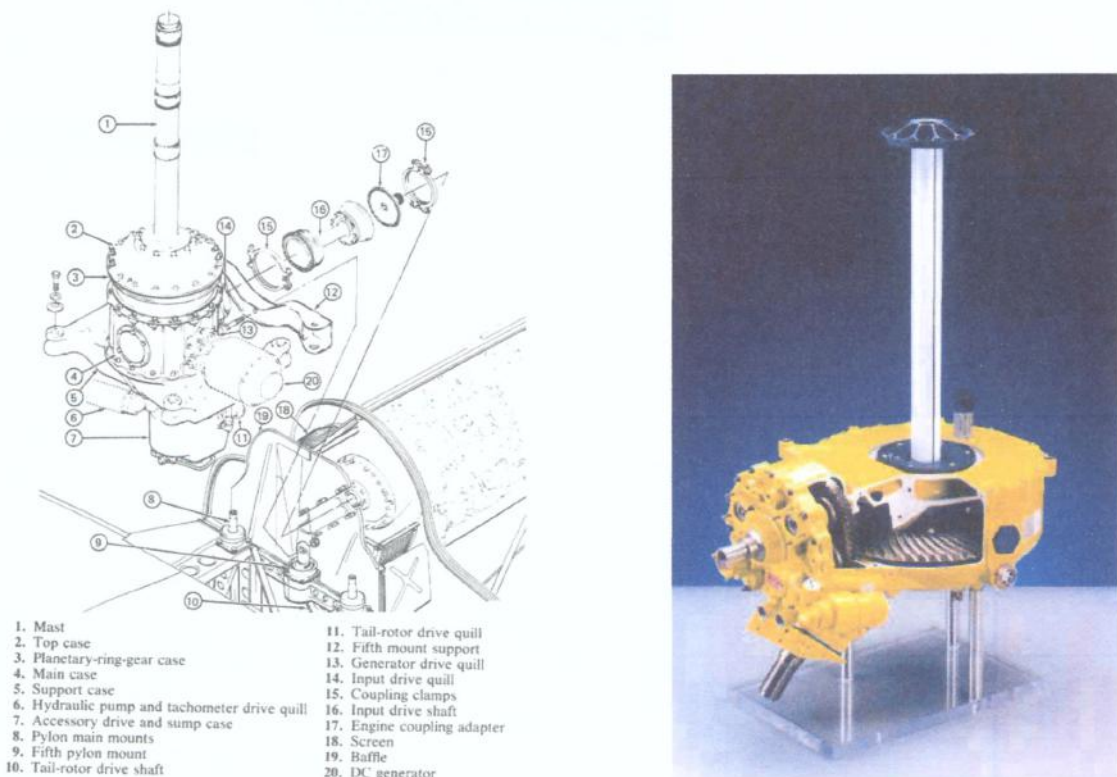


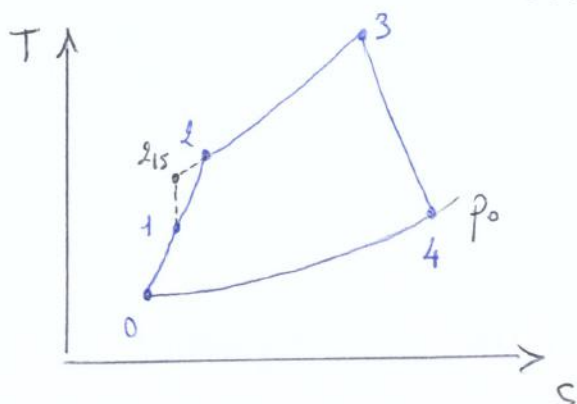
Fig. 2 – A sinistra trasmissione principale e albero di potenza dell'elicottero Bell 204B
a destra, trasmissione dell' MD500 (Huges 369D)

ESERCITAZIONE TURBOSTAFT

Si valutino le prestazioni di una turbina a gas in condizioni SLS (Sea level static)

CONDIZIONI DI VOLO

$$\begin{cases} - z_0 = 0 \rightarrow p_0 = 1.01325 \text{ bar} \\ - T_0 = 288 \text{ K} \\ - M_0 = 0 \end{cases}$$



PARAMETRI DI PROGETTO

- $\beta_e = 10$ (overall pressure ratio OPR)

- $T_3^0 = 1300 \text{ K}$

- Turbine a reaero libero $\rightarrow p_e = p_4$

PRESTAZIONI DEI COMPONENTI

$$\epsilon_d = 1 \quad \eta_{me} = 0.93$$

$$\eta_e = 0.8 \quad \eta_b = 0.98$$

$$\epsilon_b = 0.96 \quad \eta_{mt} = 0.93$$

$$\eta_t = 0.88 \text{ (TES)}$$

PROPRIETÀ DEI FLUIDI

$$\gamma = 1.4 \quad R = 287 \text{ J/kg K}$$

$$\gamma' = 4/3 \quad R' = 296 \text{ J/kg K}$$

$$H_i = 43325 \text{ kJ/kg}$$

Si valutino:

1) POTENZA SPECIFICA L

2) CONSUMO SPECIFICO DELLA POTENZA q_p

3) RENDIMENTO GLOBALE